

Universidade de Brasília - UnB
Instituto de Ciências Exatas
Departamento de Matemática

Representação de Weierstrass para Superfícies Planas no Espaço Hiperbólico

por

ALLAN DE OLIVEIRA MOURA

Brasília, Junho de 2005.

Livros Grátis

<http://www.livrosgratis.com.br>

Milhares de livros grátis para download.

Agradecimentos

Agradeço os meus pais, Juscelino e Madalena, pela motivação em todos os aspectos e estarem comigo em mais uma conquista.

As minhas irmãs, Francerly e Talita, pelo carinho e compreensão durante toda a minha vida. Inclusive em vários momentos de grande aflição minha.

Aos meus avós, em particular a "Vó Neuza", que apesar de não estar mais entre nós, sempre estará na minha memória.

Aos meus tios mais queridos.

À meu orientador, Profº Pedro Roitman pela orientação e principalmente pela paciência durante a realização desse trabalho.

Aos meus amigos Erivelton, Jacson, Jeydson e Pablo.

Aos amigos de Brasília, Marcelo, André, Tiago e Sinagava.

A todos os meus amigos da UnB que acreditaram, confiaram e ainda confiam na minha capacidade acadêmica. Em especial: Abílio, Ney, Willian, André, Aline, Sandra, Raquel, Jhone, Cris, Letícia, Zapata, Daniel, Hélio, Débora, Rafael, Albérico, Daniel Guimarães, Bianka, Fernando, Fausto e Neiton.

Aos meus professores do Departamento de Matemática de Viçosa. Em especial: Marines, Olimpio, Paulo Tadeu e Lana.

Ao professor Walterson, pelas correções e sugestões para a finalização deste trabalho.

Agradeço aos demais professores, funcionários e colegas do Departamento de Matemática da Universidade de Brasília, que de alguma forma contribuíram para a realização desse trabalho. Especialmente, Profº José Alfredo, Profº Xia, Tânia Sertão e Gari.

Finalmente, agradeço ao CNPq/CAPES pelo apoio financeiro.

Resumo

Neste trabalho, estudamos as superfícies planas (isto é, curvatura intrínseca nula) no espaço hiperbólico de dimensão três (\mathbb{H}^3). Baseado no trabalho de Gálvez, Martínez e Milán [7] exibimos uma representação conforme para estas superfícies, usando a estrutura conforme determinada pela segunda forma fundamental. Uma nova demonstração do famoso teorema Volkov-Valdimirova [18] e Sasaki [14] de caracterização de superfícies completas em \mathbb{H}^3 , é obtida a partir desse teorema. Usamos a representação conforme para construir alguns exemplos.

Abstract

In this work, we study flat surfaces (that is, zero intrinsic curvature) in the hyperbolic 3-space (\mathbb{H}^3). Based in the work of Gálvez, Martínez and Milán [7] we show a conformal representation for these surfaces, using the conformal structure determined by the second fundamental form. Using the above result, we give a new proof of the famous theorem due to Volkov-Valdimirova [18] and Sasaki [14] of characterization of complete flat surfaces in \mathbb{H}^3 . We use the conformal representation to construct some examples of flat surfaces.

Sumário

Introdução	1
1 Preliminares	3
1.1 Levantamento de funções	3
1.2 O espaço hiperbólico	6
1.3 Continuação de isometrias	11
2 Superfícies Planas no \mathbb{H}^3	16
2.1 Coordenadas isotérmicas	16
2.2 Equações de Weingarten e segunda forma fundamental	17
2.3 Coordenadas Conformes	23
2.4 Representação em matrizes	30
3 Representação Conforme	34
3.1 Demonstração	34
3.2 Exemplos e Aplicação	50
Referências Bibliográficas	82

Introdução

A representação em termos de dados holomorfos de superfícies mínimas no espaço euclidiano, \mathbb{R}^3 , a famosa representação de Weierstrass [12], é uma importante ferramenta no estudo de superfícies mínimas. Esta relação entre funções holomorfas e superfícies mínimas constitui um dos mais antigos temas da geometria diferencial clássica, sendo ainda um tópico de pesquisa atual.

No entanto, a relação entre funções holomorfas em certas classes de superfícies não se limita ao caso das superfícies mínimas. Por exemplo, Bryant, em 1987 [3], mostrou uma representação em dados holomorfos, análogo a representação de Weierstrass, para superfícies de curvatura média um, CMC-1, em \mathbb{H}^3 . Em 1993, Umehara e Yamada, [17], estudaram superfícies completas CMC-1 em \mathbb{H}^3 , usando a representação obtida por Bryant.

Em nosso trabalho, exibimos uma representação conforme em termos de dados holomorfos para uma outra classe de superfícies no espaço hiperbólico, a saber, superfícies planas (isto é, curvatura intrínseca nula).

Tal representação foi obtida por Gálvez, Martínez e Milán [7], considerando a estrutura conforme induzida em uma superfície plana pela segunda forma fundamental. Em termos desta estrutura conforme, a chamada aplicação de Gauss Hiperbólica (aplicação análoga a aplicação normal de Gauss para superfícies em \mathbb{R}^3) se torna uma aplicação holomorfa, e tal fato (análogo ao caso das superfícies mínimas em \mathbb{R}^3) permite a representação conforme.

O trabalho pioneiro de Gálvez, Martínez e Milán têm despertado um interesse em relação ao estudo de superfícies planas. Como exemplos, podemos citar os trabalhos de Kokubu, Rossman, Saji, Umehara e Yamada [10] e [9], que obtiveram estudos sobre singularidades em superfícies planas.

No capítulo um, introduzimos alguns conceitos sobre levantamento de funções, apresentamos o espaço hiperbólico e comentamos sobre continuação de isometrias.

No capítulo dois, falamos sobre a existência de coordenadas isotérmicas globais e exibimos a segunda forma fundamental em uma coordenada conforme.

No capítulo três, demonstramos o teorema de representação conforme para superfícies planas, obtemos que a aplicação de Gauss Hiperbólica é holomorfa, exemplificamos o teorema e obtemos uma nova demonstração para o teorema, devido a Volkov-Vladimirova [18] e Sasaki [14], de caracterização de superfícies planas completas em \mathbb{H}^3 .

Capítulo 1

Preliminares

Neste capítulo fazemos algumas considerações introdutórias que serão utilizadas neste trabalho. O levantamento de uma função será definido na seção 1.1, o espaço hiperbólico \mathbb{H}^3 será introduzido na seção 1.2, falamos sobre continuação de isometrias na seção 1.3.

1.1 Levantamento de funções

Definição 1.1. *Sejam \tilde{M} e M duas variedades, a aplicação $\pi : \tilde{M} \rightarrow M$ é chamada aplicação de recobrimento se π é um homeomorfismo local e cada $x \in M$ admite uma vizinhança conexa V tal que toda componente conexa de $\pi^{-1}(V)$ é aplicada por π homeomorficamente sobre V .*

Teorema 1.1. *Sejam $\pi : \tilde{M} \rightarrow M$ uma aplicação de recobrimento, S uma variedade simplesmente conexa e $f : S \rightarrow M$ uma aplicação contínua, então existe uma aplicação contínua $\tilde{f} : S \rightarrow \tilde{M}$ com*

$$\pi \circ \tilde{f} = f.$$

Damos uma prova do teorema 1.1 baseada em [8]. Primeiro, vamos provar dois lemas.

Definição 1.2. *Uma \tilde{f} como no teorema acima é chamada levantamento de f .*

Lema 1.1. *Sejam $\pi : \tilde{M} \rightarrow M$ uma aplicação de recobrimento, $\tilde{p}_0 \in \pi^{-1}(p_0)$ e $c : [0, 1] \rightarrow M$ uma curva com $c(0) = p_0$. Então c pode ser levantado para uma curva $\tilde{c} : [0, 1] \rightarrow \tilde{M}$ com $\tilde{c}(0) = \tilde{p}_0$ de modo que*

$$\pi \circ \tilde{c} = c$$

mais ainda, \tilde{c} é unicamente determinada pela escolha do seu ponto inicial \tilde{p}_0 .

Demonstração. Seja $T = \{t \in [0, 1] \text{ tal que } c|_{[0,t]} \text{ pode ser levantado para uma única curva } \tilde{c}|_{[0,t]} \text{ com } \tilde{c}(0) = \tilde{p}_0\}$.

Temos que $0 \in T$, assim T é não vazio.

Se $t \in T$, escolha uma vizinhança V de $c(t)$ de tal modo que π aplica cada componente $\pi^{-1}(V)$ homeomorficamente sobre V . Denotaremos por \tilde{V} a componente de $\pi^{-1}(V)$ contendo $\tilde{c}(t)$. Podemos escolher $\tau > 0$ tão pequeno tal que $c([t, t + \tau]) \subset V$. Então é claro que \tilde{c} pode ser estendido como um levantamento de c para $[t, t + \tau]$, posto que $\pi : \tilde{V} \rightarrow V$ é um homeomorfismo. Isto prova que T é aberto em $[0, 1]$

Suponha agora que $\{t_n\} \subset T$, e $t_n \rightarrow t_0 \in [0, 1]$. Escolhemos uma vizinhança V de $c(t_0)$ como antes, então existe um $n_0 \in \mathbb{N}$ com $c([t_{n_0}, t_0]) \subset V$. Seja \tilde{V} a componente de $\pi^{-1}(V)$ contendo $\tilde{c}(t_{n_0})$. Podemos estender \tilde{c} para $[t_{n_0}, t_0]$, visto que $\pi : \tilde{V} \rightarrow V$ é um homeomorfismo. Assim $t_0 \in T$, de modo que T é também fechado, então $T = [0, 1]$. ■

Lema 1.2. *Sejam $\pi : \tilde{M} \rightarrow M$ uma aplicação de recobrimento e $\Gamma : [0, 1] \times [0, 1] \rightarrow M$ uma homotopia entre os arcos $\gamma_0 = \Gamma(\cdot, 0)$ e $\gamma_1 = \Gamma(\cdot, 1)$ com os pontos iniciais e finais fixos, $p_0 = \gamma_0(0) = \gamma_1(0)$ e $\gamma_0(1) = \gamma_1(1)$. Seja $\tilde{p}_0 \in \pi^{-1}(p_0)$ então Γ pode ser levantada para uma homotopia $\tilde{\Gamma} : [0, 1] \times [0, 1] \rightarrow \tilde{M}$ com pontos iniciais \tilde{p}_0 (isto é, $\tilde{\Gamma}(0, s) = \tilde{p}_0$ para todo $s \in [0, 1]$) e*

$$\pi \circ \tilde{\Gamma} = \Gamma.$$

Em particular, o levantamento dos caminhos $\tilde{\gamma}_0$ e $\tilde{\gamma}_1$ com ponto inicial \tilde{p}_0 tem o mesmo ponto final $\tilde{p}_1 \in \pi^{-1}(p_1)$ e são homotópicos.

Demonstração. Cada caminho $\Gamma(\cdot, s)$ pode ser levantado para um caminho $\tilde{\gamma}_s$ com ponto inicial \tilde{p}_0 pelo Lema 1.1. Considere

$$\tilde{\Gamma}(t, s) = \tilde{\gamma}_s(t).$$

Devemos mostrar que $\tilde{\Gamma}$ é contínua. Seja $\Sigma = \{(t, s) \in [0, 1] \times [0, 1] \text{ tal que } \tilde{\Gamma} \text{ é contínua em } (t, s)\}$. Primeiro pegamos uma vizinhança \tilde{U} de \tilde{p}_0 tal que $\pi : \tilde{U} \rightarrow U$ é um homeomorfismo sobre a vizinhança U de p_0 . Seja $\varphi : U \rightarrow \tilde{U}$ a sua inversa.

Visto que $\Gamma(\{0\} \times [0, 1]) = p_0$ e Γ é contínua, existe um $\epsilon > 0$ tal que

$$\Gamma([0, \epsilon] \times [0, 1]) \subset \tilde{U}$$

pela unicidade afirmada no Lema 1.1, temos

$$\tilde{\gamma}_s|_{[0, \epsilon]} = \varphi \circ \gamma_s|_{[0, \epsilon]}$$

para todo $s \in [0, 1]$. Assim

$$\tilde{\Gamma} = \varphi \circ \Gamma \text{ em } [0, \epsilon] \times [0, 1].$$

Em particular, $(0, 0) \in \Sigma$.

Seja $(t_0, s_0) \in \Sigma$ escolhemos \tilde{U} uma vizinhança de $\tilde{\gamma}(t_0, s_0)$ para o qual $\pi : \tilde{U} \rightarrow U$ é um homomorfismo sobre uma vizinhança U de $\Gamma(t_0, s_0)$. Denotaremos sua inversa novamente por $\varphi : U \rightarrow \tilde{U}$.

Como $\tilde{\Gamma}$ é contínua em (t_0, s_0) , temos

$$\tilde{\Gamma}(t, s) \in \tilde{U} \text{ para } |t - t_0| < \epsilon, |s - s_0| < \epsilon$$

se $\epsilon > 0$ é bastante pequeno. Pela unicidade do levantamento, obtemos

$$\tilde{\gamma}_s(t) = \varphi \circ \gamma_s(t) \text{ para } |t - t_0|, |s - s_0| < \epsilon$$

De modo que

$$\tilde{\Gamma} = \varphi \circ \Gamma \text{ em } \{|t - t_0| < \epsilon\} \times \{|s - s_0| < \epsilon\},$$

em particular $\tilde{\Gamma}$ é contínua em uma vizinhança de (t_0, s_0) . Então Σ é aberto.

A prova que Σ é fechado é semelhante. Seguindo que $\Sigma = [0, 1] \times [0, 1]$, isto é $\tilde{\Gamma}$ é contínua.

Como $\Gamma(\{1\} \times [0, 1]) = p_1$ e $\pi \circ \tilde{\Gamma} = \Gamma$, devemos ter $\tilde{\Gamma}(\{1\} \times [0, 1]) \subset \pi^{-1}(p_1)$, mas π^{-1} é discreto visto que π é uma aplicação de recobrimento e $\tilde{\Gamma}(\{1\} \times [0, 1])$ é conexa. Assim $\tilde{\Gamma}(\{1\} \times [0, 1])$ deve reduzir a um simples ponto. Então todas as curvas $\tilde{\gamma}_s$ tem o mesmo ponto final. ■

Demonstração do teorema 1.1. Pegamos um $y_0 \in S$ tal que $p_0 = f(y_0)$ e escolhemos um $\tilde{p}_0 \in \pi^{-1}(p_0)$.

Para qualquer $y \in S$, podemos encontrar uma caminho $\gamma : [0, 1] \rightarrow S$ com $\gamma(0) = y_0$ e $\gamma(1) = y$. Pelo Lema 1.1, o caminho $c = f \circ \gamma$ pode ser levantado para uma caminho \tilde{c} começando em \tilde{p}_0 .

Considere $\tilde{f}(y) = \tilde{c}(1)$. Como S é simplesmente conexa, quaisquer dois caminhos γ_1 e γ_2 em S com $\gamma_1(0) = \gamma_2(0) = y_0$ e $\gamma_1(1) = \gamma_2(1) = y$ são homotópicos. Assim, $f(\gamma_1)$ e $f(\gamma_2)$ são também homotópicos, visto que f é contínua. Então, a partir do Lema 1.2,

o ponto $\tilde{f}(y)$ obtido acima é independente da escolha do caminho γ ligando y_0 a y_1 . A continuidade de \tilde{f} pode ser provada exatamente como na prova do Lema 1.2. ■

1.2 O espaço hiperbólico

Nesta seção vamos dar algumas características do espaço hiperbólico. Dizemos como são as isometrias deste espaço e introduzimos dois modelos, o modelo do hiperbolóide e o modelo do semi-espaço. E ainda exibimos uma fórmula para conectar os dois modelos a fim de podermos obter posteriormente uma visualização das superfícies neste espaço.

Seja \mathbb{L}^4 o espaço de Minkowski de dimensão quatro dotado com coordenadas lineares (x_0, x_1, x_2, x_3) e o produto escalar $\langle \cdot, \cdot \rangle$ dado pela forma quadrática $-x_0^2 + x_1^2 + x_2^2 + x_3^2$. O espaço hiperbólico 3-dimensional, \mathbb{H}^3 , é a variedade Riemanniana completa simplesmente conexa de dimensão 3 com curvatura seccional -1 , que modelamos com o hiperbolóide

$$\mathbb{H}^3 = \{(x_0, x_1, x_2, x_3) \in \mathbb{L}^4 / -x_0^2 + x_1^2 + x_2^2 + x_3^2 = -1, x_0 > 0\},$$

com a métrica induzida de \mathbb{L}^4 .

Denote por \mathbb{N}^3 o cone nulo positivo, isto é

$$\mathbb{N}^3 = \{(x_0, x_1, x_2, x_3) \in \mathbb{L}^4 / -x_0^2 + x_1^2 + x_2^2 + x_3^2 = 0, x_0 > 0\}.$$

A relação de equivalência em \mathbb{N}^3 que identifica os pontos $v \in \mathbb{N}^3$ que estão na mesma semi-reta $[v]$, permite identificar a fronteira ideal \mathbb{S}_∞^2 de \mathbb{H}^3 com o quociente de \mathbb{N}^3 pela relação de equivalência.

Com a identificação acima, podemos definir uma estrutura conforme em \mathbb{S}_∞^2 da seguinte maneira.

Sejam α e γ duas curvas em \mathbb{S}_∞^2 tais que $\alpha, \gamma : (-\epsilon, \epsilon) \rightarrow \mathbb{S}_\infty^2$ com $\alpha(0) = \gamma(0) = p$. Considere $\tilde{\alpha}$ e $\tilde{\gamma}$ os levantamentos em \mathbb{N}^3 , das curvas α e γ , respectivamente, passando por $\tilde{q} \in \mathbb{N}^3$, isto é $[\tilde{\alpha}(t)] = \alpha(t)$ e $[\tilde{\gamma}(t)] = \gamma(t)$. Defina o ângulo, θ , formado pelas curvas α e γ no ponto p por:

$$\cos(\theta) = \frac{\langle \tilde{\alpha}'(0), \tilde{\gamma}'(0) \rangle}{|\tilde{\alpha}'(0)| |\tilde{\gamma}'(0)|}.$$

Para mostrar que este ângulo está bem definido, considere outros levantamentos $\hat{\alpha}$ e $\hat{\gamma}$ de α e γ , respectivamente, que passam por $\hat{q} \in \mathbb{N}^3$. Então,

$$\hat{\alpha}(t) = \tilde{\lambda}_1(t) \tilde{\alpha}(t),$$

$$\hat{\gamma}(t) = \tilde{\lambda}_2(t)\tilde{\gamma}(t).$$

Derivando as equações acima em relação a t , obtemos

$$\begin{aligned}\hat{\alpha}'(t) &= \tilde{\lambda}'_1\tilde{\alpha}(t) + \tilde{\lambda}_1(t)\tilde{\alpha}'(t), \\ \hat{\gamma}'(t) &= \tilde{\lambda}'_2\tilde{\gamma}(t) + \tilde{\lambda}_2(t)\tilde{\gamma}'(t).\end{aligned}\tag{1.1}$$

Como, $\tilde{\alpha}(t), \tilde{\gamma}(t) \in \mathbb{N}^3 \forall t \in (-\epsilon, \epsilon)$, temos

$$\langle \tilde{\alpha}(t), \tilde{\alpha}(t) \rangle = \langle \tilde{\gamma}(t), \tilde{\gamma}(t) \rangle = 0, \forall t \in (-\epsilon, \epsilon),$$

derivando esta equação em relação a t , obtemos

$$\langle \tilde{\alpha}(t), \tilde{\alpha}'(t) \rangle = \langle \tilde{\gamma}(t), \tilde{\gamma}'(t) \rangle = 0, \forall t \in (-\epsilon, \epsilon),$$

em particular em $t = 0$,

$$\langle \tilde{\alpha}(0), \tilde{\alpha}(0) \rangle = \langle \tilde{\gamma}(0), \tilde{\gamma}(0) \rangle = \langle \tilde{q}, \tilde{q} \rangle = 0$$

e

$$\langle \tilde{\alpha}(0), \tilde{\alpha}'(0) \rangle = \langle \tilde{\gamma}(0), \tilde{\gamma}'(0) \rangle = 0.$$

Assim, usando as equações (1.1), temos

$$\begin{aligned}\langle \hat{\alpha}'(0), \hat{\gamma}'(0) \rangle &= \left\langle \tilde{\lambda}'_1\tilde{\alpha}(0) + \tilde{\lambda}_1(0)\tilde{\alpha}'(0), \tilde{\lambda}'_2\tilde{\gamma}(0) + \tilde{\lambda}_2(0)\tilde{\gamma}'(0) \right\rangle \\ &= \left\langle \tilde{\lambda}'_1(0)\tilde{q} + \tilde{\lambda}_1(0)\tilde{\alpha}'(0), \tilde{\lambda}'_2\tilde{q} + \tilde{\lambda}_2(0)\tilde{\gamma}'(0) \right\rangle \\ &= \tilde{\lambda}'_1(0)\tilde{\lambda}_2(0) \langle \tilde{q}, \tilde{q} \rangle + \tilde{\lambda}_1(0)\tilde{\lambda}'_2(0) \langle \tilde{\alpha}'(0), \tilde{q} \rangle + \tilde{\lambda}'_1(0)\tilde{\lambda}_2(0) \langle \tilde{q}, \tilde{\gamma}'(0) \rangle \\ &\quad + \tilde{\lambda}_1(0)\tilde{\lambda}_2(0) \langle \tilde{\alpha}'(0), \tilde{\gamma}'(0) \rangle \\ &= \tilde{\lambda}_1(0)\tilde{\lambda}_2(0) \langle \tilde{\alpha}'(0), \tilde{\gamma}'(0) \rangle,\end{aligned}$$

de forma análoga,

$$\langle \hat{\alpha}'(0), \hat{\alpha}'(0) \rangle = \left\langle \tilde{\lambda}'_1(0)\tilde{q} + \tilde{\lambda}_1(0)\tilde{\alpha}'(0), \tilde{\lambda}'_1\tilde{q} + \tilde{\lambda}_1(0)\tilde{\alpha}'(0) \right\rangle = \tilde{\lambda}_1(0)^2 \langle \tilde{\alpha}'(0), \tilde{\alpha}'(0) \rangle,$$

e ainda,

$$\langle \hat{\gamma}'(0), \hat{\gamma}'(0) \rangle = \left\langle \tilde{\lambda}'_2(0)\tilde{q} + \tilde{\lambda}_2(0)\tilde{\gamma}'(0), \tilde{\lambda}'_2\tilde{q} + \tilde{\lambda}_2(0)\tilde{\gamma}'(0) \right\rangle = \tilde{\lambda}_2(0)^2 \langle \tilde{\gamma}'(0), \tilde{\gamma}'(0) \rangle.$$

Com isso, e usando a o que definimos, o ângulo θ fica determinado por,

$$\frac{\langle \hat{\alpha}'(0), \hat{\gamma}'(0) \rangle}{|\hat{\alpha}'(0)| |\hat{\gamma}'(0)|} = \frac{\tilde{\lambda}_1(0)\tilde{\lambda}_2(0) \langle \tilde{\alpha}'(0), \tilde{\gamma}'(0) \rangle}{\tilde{\lambda}_1(0)\tilde{\lambda}_2(0) |\tilde{\alpha}'(0)| |\tilde{\gamma}'(0)|} = \cos(\theta)$$

não dependendo dos levantamentos que pegamos.

Consideraremos o espaço \mathbb{L}^4 identificado como o espaço das matrizes hermitianas 2×2 , $Herm(2)$, pela identificação $(x_0, x_1, x_2, x_3) \in \mathbb{L}^4$ com a matriz

$$\begin{pmatrix} x_0 + x_3 & x_1 + ix_2 \\ x_1 - ix_2 & x_0 - x_3 \end{pmatrix}$$

Sob esta identificação, claramente temos

$$\langle m, m \rangle = -\det(m), \quad \forall m \in Herm(2).$$

A diferencial de uma matriz é definida como a matriz cujas entradas são a diferencial de cada entrada da matriz, isto é se

$$m = \begin{pmatrix} \alpha & \beta \\ \delta & \lambda \end{pmatrix}$$

sua diferencial é

$$dm = \begin{pmatrix} d\alpha & d\beta \\ d\delta & d\lambda \end{pmatrix}.$$

O grupo de Lie complexo, $SL(2, \mathbb{C})$, das matrizes complexas 2×2 com determinante 1, age naturalmente em \mathbb{L}^4 pela representação

$$g.m = gm g^*,$$

onde $g \in SL(2, \mathbb{C})$, $g^* = \bar{g}^t$ e $m \in Herm(2)$, onde g^t indica a transposta de g .

Observamos que, $SL(2, \mathbb{C})$ preserva o produto escalar e como $SL(2, \mathbb{C})$ é conexo, deve também preservar orientação. O núcleo desta ação é $\{\pm I_2\}$, de fato, queremos encontrar as matrizes $g \in SL(2, \mathbb{C})$ tal que vale a relação,

$$g.m = m \quad \forall m \in Herm(2).$$

Então suponha

$$g = \begin{pmatrix} A & B \\ C & D \end{pmatrix}$$

e considere particularmente esta relação para a matriz

$$m_1 = \begin{pmatrix} 1 & 0 \\ 0 & 0 \end{pmatrix}$$

assim,

$$\begin{pmatrix} 1 & 0 \\ 0 & 0 \end{pmatrix} = \begin{pmatrix} A & B \\ C & D \end{pmatrix} \begin{pmatrix} 1 & 0 \\ 0 & 0 \end{pmatrix} \begin{pmatrix} \bar{A} & \bar{C} \\ \bar{B} & \bar{D} \end{pmatrix}$$

logo,

$$\begin{pmatrix} 1 & 0 \\ 0 & 0 \end{pmatrix} = \begin{pmatrix} A & 0 \\ C & 0 \end{pmatrix} \begin{pmatrix} \bar{A} & \bar{C} \\ \bar{B} & \bar{D} \end{pmatrix} = \begin{pmatrix} |A|^2 & A\bar{C} \\ \bar{A}C & |C|^2 \end{pmatrix}$$

portanto, $|A|^2 = 1$ e $C = 0$.

Considerando agora na relação a matriz

$$m_2 = \begin{pmatrix} 0 & 0 \\ 0 & 1 \end{pmatrix}$$

assim,

$$\begin{pmatrix} 0 & 0 \\ 0 & 1 \end{pmatrix} = \begin{pmatrix} A & B \\ C & D \end{pmatrix} \begin{pmatrix} 0 & 0 \\ 0 & 1 \end{pmatrix} \begin{pmatrix} \bar{A} & \bar{C} \\ \bar{B} & \bar{D} \end{pmatrix}$$

logo,

$$\begin{pmatrix} 0 & 0 \\ 0 & 1 \end{pmatrix} = \begin{pmatrix} 0 & B \\ 0 & D \end{pmatrix} \begin{pmatrix} \bar{A} & \bar{C} \\ \bar{B} & \bar{D} \end{pmatrix} = \begin{pmatrix} |B|^2 & \bar{D}B \\ \bar{B}D & |D|^2 \end{pmatrix}$$

portanto,

$$|D|^2 = 1 \quad \text{e} \quad B = 0.$$

Se ainda considerarmos na relação a matriz

$$m_3 = \begin{pmatrix} 0 & 1 \\ 1 & 0 \end{pmatrix}$$

assim,

$$\begin{pmatrix} 0 & 1 \\ 1 & 0 \end{pmatrix} = \begin{pmatrix} A & B \\ C & D \end{pmatrix} \begin{pmatrix} 0 & 1 \\ 1 & 0 \end{pmatrix} \begin{pmatrix} \bar{A} & \bar{C} \\ \bar{B} & \bar{D} \end{pmatrix}$$

logo,

$$\begin{pmatrix} 0 & 1 \\ 1 & 0 \end{pmatrix} = \begin{pmatrix} B & A \\ D & C \end{pmatrix} \begin{pmatrix} \bar{A} & \bar{C} \\ \bar{B} & \bar{D} \end{pmatrix} = \begin{pmatrix} \bar{A}B + \bar{B}A & \bar{C}B + A\bar{D} \\ \bar{A}D + C\bar{B} & \bar{C}D + C\bar{D} \end{pmatrix}$$

portanto, usando que $C = 0$ e $B = 0$ obtido com as matrizes m_1 e m_2 , obtemos

$$A\bar{D} = 1.$$

Juntando os resultados obtidos com as matrizes m_1, m_2 e m_3 e observando que $g \in SL(2, \mathbb{C})$ e assim $AD = \det(g) = 1$, temos

$$1 = ADA\bar{D} = A^2$$

$$\bar{D} = \bar{A}A\bar{D} = \bar{A}$$

logo, $A = \pm 1$ e $D = A$. Portanto, o núcleo desta ação é $\{\pm I_2\}$.

Assim, $PSL(2, \mathbb{C}) = SL(2, \mathbb{C}) / \{\pm I_2\}$ pode ser considerado a componente da identidade do grupo especial de Lorentz $SO(1, 3)$. Esta ação, passando o quociente por $\{\pm I_2\}$, pode ser restrita ao \mathbb{H}^3 e representa o grupo de isometrias do \mathbb{H}^3 .

Para cada $(x_0, x_1, x_2, x_3) \in \mathbb{H}^3$ obtemos a equação

$$x_1^2 + x_2^2 + 1 = x_0^2 - x_3^2 = (x_0 - x_3)(x_0 + x_3)$$

e como \mathbb{H}^3 é simplesmente conexo, $(x_0 - x_3)$ e $(x_0 + x_3)$ tem o mesmo sinal para todo $(x_0, x_1, x_2, x_3) \in \mathbb{H}^3$. Observando que, para $x_3 = 0$ temos $x_0 + x_3$ e $x_0 - x_3$ positivos concluímos que a matriz

$$\begin{pmatrix} x_0 + x_3 & x_1 + ix_2 \\ x_1 - ix_2 & x_0 - x_3 \end{pmatrix} \quad (1.2)$$

é definida positiva, pois é uma matriz hermitiana com os determinantes menores positivos. Assim, podemos reconhecer \mathbb{H}^3 como o espaço das matrizes 2×2 hermitianas unimodulares positiva definidas.

Como os autovalores da matriz representada da forma (1.2) pertencentes a \mathbb{N}^3 são não negativos, 0 e $2x_0$, a matriz é definida semi-positiva e este espaço pode ser visto como o espaço das matrizes 2×2 hermitianas definida semi-positiva com determinante 0. Tais matrizes podem sempre ser escritas da forma $a\bar{a}^t$, onde $a^t = (a_1, a_2)$ é um vetor não nulo em \mathbb{C}^2 unicamente definido a menos de multiplicação por um número complexo unimodular.

A aplicação $a\bar{a}^t \rightarrow [a_1, a_2] \in \mathbb{C}P^1$ representa a aplicação $\mathbb{N}^3 \rightarrow \mathbb{S}_\infty^2$ e identifica \mathbb{S}_∞^2 com $\mathbb{C}P^1$. Deste modo, a ação natural de $SL(2, \mathbb{C})$ em \mathbb{S}_∞^2 torna-se simplesmente a ação de $SL(2, \mathbb{C})$ em $\mathbb{C}P^1$ por uma transformação de Möbius.

O modelo do semi-espaço superior para \mathbb{H}^3 é $\mathbb{R}_+^3 = \{(y_1, y_2, y_3) \in \mathbb{R}^3, y_3 > 0\}$ dotado da métrica

$$d\tau^2 = \frac{1}{y_3^2}(dy_1^2 + dy_2^2 + dy_3^2).$$

Vamos deduzir uma fórmula conectando o modelo do hiperbolóide e o modelo do semi-espaço.

Primeiro passamos do modelo do hiperbolóide para uma bola usando a projeção linear no plano $\{x_0 = 0\}$ a partir do ponto $(-1, 0, 0, 0)$:

$$(x_0, x_1, x_2, x_3) \rightarrow \left(0, \frac{x_1}{x_0 + 1}, \frac{x_2}{x_0 + 1}, \frac{x_3}{x_0 + 1}\right) = (0, X_1, X_2, X_3) = (X_1, X_2, X_3).$$

Para passar desta bola para o semi-espaço superior usamos a inversão da bola de raio $\sqrt{2}$, contida no plano $\{x_0 = 0\}$, e centrada em $(0, 0, 0, -1) = (0, 0, -1)$:

$$p \rightarrow \frac{2[p - (0, 0, -1)]}{\|p - (0, 0, -1)\|^2} + (0, 0, -1)$$

o qual aplica a bola sobre o semi-espaço.

Usando a equação $-x_0^2 + x_1^2 + x_2^2 + x_3^2 = -1$, obtemos

$$\begin{aligned} \|p - (0, 0, -1)\|^2 &= \|(X_1, X_2, X_3) - (0, 0, -1)\|^2 = X_1^2 + X_2^2 + (X_3 + 1)^2 \\ &= \frac{x_1^2 + x_2^2 + (x_3 + x_0 + 1)^2}{(x_0 + 1)^2} = \frac{x_1^2 + x_2^2 + x_3^2}{(x_0 + 1)^2} + \frac{2x_3}{x_0 + 1} + 1 \\ &= \frac{x_0^2 - 1}{(x_0 + 1)^2} + \frac{2x_3}{x_0 + 1} + 1 = \frac{2(x_0 + x_3)}{x_0 + 1}, \end{aligned}$$

e finalmente conseguimos a fórmula esperada

$$(y_1, y_2, y_3) = \frac{1}{x_0 + x_3}(x_1, x_2, 1).$$

Observe que esta fórmula inverte a orientação, pois a inversão inverte a orientação.

1.3 Continuação de isometrias

Sejam N e \tilde{N} duas variedades de mesma curvatura seccional constante K_0 . Sejam $\{X_1, \dots, X_n\}$ uma base ortonormal de $T_p N$ e $\{\tilde{X}_1, \dots, \tilde{X}_n\}$ uma base ortonormal de $T_{\tilde{p}} \tilde{N}$. Considere $c : [0, 1] \rightarrow N$ uma curva com $c(0) = p$. Pelo teorema de Cartan, ver [5] p. 157, existe uma isometria f de uma vizinhança U_0 de p para , com $df_p(X_i) = \tilde{X}_i$.

Definição 1.3. *Sejam $U_0 \subset N$ uma vizinhança de p , $\tilde{U}_0 \subset \tilde{N}$ uma vizinhança de \tilde{p} tal que $f : U_0 \rightarrow \tilde{U}_0$ seja uma isometria e $c : [0, 1] \rightarrow N$ uma curva. Uma continuação de f ao longo de c é uma família $\{f_t\}$ de isometrias $f_t : U_t \rightarrow \tilde{N}$, onde U_t é uma vizinhança de $c(t)$, com $f_0 = f$ satisfazendo a seguinte condição: para cada t existe $\delta > 0$ de tal modo que*

$$|t - t'| < \delta \Rightarrow f_t = f_{t'} \text{ em } U_t \cap U_{t'}.$$

Observação 1.1. *Se N é conexa, então existe no máximo uma isometria $\phi : N \rightarrow \tilde{N}$ com $d_p(\phi)(X_i) = \tilde{X}_i$ para um $p \in N$. De fato, suponha que existem $\phi_1, \phi_2 : N \rightarrow \tilde{N}$ com*

$d_p(\phi_j)(X_i) = \tilde{X}_i$. Seja $A = \{q \in N \text{ tal que } \phi_1(q) = \phi_2(q) \text{ e } d_q\phi_1(v) = d_q\phi_2(v)\}$, como $p \in A$, A é não vazio. Se uma seqüência de pontos está em A o seu limite também está. Assim, A é fechado. Sejam $q \in A$ e $v \in T_qN$ com $|v| = 1$, então existe $\epsilon = \epsilon(v)$ e uma geodésica $c : (-\epsilon, \epsilon) \rightarrow N$ tal que $c(0) = q$ e $c'(0) = v$, e ainda $\phi_1(q) = \phi_2(q)$ e $d_q\phi_1(v) = d_q\phi_2(v)$. Obtendo que as imagens da geodésica c pelas isometrias são ainda a mesma geodésica em \tilde{N} e como o conjunto dos vetores v é compacto temos que ϵ não tende a zero, existindo um ϵ_m mínimo. Assim a bola de centro q e raio ϵ_m e uma vizinhança de q que ainda está no conjunto A . Portanto A é aberto. Como N é conexo temos que $A = N$ e as isometrias são iguais.

Proposição 1.1. *Sejam $U_0 \subset \tilde{N}$ uma vizinhança de p_0 e $\tilde{U}_0 \subset N$ uma vizinhança de q_0 tal que $f : U_0 \rightarrow \tilde{U}_0$ seja uma isometria. Se \tilde{N} é completa então existe uma continuação para a isometria f ao longo de uma curva $c : [0, 1] \rightarrow N$ com $c(0) = p_0$.*

Demonstração. Para cada $t \in [0, 1]$, $c(t)$ admite uma vizinhança máxima $B_{\epsilon_t}(c(t))$, isto é com ϵ_t máximo, e uma aplicação $f_t : B_{\epsilon_t}(c(t)) \rightarrow \tilde{N}$ tal que f_t é uma isometria sobre sua imagem, com $f_t(c(t)) = q_t$ e $df_t(X_i) = \tilde{X}_i$, onde $\{X_i\}$ é uma base para o $T_{c(t)}N$ dos vetores tangentes em $c(t)$ e $\{\tilde{X}_i\}$ é uma base para o $T_{q_t}\tilde{N}$ dos vetores tangentes a q_t . Afirmamos que ϵ_t não pode ser arbitrariamente pequeno, pois caso contrário teríamos uma seqüência $\{t_n\} \subset [0, 1]$ com $\epsilon_{t_n} \rightarrow 0$. Como $[0, 1]$ é compacto teríamos \tilde{t} admitindo um $\epsilon_{\tilde{t}}$ e como \tilde{N} é completa $M = \{q, d(q, q_0) \leq l(c)\}$, onde $l(c)$ indica o comprimento da curva c , é compacta devido ao teorema de Hopf-Rinow, ver [5], e assim $\{q_t\}$ admitiria um ponto de acumulação q . Considere a isometria $f_{\tilde{t}} : B_{\epsilon_{\tilde{t}}}(c(\tilde{t})) \rightarrow \tilde{B}(q)$, onde $\tilde{B}(q)$ é uma vizinhança de q contida em \tilde{N} , satisfazendo $df_{\tilde{t}}(X_i) = \tilde{X}_i$ com $\{X_i\}$ é uma base para o $T_{c(\tilde{t})}N$ dos vetores tangentes em $c(\tilde{t})$ e $\{\tilde{X}_i\}$ é uma base para o $T_q\tilde{N}$ dos vetores tangentes a q .

Para n suficientemente grande temos $d(c(\tilde{t}), c(t_n)) < \frac{\epsilon_{\tilde{t}}}{2}$, daí podemos extrair que

$$B_{\frac{\epsilon_{\tilde{t}}}{2}}(c(t_n)) \subset B_{\epsilon_{\tilde{t}}}(c(\tilde{t})).$$

Assim, a aplicação $f_{\tilde{t}}|_{B_{\frac{\epsilon_{\tilde{t}}}{2}}(c(t_n))}$ é uma isometria sobre sua imagem. Observando que ϵ_{t_n}

é máxima com respeito às isometrias temos $\epsilon_{t_n} > \frac{\epsilon_{\tilde{t}}}{2}$ contradizendo que $\epsilon_{t_n} \rightarrow 0$. Logo, existe um raio ϵ mínimo que serve para todo $t_n \in [0, 1]$.

Para $t = 0$ a aplicação $f : B_\epsilon(c(0)) \rightarrow \tilde{N}$ que é uma isometria sobre sua imagem com $f(c(0)) = f(p_0) = q_0$ e $df_{p_0}(X_i) = \tilde{X}_i$.

Para $t_1 \in (0, \epsilon)$, pelo teorema de Cartan, ver [5] pag. 157, existe uma aplicação $f_{t_1} : B_\epsilon(c(t_1)) \rightarrow \tilde{N}$ que é uma isometria sobre sua imagem com $f_{t_1}(c(t_1)) = f_{t_1}(p_1) = q_1$ e $df_{p_1}(X_i) = df_{t_1 p_1}(X_i)$, assim pela observação 1.1 e como $B = B_\epsilon(c(0)) \cap B_\epsilon(c(t_1))$ é conexa, $f = f_{t_1}$ em B obtendo um outro elemento da família de isometrias da continuação de f .

Repetindo o mesmo argumento para $t_{n+1} \in (t_n, t_n + \epsilon)$ vamos construir uma continuação para a isometria f , pois $[0, 1]$ é limitado e ϵ é um número positivo fixo. ■

A unicidade de uma continuação será baseada em uma adaptação do teorema da Monodromia, ver [1].

Proposição 1.2. *Sejam $U \subset N$ uma vizinhança de p e $\tilde{U} \subset \tilde{N}$ uma vizinhança de q tal que $f : U \rightarrow \tilde{U}$ seja uma isometria. Se N é simplesmente conexa então a continuação de f é única.*

Demonstração. Vamos mostrar que para dois caminhos $c, \gamma : [0, 1] \rightarrow M$ com $c(0) = \gamma(0) = p$ e $c(1) = \gamma(1) = q$ as respectivas continuações $\{f_t\}$ e $\{g_t\}$ de f ao longo de c e γ devem satisfazer $f_1(q) = g_1(q)$, isto é, a continuação independe do caminho.

Para começar notamos que a continuação ao longo de um caminho da forma c^-c sempre volta para a mesma isometria inicial, onde c^- indica o caminho reverso. Similarmente a continuação ao longo de um caminho da forma $\sigma_2(c^-c)\sigma_1$ tem o mesmo efeito que a continuação ao longo de $\sigma_2\sigma_1$. Por esta razão, dizer que as continuações ao longo de c e γ tem o mesmo resultado final é equivalente a dizer que a continuação ao longo de $c\gamma^-$ volta para a isometria inicial.

Como N é simplesmente conexa os caminhos c e γ são homotópicos. Seja h a homotopia definida em um retângulo $R = [0, 1] \times [0, 1]$ com perímetro indicado por Γ . Queremos provar que a continuação ao longo do perímetro Γ volta para a isometria inicial.

A prova é baseada no método da bissecção. Começamos bissectando R horizontalmente, denote por π_1 o perímetro da parte inferior R_1 , descrito a partir do canto inferior a esquerda de R e na direção a qual coincide com a direção de Γ ao longo do lado comum. Com a parte superior, R_2 , associamos a curva π_2 que começa na origem de R vai verticalmente até o canto inferior esquerdo de R_2 , descreve o perímetro de R_2 no qual coincide com Γ ao longo do lado comum e retorna verticalmente para a origem de R .

Reconhecemos que a curva $\pi_2\pi_1$ difere de Γ somente por um arco intermediário da forma $\sigma^- \sigma$. Por esta razão o efeito da continuação ao longo de $\pi_2\pi_1$ é o mesmo se

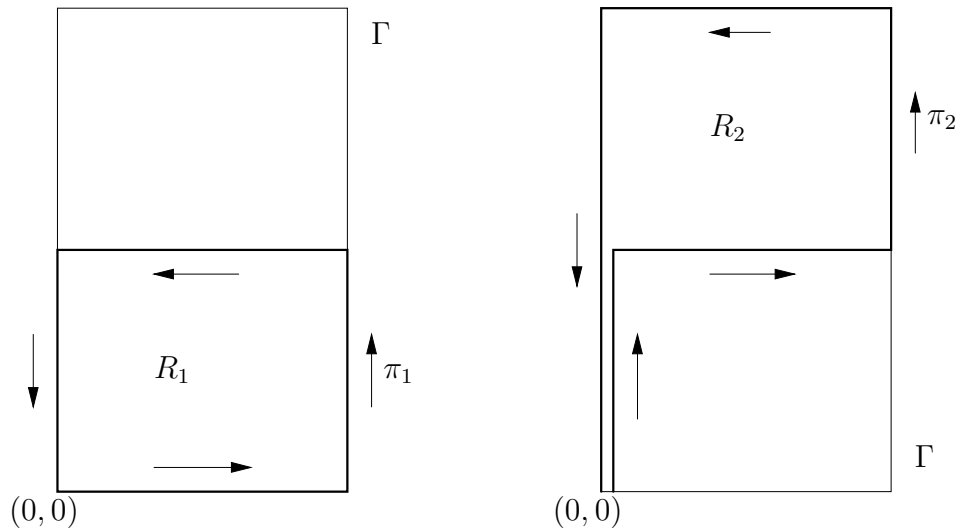


Figura 1.1: Continuação

continuarmos ao longo de Γ . Conseqüentemente, se π_1 e π_2 ambos voltam para a isometria inicial, o mesmo acontece com Γ .

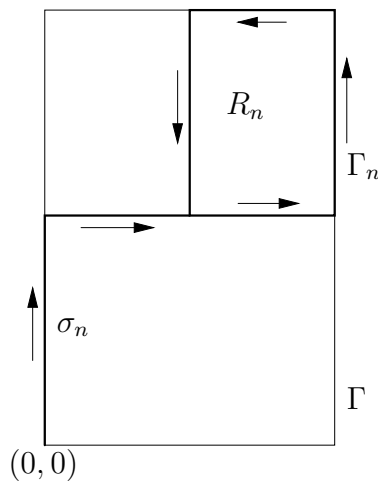


Figura 1.2: σ_n

Agora fazemos a suposição oposta, que Γ não volta para a isometria inicial. Então ou π_1 ou π_2 tem a mesma propriedade. O correspondente retângulo é bissectado verticalmente, e o mesmo raciocínio é aplicado. Onde o processo é aplicado, sempre alternando a bissecção entre horizontal e vertical, obtendo uma seqüência de retângulos $R \supset R^{(1)} \supset R^{(2)} \supset \dots \supset R^{(n)} \supset \dots$ e suas correspondentes curvas fechadas $\pi^{(n)}$ tal que a continuação ao longo de $\pi^{(n)}$ não volta para a isometria inicial. Cada $\pi^{(n)}$ é da forma $\sigma_n^- \Gamma_n \sigma_n$ onde σ_n é um arco bem determinado começando da origem de R conduzido ao canto inferior esquerdo de

$R^{(n)}$ e Γ_n denota o perímetro de $R^{(n)}$, σ_n é um subarco de σ_{n+1} .

Fazendo $n \rightarrow \infty$ o retângulo $R^{(n)}$ converge para um ponto P_∞ , e o polígono σ_n forma, no limite um arco σ_∞ terminando em P_∞ . Existe uma continuação da isometria inicial ao longo de σ_∞ , ela determina uma isometria final dada por $f_\infty : U_\infty \rightarrow \tilde{N}$ sobre a imagem ξ_∞ de P_∞ através da aplicação h . Para n suficientemente grande a imagem de Γ_n estará contida em U_∞ , e a isometria obtida no ponto final de σ_n será usada para construir uma continuação ao longo de $\pi^{(n)}$ o qual deixa a isometria inicial, f_∞ , fixa. Isto contradiz a propriedade pelo qual $\pi^{(n)}$ foi escolhida e provamos que a continuação ao longo de Γ tem sua isometria inicial fixa. ■

Capítulo 2

Superfícies Planas no \mathbb{H}^3

Neste capítulo mostramos alguns lemas que formam uma base de conhecimentos para demonstrar o teorema de representação conforme para superfícies planas no espaço hiperbólico. Em cada seção temos um único lema, na seção 2.1 falamos sobre a existência de uma parametrização em coordenadas isotérmicas, na seção 2.2 calculamos as equações de Weingarten e a segunda forma fundamental usando a coordenada isotérmica obtida na seção 2.1, na seção 2.3 fazemos uma mudança de coordenadas a fim de obter uma parametrização conforme com relação à estrutura conforme definida pela segunda forma fundamental. Finalmente na seção 2.4 obtemos uma caracterização da imersão plana e de seu vetor normal em termos de matrizes hermitianas.

2.1 Coordenadas isotérmicas

Denotaremos por M uma superfície simplesmente conexa e $\Psi : M \rightarrow \mathbb{H}^3$ uma imersão com métrica induzida plana $ds^2 = \langle d\Psi, d\Psi \rangle$ ($\langle \cdot, \cdot \rangle$ denota a métrica em \mathbb{L}^4).

Este lema consiste em introduzir uma coordenada isotérmica para M .

Lema 2.1. *Dada M simplesmente conexa com métrica ds^2 e curvatura zero existe uma imersão em coordenadas isotérmicas $x + iy : M \rightarrow \mathbb{C}$ tal que*

$$ds^2 = dx^2 + dy^2.$$

Demonstração. Sejam $p \in M$ e $\{v, w\}$ uma base ortogonal para o T_pM . Observando que M e \mathbb{R}^2 tem a mesma curvatura, curvatura nula, usando o teorema de Cartan, existe uma vizinhança $U \subset M$ de p tal que $f : U \rightarrow \mathbb{C}$ é uma isometria local com $df_p(v) = e_1$ e

$df_p(w) = e_2$. Seja q um outro ponto qualquer de M , que é simplesmente conexa, portanto existe um caminho $c : [0, 1] \rightarrow M$ ligando o ponto $p = c(0)$ ao ponto $q = c(1)$. Devido as proposições 1.1 e 1.2 existe uma única continuação de f tal que $df_q(v) = e_1$ e $df_q(w) = e_2$. Como o ponto q é arbitrário temos que f pode ser estendida para toda a superfície M . Assim $f = x + iy : M \rightarrow \mathbb{C}$ é uma imersão em coordenadas isotérmicas. ■

2.2 Equações de Weingarten e segunda forma fundamental

No lema seguinte exibimos as equações de Weingarten e a segunda forma fundamental, nas coordenada x e y dadas pelo Lema 2.1, para a imersão.

ObservaçãO 2.1. *Seja p um ponto de M . O vetor posição $\Psi(p)$ é ortogonal ao plano tangente de \mathbb{H}^3 no ponto $\Psi(p)$. De fato, seja $\alpha : (-\epsilon, \epsilon) \rightarrow M$ uma curva em \mathbb{H}^3 tal que $\alpha(0) = \Psi(p)$ e $\alpha'(0) = v$ com $v \in T_{\Psi(p)}\mathbb{H}^3$. Como $\alpha(t) \in \mathbb{H}^3$, $\forall t \in (-\epsilon, \epsilon)$, temos $\langle \alpha(t), \alpha(t) \rangle = -1, \forall t \in (-\epsilon, \epsilon)$. Derivando esta equação, obtemos $\langle \alpha'(t), \alpha(t) \rangle = 0, \forall t \in (-\epsilon, \epsilon)$, em particular para $t = 0$, temos $\langle \alpha'(0), \alpha(0) \rangle = 0$ e pelos dados iniciais da curva, obtemos $\langle v, \Psi(p) \rangle = 0$.*

Daqui em diante faremos um abuso de notação e vamos escrever Ψ para designar $\Psi(p)$ onde, $p \in M$.

Lema 2.2. *Seja η um campo de vetores unitário e normal à imersão então,*

$$\begin{aligned} \Psi_{xx} &= E\eta + \Psi, \\ \Psi_{xy} &= F\eta, \\ \Psi_{yy} &= G\eta + \Psi, \\ \eta_x &= -E\Psi_x - F\Psi_y, \\ \eta_y &= -F\Psi_x - G\Psi_y, \end{aligned} \tag{2.1}$$

onde E, F e G são funções suaves definidas em M e $(\cdot)_x, (\cdot)_y$ denotam as derivadas parciais com respeito a x e y , respectivamente. Além disso, existe uma função ϕ definida em M tal que $E = \phi_{xx}, F = \phi_{xy}, G = \phi_{yy}$ e a segunda forma fundamental da imersão é dada por

$$d\sigma^2 = \phi_{xx}dx^2 + 2\phi_{xy}dxdy + \phi_{yy}dy^2 \tag{2.2}$$

com

$$\phi_{xx}\phi_{yy} - \phi_{xy}^2 = 1. \tag{2.3}$$

Demonstração. Primeiro, como $\Psi \in \mathbb{H}^3$ obtemos $\langle \Psi, \Psi \rangle = -1$, derivando esta equação em relação a x e y obtemos, respectivamente,

$$\langle \Psi_x, \Psi \rangle = 0,$$

$$\langle \Psi_y, \Psi \rangle = 0.$$

Dado $p \in M$ sejam v e $w \in T_p M$, como a aplicação Ψ é uma imersão, temos

$$\langle v, w \rangle_{ds^2} = \langle d\Psi(v), d\Psi(w) \rangle_{\mathbb{H}^3}.$$

Sejam $\{e_1, e_2\}$ a base canônica do plano complexo. Devido ao Lema 2.1, obtemos

$$0 = \langle e_1, e_2 \rangle_{ds^2} = \langle \Psi_x, \Psi_y \rangle_{\mathbb{H}^3}.$$

Seja p um ponto de M então Ψ_x e Ψ_y formam uma base para o $T_{\Psi(p)}\Psi(M) \cong T_p M$, e ainda como η é ortogonal a Ψ_x e Ψ_y formamos uma base para o $T_{\Psi(p)}\mathbb{H}^3 \cong T_p\mathbb{H}^3$ com os vetores Ψ_x, Ψ_y e η . Observe que estamos considerando os vetores Ψ_x, Ψ_y e η como vetores do \mathbb{L}^4 .

Como Ψ_x, Ψ_y e η formam uma base para o $T_p\mathbb{H}^3$ e ainda pela observação (2.1) temos que: Ψ_x, Ψ_y, η e Ψ formam uma base para o \mathbb{L}^4 em p .

Vamos escrever os vetores $\Psi_{xx}, \Psi_{yy}, \Psi_{xy}, \eta_x$ e η_y nesta base. No cálculo dos coeficientes de $\Psi_{xx}, \Psi_{yy}, \Psi_{xy}, \eta_x$ e η_y usaremos de forma natural que Ψ_x, Ψ_y, Ψ e η é uma base ortogonal tal que os vetores Ψ_x, Ψ_y e η são unitários e $\langle \Psi, \Psi \rangle = -1$.

Supondo

$$\Psi_{xx} = a\Psi_x + b\Psi_y + c\Psi + E\eta,$$

e tomando o produto interno com Ψ_x , temos

$$\langle \Psi_{xx}, \Psi_x \rangle = a \langle \Psi_x, \Psi_x \rangle + b \langle \Psi_y, \Psi_x \rangle + c \langle \Psi, \Psi_x \rangle + E \langle \eta, \Psi_x \rangle,$$

donde,

$$\frac{1}{2} \langle \Psi_x, \Psi_x \rangle_x = a,$$

daí,

$$\frac{1}{2}(1)_x = a,$$

assim, $a = 0$.

Tomando o produto interno de Ψ_{xx} com Ψ_y , temos

$$\langle \Psi_{xx}, \Psi_y \rangle = b \langle \Psi_y, \Psi_y \rangle,$$

donde,

$$- \langle \Psi_x, \Psi_{yx} \rangle = b,$$

daí,

$$- \langle \Psi_x, \Psi_{xy} \rangle = b,$$

logo,

$$-\frac{1}{2} \langle \Psi_x, \Psi_x \rangle_y = b$$

assim, $b = 0$.

Tomando o produto interno de Ψ_{xx} com Ψ , temos

$$\langle \Psi_{xx}, \Psi \rangle = c \langle \Psi, \Psi \rangle,$$

donde,

$$- \langle \Psi_x, \Psi_x \rangle = -c,$$

daí,

$$-1 = -c,$$

assim, $c = 1$.

Tomando o produto interno de Ψ_{xx} com η , temos

$$\langle \Psi_{xx}, \eta \rangle = E \langle \eta, \eta \rangle = E.$$

Portanto, $\Psi_{xx} = E\eta + \Psi$, onde E é uma função suave.

As equações para Ψ_{xy} e Ψ_{yy} são obtidas de forma análoga.

Escrevendo agora η_x na base $\{\Psi_x, \Psi_y, \Psi, \eta\}$

$$\eta_x = a\Psi_x + b\Psi_y + c\Psi + d\eta.$$

e tomando o produto interno com Ψ_x , temos

$$\langle \eta_x, \Psi_x \rangle = a \langle \Psi_x, \Psi_x \rangle = a.$$

Observe que $\langle \Psi_x, \eta \rangle = 0$. Derivando esta igualdade em relação a x , temos

$$\langle \Psi_{xx}, \eta \rangle + \langle \Psi_x, \eta_x \rangle = 0,$$

utilizando o fato, $E = \langle \Psi_{xx}, \eta \rangle$, obtemos

$$E = -\langle \Psi_x, \eta_x \rangle = -a,$$

daí, $a = -E$.

Tomando o produto interno de η_x com Ψ_y , temos

$$\langle \eta_x, \Psi_y \rangle = b \langle \Psi_y, \Psi_y \rangle = b.$$

Observe que $\langle \Psi_y, \eta \rangle = 0$. Derivando esta igualdade em relação a x , obtemos

$$\langle \Psi_{yx}, \eta \rangle + \langle \Psi_y, \eta_x \rangle = 0,$$

utilizando o fato, $F = \langle \Psi_{yx}, \eta \rangle$, temos

$$F + b = 0,$$

daí, $b = -F$.

Tomando o produto interno de η_x com Ψ , obtemos

$$\langle \eta_x, \Psi \rangle = c \langle \Psi, \Psi \rangle = -c$$

Pela observação (2.1), temos que $\langle \eta, \Psi \rangle = 0$. Derivando esta equação com relação a x , temos

$$\langle \eta_x, \Psi \rangle + \langle \eta, \Psi_x \rangle = 0,$$

como $\langle \eta, \Psi_x \rangle = 0$, obtemos

$$\langle \eta_x, \Psi \rangle = 0,$$

assim, $c = 0$.

Como $\langle \eta, \eta \rangle = 1$, temos

$$0 = \langle \eta_x, \eta \rangle = d \langle \eta, \eta \rangle = d$$

Portanto $\eta_x = -E\Psi_x - F\Psi_y$.

A equação para η_y é obtida de forma análoga.

Com isto mostramos que as equações (2.1) são válidas.

Usando a diferenciabilidade de Ψ , temos

$$(\Psi_{xx})_y - (\Psi_{xy})_x = 0,$$

$$(\Psi_{yy})_x - (\Psi_{xy})_y = 0.$$

Utilizando as equações (2.1), obtemos

$$(E\eta + \Psi)_y - (F\eta)_x = 0,$$

$$(G\eta + \Psi)_x - (F\eta)_y = 0.$$

Derivando, temos

$$E_y\eta + E\eta_y + \Psi_y - F_x\eta - F\eta_x = 0, \quad (2.4)$$

$$G_x\eta + G\eta_x + \Psi_x - F_y\eta - F\eta_y = 0. \quad (2.5)$$

Logo da equação (2.4), obtemos

$$\langle (E_y - F_x)\eta + E\eta_y + \Psi_y - F\eta_x, \eta \rangle = 0,$$

daí,

$$E_y - F_x = 0,$$

assim,

$$E_y = F_x. \quad (2.6)$$

E da equação (2.5), temos

$$\langle (G_x - F_y)\eta + G\eta_x + \Psi_x - F\eta_y, \eta \rangle = 0,$$

daí,

$$G_x - F_y = 0,$$

logo,

$$G_x = F_y. \quad (2.7)$$

Usando a equação (2.5) e substituindo os valores de η_x e η_y , conforme as equações (2.1), obtemos

$$G(-E\Psi_x - F\Psi_y) - F(-F\Psi_x - G\Psi_y) + \Psi_x = 0,$$

ou seja,

$$\Psi_x(-EG + F^2 + 1) + \Psi_y(-GF + FG) = 0,$$

daí,

$$EG - F^2 = 1.$$

Mostraremos agora que existe uma função ϕ em M tal que $E = \phi_{xx}$, $F = \phi_{xy}$ e $G = \phi_{yy}$.

Defina a 1-forma diferencial

$$w = E dx + F dy,$$

assim,

$$\begin{aligned} dw &= (E_x dx + E_y dy) \wedge dx + E \wedge ddx + (F_x dx + F_y dy) \wedge dy + F \wedge ddy \\ &= (E_x dx + E_y dy) \wedge dx + (F_x dx + F_y dy) \wedge dy \\ &= E_y dy \wedge dx + F_x dx \wedge dy \\ &= (E_y - F_x) dy \wedge dx \end{aligned}$$

Pela equação (2.6), temos

$$dw = 0.$$

Logo, pelo Lema de Poincaré, existe uma função $\alpha : M \rightarrow \mathbb{R}$ tal que

$$\frac{\partial \alpha}{\partial x} = E \quad e \quad \frac{\partial \alpha}{\partial y} = F. \quad (2.8)$$

Da mesma forma pela equação (2.7), existe uma função $\beta : M \rightarrow \mathbb{R}$ tal que

$$\frac{\partial \beta}{\partial x} = F \quad e \quad \frac{\partial \beta}{\partial y} = G. \quad (2.9)$$

E mais ainda, das equações (2.8) e (2.9), obtemos

$$\frac{\partial \beta}{\partial x} = F = \frac{\partial \alpha}{\partial y}.$$

Devido ao Lema de Poincaré, existe uma função $\phi : M \rightarrow \mathbb{R}$ tal que $\frac{\partial \phi}{\partial x} = \alpha$ e $\frac{\partial \phi}{\partial y} = \beta$.

Portanto,

$$\begin{aligned} \phi_{xx} &= \alpha_x = E, \\ \phi_{xy} &= \alpha_y = F, \\ \phi_{yy} &= \beta_y = G. \end{aligned}$$

A segunda forma fundamental da imersão é $d\sigma^2 = -\langle d\eta, d\Psi \rangle$. Assim,

$$\begin{aligned}
d\sigma^2 &= -\langle d\Psi, d\eta \rangle \\
&= -\langle \Psi_x dx + \Psi_y dy, \eta_x dx + \eta_y dy \rangle \\
&= -(dx^2 \langle \Psi_x, \eta_x \rangle + dx dy \langle \Psi_x, \eta_y \rangle + dy dx \langle \Psi_y, \eta_x \rangle + dy^2 \langle \Psi_y, \eta_y \rangle),
\end{aligned}$$

pelas equações (2.1), obtemos

$$\begin{aligned}
d\sigma^2 &= -(dx^2(-E) + dx dy(-F) + dy dx(-F) + dy^2(-G)) \\
&= E dx^2 + G dy^2 + 2F dx dy.
\end{aligned}$$

Conseqüentemente, a segunda forma fundamental da imersão é dada por:

$$d\sigma^2 = \phi_{xx} dx^2 + \phi_{yy} dy^2 + 2\phi_{xy} dx dy,$$

e como $EG - F^2 = 1$ concluímos que,

$$\phi_{xx}\phi_{yy} - \phi_{xy}^2 = 1.$$

■

2.3 Coordenadas Conformes

Consideraremos M como uma superfície de Riemann com curvatura intrínseca nula no \mathbb{H}^3 e com uma estrutura conforme determinada pela segunda forma fundamental $d\sigma^2$.

Pela equação (2.3) podemos escolher η tal que $\phi_{xx} > 0$.

A idéia do próximo lema é introduzir um sistema de coordenadas conforme para M (com a estrutura conforme definida por $d\sigma^2$).

Lema 2.3. *Considerando a nova coordenada para a imersão:*

$$z = u + iv = (x + \phi_x) + i(y + \phi_y)$$

então $z : M \rightarrow \mathbb{C}$ é uma imersão conforme tal que

$$d\sigma^2 = \frac{1}{2 + \phi_{xx} + \phi_{yy}} |dz|^2$$

e

$$[\Psi - \eta] : M \rightarrow \mathbb{S}_\infty^2$$

é uma aplicação conforme.

Obtendo ainda,

$$\Psi = \frac{1}{2}(\Psi - \eta) + 2(\Psi - \eta)_{z\bar{z}},$$

onde,

$$\frac{\partial}{\partial z} = \frac{1}{2}\left(\frac{\partial}{\partial u} - i\frac{\partial}{\partial v}\right)$$

e

$$\frac{\partial}{\partial \bar{z}} = \frac{1}{2}\left(\frac{\partial}{\partial u} + i\frac{\partial}{\partial v}\right).$$

Demonstração. Primeiro, vamos mostrar que z é um difeomorfismo. Devido a equação (2.3), temos que a matriz hessiana

$$\begin{pmatrix} \frac{\partial^2 \phi}{\partial x \partial x} & \frac{\partial^2 \phi}{\partial x \partial y} \\ \frac{\partial^2 \phi}{\partial y \partial x} & \frac{\partial^2 \phi}{\partial y \partial y} \end{pmatrix}$$

é definida positiva. Então, pela demonstração do teorema de Bernstein, ver [12] pag. 34-35, temos

$$|z(a_1, a_2) - z(b_1, b_2)| > |(a_1, a_2) - (b_1, b_2)|$$

onde $(a_1, a_2), (b_1, b_2) \in \mathbb{C}$. Obtendo que z é injetora.

Como o determinante Jacobiano da mudança de variáveis de (u, v) para (x, y) é

$$\begin{aligned} \begin{vmatrix} \frac{\partial u}{\partial x} & \frac{\partial u}{\partial y} \\ \frac{\partial v}{\partial x} & \frac{\partial v}{\partial y} \end{vmatrix} &= \begin{vmatrix} 1 + \phi_{xx} & \phi_{xy} \\ \phi_{yx} & 1 + \phi_{yy} \end{vmatrix} = (1 + \phi_{xx})(1 + \phi_{yy}) - \phi_{xy}^2 \\ &= 1 + \phi_{yy} + \phi_{xx} + \phi_{xx}\phi_{yy} - \phi_{xy}^2 \end{aligned}$$

por (2.3), temos

$$\begin{vmatrix} \frac{\partial u}{\partial x} & \frac{\partial u}{\partial y} \\ \frac{\partial v}{\partial x} & \frac{\partial v}{\partial y} \end{vmatrix} = 2 + \phi_{xx} + \phi_{yy}.$$

Devido a escolha do vetor normal, obtemos $2 + \phi_{xx} + \phi_{yy} > 0$, assim z é localmente um difeomorfismo, donde um difeomorfismo global.

Agora, a matriz mudança de coordenads de (x, y) para (u, v) é

$$\begin{aligned} \frac{\partial(x, y)}{\partial(u, v)} &= \begin{pmatrix} \frac{\partial x}{\partial u} & \frac{\partial x}{\partial v} \\ \frac{\partial y}{\partial u} & \frac{\partial y}{\partial v} \end{pmatrix} = \begin{pmatrix} \frac{\partial u}{\partial x} & \frac{\partial u}{\partial y} \\ \frac{\partial v}{\partial x} & \frac{\partial v}{\partial y} \end{pmatrix}^{-1} = \frac{1}{2 + \phi_{xx} + \phi_{yy}} \begin{pmatrix} \frac{\partial v}{\partial y} & -\frac{\partial v}{\partial x} \\ -\frac{\partial u}{\partial y} & \frac{\partial u}{\partial x} \end{pmatrix} \\ &= \frac{1}{2 + \phi_{xx} + \phi_{yy}} \begin{pmatrix} 1 + \phi_{yy} & -\phi_{yx} \\ -\phi_{xy} & 1 + \phi_{xx} \end{pmatrix}. \end{aligned}$$

Portanto,

$$\begin{aligned} \frac{\partial x}{\partial u} &= \frac{1 + \phi_{yy}}{2 + \phi_{xx} + \phi_{yy}}, & \frac{\partial y}{\partial u} &= \frac{-\phi_{xy}}{2 + \phi_{xx} + \phi_{yy}}, \\ \frac{\partial x}{\partial v} &= \frac{-\phi_{xy}}{2 + \phi_{xx} + \phi_{yy}}, & \frac{\partial y}{\partial v} &= \frac{1 + \phi_{xx}}{2 + \phi_{xx} + \phi_{yy}}. \end{aligned}$$

Conseqüentemente;

$$\begin{aligned} \Psi_u &= \frac{1 + \phi_{yy}}{2 + \phi_{xx} + \phi_{yy}} \Psi_x + \frac{-\phi_{xy}}{2 + \phi_{xx} + \phi_{yy}} \Psi_y, \\ \Psi_v &= \frac{-\phi_{xy}}{2 + \phi_{xx} + \phi_{yy}} \Psi_x + \frac{1 + \phi_{xx}}{2 + \phi_{xx} + \phi_{yy}} \Psi_y. \end{aligned} \tag{2.10}$$

Agora, vamos fazer alguns cálculos para concluirmos que

$$(\Psi - \eta)_u = \Psi_x, \quad (\Psi - \eta)_v = \Psi_y. \tag{2.11}$$

Para isto, basta mostrarmos que

$$\Psi_u - \Psi_x = \eta_u \quad \text{e} \quad \Psi_v - \Psi_y = \eta_v.$$

Como

$$\eta_u = \eta_x \frac{\partial x}{\partial u} + \eta_y \frac{\partial y}{\partial u},$$

e usando as equações (2.1), (2.3) e (2.10), fazendo $E = \phi_{xx}$, $F = \phi_{xy}$ e $G = \phi_{yy}$, obtemos

$$\eta_u = (-E\Psi_x - F\Psi_y) \left(\frac{1 + G}{2 + E + G} \right) + (-F\Psi_x - G\Psi_y) \left(\frac{-F}{2 + E + G} \right)$$

$$\begin{aligned}
&= \left(\frac{-E(1+G) + F^2}{2+E+G} \right) \Psi_x + \left(\frac{-F(1+G) + FG}{2+E+G} \right) \Psi_y \\
&= \left(\frac{-E - EG + F^2}{2+E+G} \right) \Psi_x + \left(\frac{-F - FG + FG}{2+E+G} \right) \Psi_y \\
&= \frac{-(1+E)}{2+E+G} \Psi_x - \frac{F}{2+E+G} \Psi_y.
\end{aligned}$$

Por outro lado utilizando a equação (2.10)

$$\begin{aligned}
\Psi_u - \Psi_x &= \left(\frac{1+G}{2+E+G} \right) \Psi_x + \frac{-F}{2+E+G} \Psi_y - \Psi_x \\
&= \left(\frac{1+G - 2 - E - G}{2+E+G} \right) \Psi_x - \frac{F}{2+E+G} \Psi_y \\
&= \left(\frac{-1-E}{2+E+G} \right) \Psi_x - \frac{F}{2+E+G} \Psi_y \\
&= \frac{-(1+E)}{2+E+G} \Psi_x - \frac{F}{2+E+G} \Psi_y.
\end{aligned}$$

Portanto, $(\Psi - \eta)_u = \Psi_x$.

Analogamente, podemos provar que $(\Psi - \eta)_v = \Psi_y$.

Deste modo, usando as equações (2.3), (2.10) e (2.11), obtemos

$$\begin{aligned}
-\tilde{E} &= \langle \Psi_u, \eta_u \rangle = \langle \Psi_u, \Psi_u - \Psi_x \rangle = \langle \Psi_u, \Psi_u \rangle - \langle \Psi_u, \Psi_x \rangle \\
&= \frac{(1+G)^2}{(2+E+G)^2} + \frac{F^2}{(2+E+G)^2} - \frac{1+G}{2+E+G} \\
&= \frac{(1+G)^2 + F^2 - (1+G)(2+E+G)}{(2+E+G)^2} \\
&= \frac{(1+2G+G^2+F^2-2-E-G-2G-GE-G^2)}{(2+E+G)^2} \\
&= \frac{(1+F^2-2-E-G-GE)}{(2+E+G)^2} = \frac{(1-(EG-F^2)-(2+E+G))}{(2+E+G)^2} \\
&= \frac{-(2+E+G)}{(2+E+G)^2} = \frac{-1}{2+E+G}
\end{aligned}$$

e

$$\begin{aligned}
-\tilde{F} &= \langle \Psi_u, \eta_v \rangle = \langle \Psi_u, \Psi_v - \Psi_y \rangle = \langle \Psi_u, \Psi_v \rangle - \langle \Psi_u, \Psi_y \rangle \\
&= \frac{(1+G)(-F)}{(2+E+G)^2} + \frac{(-F)(1+E)}{(2+E+G)^2} - \frac{-F}{(2+E+G)} \\
&= \frac{-F - FG - F - FE + F(2+E+G)}{(2+E+G)^2} \\
&= \frac{-2F - FG - FE + 2F + FE + FG}{(2+E+G)^2} = 0,
\end{aligned}$$

e finalmente,

$$\begin{aligned}
-\tilde{G} &= \langle \Psi_v, \eta_v \rangle = \langle \Psi_v, \Psi_v - \Psi_y \rangle = \langle \Psi_v, \Psi_v \rangle - \langle \Psi_v, \Psi_y \rangle \\
&= \frac{F^2}{(2+E+G)^2} + \frac{(1+E)^2}{(2+E+G)^2} - \frac{1+E}{(2+E+G)} \\
&= \frac{F^2 + (1+E)^2 - (1+E)(2+E+G)}{(2+E+G)^2} \\
&= \frac{F^2 + 1 + 2E + E^2 - 2 - E - G - 2E - E^2 - EG}{(2+E+G)^2} \\
&= \frac{-(EG - F^2) + 1 - (2+E+G)}{(2+E+G)^2} = \frac{-(2+E+G)}{(2+E+G)^2} \\
&= \frac{-1}{(2+E+G)}.
\end{aligned}$$

Assim, obtemos

$$\begin{aligned}
\eta_u &= \frac{-1}{(2+E+G)} \Psi_u, \\
\eta_v &= \frac{-1}{(2+E+G)} \Psi_v.
\end{aligned}$$

Portanto,

$$d\sigma^2 = \frac{1}{(2+E+G)}(du^2 + dv^2) = \frac{1}{(2+E+G)}|dz|.$$

Das equações (2.1), (2.3) e (2.10), obtemos

$$\begin{aligned}
(\Psi - \eta)_{uu} &= \Psi_{xx} \frac{\partial x}{\partial u} + \Psi_{xy} \frac{\partial y}{\partial u} \\
&= (E\eta + \Psi) \left(\frac{1+G}{2+E+G} \right) + F\eta \left(\frac{-F}{2+E+G} \right) \\
&= \left(\frac{(1+G)E - F^2}{2+E+G} \right) \eta + \left(\frac{1+G}{2+E+G} \right) \Psi \\
&= \frac{E+GE - F^2}{2+E+G} \eta + \frac{1+G}{2+E+G} \Psi \\
&= \frac{E+1}{2+E+G} \eta + \frac{1+G}{2+E+G} \Psi
\end{aligned}$$

e

$$\begin{aligned}
(\Psi - \eta)_{vv} &= \Psi_{yx} \frac{\partial x}{\partial v} + \Psi_{yy} \frac{\partial y}{\partial v} \\
&= F\eta \left(\frac{-F}{2+E+G} \right) + (G\eta + \Psi) \left(\frac{1+E}{2+E+G} \right) \\
&= \left(\frac{1+E}{2+E+G} \right) \Psi + \left(\frac{-F^2 + G(1+E)}{2+E+G} \right) \eta \\
&= \frac{1+E}{2+E+G} \Psi + \frac{1+G}{2+E+G} \eta.
\end{aligned}$$

Usando a observação acima, temos

$$4(\Psi - \eta)_{z\bar{z}} = \Psi + \eta.$$

De fato,

$$\begin{aligned}
4(\Psi - \eta)_{z\bar{z}} &= 4\left(\frac{1}{4}((\Psi - \eta)_{uu} + (\Psi - \eta)_{vv})\right) = (\Psi - \eta)_{uu} + (\Psi - \eta)_{vv} \\
&= \frac{1+G}{2+E+G} \Psi + \frac{1+E}{2+E+G} \eta + \frac{1+E}{2+E+G} \Psi + \frac{1+G}{2+E+G} \eta \\
&= \frac{(2+E+G)\Psi + (2+E+G)\eta}{2+E+G} = \Psi + \eta.
\end{aligned}$$

Assim, finalmente, temos

$$\begin{aligned}
\Psi &= 4(\Psi - \eta)_{z\bar{z}} - \eta \\
&= 2(\Psi - \eta)_{z\bar{z}} + 2(\Psi - \eta)_{z\bar{z}} - \eta \\
&= 2(\Psi - \eta)_{z\bar{z}} + \frac{1}{2}(\Psi + \eta) - \eta \\
&= 2(\Psi - \eta)_{z\bar{z}} + \frac{1}{2}(\Psi - \eta).
\end{aligned}$$

Afirmamos que $\Psi - \eta : M \rightarrow \mathbb{N}^3$ é conforme, isto é, dados $p \in M$ e $v \in T_pM$ então,

$$\langle d(\Psi - \eta)_p(v), d(\Psi - \eta)_p(v) \rangle_{\mathbb{L}^4} = \lambda^2 \langle v, v \rangle_{d\sigma^2}.$$

Para provar a afirmação basta mostrarmos a afirmação para os vetores de uma base do T_pM .

Seja $\{e_1, e_2\}$ a base canônica do plano complexo. Seja $p \in M$ e considere (U, φ) uma carta local para o ponto p .

Logo, $\{d\varphi(e_1), d\varphi(e_2)\}$ é uma base do T_pM . Vamos denotar $d\varphi(e_1) = \frac{\partial}{\partial u}$ e $d\varphi(e_2) = \frac{\partial}{\partial v}$.

Daí,

$$\left\langle d(\Psi - \eta)_p\left(\frac{\partial}{\partial u}\right), d(\Psi - \eta)_p\left(\frac{\partial}{\partial u}\right) \right\rangle_{\mathbb{L}^4} = \langle (\Psi - \eta)_u, (\Psi - \eta)_u \rangle_{\mathbb{L}^4},$$

usando as equações (2.11) e o Lema 2.1, temos

$$\left\langle d(\Psi - \eta)_p\left(\frac{\partial}{\partial u}\right), d(\Psi - \eta)_p\left(\frac{\partial}{\partial u}\right) \right\rangle_{\mathbb{L}^4} = \langle \Psi_x, \Psi_x \rangle_{\mathbb{L}^4} = \left\langle \frac{\partial}{\partial x}, \frac{\partial}{\partial x} \right\rangle_{ds^2} = 1.$$

Por outro lado, pelo Lema 2.3 e considerando $\lambda^2 = 2 + E + G$ então,

$$\lambda^2 \left\langle \frac{\partial}{\partial u}, \frac{\partial}{\partial u} \right\rangle_{d\sigma^2} = (2 + E + G) \frac{1}{2 + E + G} \left\langle \frac{\partial}{\partial u}, \frac{\partial}{\partial u} \right\rangle_{|dz|^2} = 1.$$

Portanto,

$$\left\langle d(\Psi - \eta)_p\left(\frac{\partial}{\partial u}\right), d(\Psi - \eta)_p\left(\frac{\partial}{\partial u}\right) \right\rangle_{\mathbb{L}^4} = \lambda^2 \left\langle \frac{\partial}{\partial u}, \frac{\partial}{\partial u} \right\rangle_{d\sigma^2}.$$

Analogamente, usando as equações (2.11) e os Lemas 2.1 e 2.3, obtemos

$$\left\langle d(\Psi - \eta)_p\left(\frac{\partial}{\partial u}\right), d(\Psi - \eta)_p\left(\frac{\partial}{\partial v}\right) \right\rangle_{\mathbb{L}^4} = \lambda^2 \left\langle \frac{\partial}{\partial u}, \frac{\partial}{\partial v} \right\rangle_{d\sigma^2}$$

e

$$\left\langle d(\Psi - \eta)_p\left(\frac{\partial}{\partial v}\right), d(\Psi - \eta)_p\left(\frac{\partial}{\partial v}\right) \right\rangle_{\mathbb{L}^4} = \lambda^2 \left\langle \frac{\partial}{\partial v}, \frac{\partial}{\partial v} \right\rangle_{d\sigma^2}.$$

Assim, a aplicação $(\Psi - \eta) : M \rightarrow \mathbb{N}^3$ é uma aplicação conforme. Usando a projeção de \mathbb{N}^3 sobre a \mathbb{S}_∞^2 como na seção 1.2, obtemos que a aplicação $[\Psi - \eta] : M \rightarrow \mathbb{S}_\infty^2$, que é a composição destas duas aplicações conformes, é conforme. ■

2.4 Representação em matrizes

Nesta seção vamos representar Ψ e η em forma de matrizes hermitianas.

Lema 2.4. *Sejam $A, B : M \rightarrow \mathbb{C}$ funções holomorfas definidas em toda superfície M tal que $[\Psi - \eta]$ é representado como $[(A, B)] \in \mathbb{C}P^1 \equiv \mathbb{S}_\infty^2$ então,*

$$\Psi = \begin{pmatrix} C\bar{C} + 4\bar{C}_z C_z & C\bar{D} + 4C_z \bar{D}_z \\ \bar{C}D + 4\bar{C}_z D_z & D\bar{D} + 4D_z \bar{D}_z \end{pmatrix}$$

e

$$\eta = \begin{pmatrix} -C\bar{C} + 4\bar{C}_z C_z & -C\bar{D} + 4C_z \bar{D}_z \\ -\bar{C}D + 4\bar{C}_z D_z & -D\bar{D} + 4D_z \bar{D}_z \end{pmatrix}$$

onde, $C = \frac{A}{\sqrt{2R}}$ e $D = \frac{B}{\sqrt{2R}}$ com $R^2 = AB_z - BA_z$ e $R : M \rightarrow \mathbb{C}$ holomorfa.

Demonstração. Usando a representação de $[\Psi - \eta] \in \mathbb{S}_\infty^2$ como $[(A, B)] \in \mathbb{C}P^1 \equiv \mathbb{S}_\infty^2$ obtemos que:

Para alguma função $\lambda \in C^\infty(M)$ positiva,

$$\Psi - \eta = \lambda \begin{pmatrix} A \\ B \end{pmatrix} \begin{pmatrix} \bar{A} & \bar{B} \end{pmatrix} = \lambda \begin{pmatrix} A\bar{A} & A\bar{B} \\ \bar{A}B & B\bar{B} \end{pmatrix}.$$

Primeiro, vamos provar que:

$$\frac{1}{2} = \langle (\Psi - \eta)_z, (\Psi - \eta)_z \rangle_{ds^2} = \frac{1}{2} \lambda^2 |AB_z - BA_z|^2. \quad (2.12)$$

Utilizando as equações (2.11), observamos que:

$$(\Psi - \eta)_z = \frac{1}{2}((\Psi - \eta)_u - i(\Psi - \eta)_v) = \frac{1}{2}(\Psi_x - i\Psi_y),$$

$$(\Psi - \eta)_{\bar{z}} = \frac{1}{2}((\Psi - \eta)_u + i(\Psi - \eta)_v) = \frac{1}{2}(\Psi_x + i\Psi_y),$$

assim,

$$\langle (\Psi - \eta)_z, (\Psi - \eta)_{\bar{z}} \rangle_{ds^2} = \frac{1}{4} \langle \Psi_x - i\Psi_y, \Psi_x + i\Psi_y \rangle = \frac{1}{4}(\langle \Psi_x, \Psi_x \rangle - i^2 \langle \Psi_y, \Psi_y \rangle) = \frac{1}{2}.$$

Por outro lado, se $m, n \in Herm(2)$ usando o produto interno $\langle m, m \rangle = -det(m)$, observamos que:

$$\langle m - n, m - n \rangle = \langle m, m \rangle + \langle n, n \rangle - 2 \langle m, n \rangle,$$

isto é,

$$\langle m, n \rangle = \frac{1}{2}(\langle m, m \rangle + \langle n, n \rangle - \langle m - n, m - n \rangle) = \frac{1}{2}(-det(m) - det(n) + det(m - n)),$$

daí, usando o Lema 2.1

$$-det((\Psi - \eta)_z) = \langle (\Psi - \eta)_z, (\Psi - \eta)_z \rangle_{ds^2} = \frac{1}{4} \langle \Psi_x - i\Psi_y, \Psi_x - i\Psi_y \rangle = \frac{1}{4}(1 + i^2) = 0$$

e

$$-det((\Psi - \eta)_{\bar{z}}) = \langle (\Psi - \eta)_{\bar{z}}, (\Psi - \eta)_{\bar{z}} \rangle_{ds^2} = \frac{1}{4} \langle \Psi_x + i\Psi_y, \Psi_x + i\Psi_y \rangle = \frac{1}{4}(1 + i^2) = 0.$$

Portanto,

$$\langle (\Psi - \eta)_z, (\Psi - \eta)_{\bar{z}} \rangle = \frac{1}{2}det((\Psi - \eta)_z - (\Psi - \eta)_{\bar{z}}).$$

Usando a representação em matrizes de $(\Psi - \eta)_z$ e $(\Psi - \eta)_{\bar{z}}$ e observando que $\bar{A}_z = \bar{B}_z = 0$, pois A e B são holomorfas, obtemos

$$(\Psi - \eta)_z = \begin{pmatrix} \lambda A \bar{A} & \lambda A \bar{B} \\ \lambda \bar{A} B & \lambda B \bar{B} \end{pmatrix}_z = \begin{pmatrix} \lambda_z A \bar{A} + \lambda A_z \bar{A} & \lambda_z A \bar{B} + \lambda A_z \bar{B} \\ \lambda_z \bar{A} B + \lambda \bar{A} B_z & \lambda_z B \bar{B} + \lambda B_z \bar{B} \end{pmatrix}$$

e

$$(\Psi - \eta)_{\bar{z}} = \begin{pmatrix} \lambda A \bar{A} & \lambda A \bar{B} \\ \lambda \bar{A} B & \lambda B \bar{B} \end{pmatrix}_{\bar{z}} = \begin{pmatrix} \lambda_{\bar{z}} A \bar{A} + \lambda A \bar{A}_{\bar{z}} & \lambda_{\bar{z}} A \bar{B} + \lambda A \bar{B}_{\bar{z}} \\ \lambda_{\bar{z}} \bar{A} B + \lambda \bar{A}_{\bar{z}} B & \lambda_{\bar{z}} B \bar{B} + \lambda B \bar{B}_{\bar{z}} \end{pmatrix}.$$

daí, usando $\overline{A_z} = \bar{A}_{\bar{z}}$ e $\overline{B_z} = \bar{B}_{\bar{z}}$, temos

$$(\Psi - \eta)_z - (\Psi - \eta)_{\bar{z}} = \begin{pmatrix} A \bar{A}(\lambda_z - \lambda_{\bar{z}}) + \lambda(A_z \bar{A} - A \bar{A}_{\bar{z}}) & A \bar{B}(\lambda_z - \lambda_{\bar{z}}) + \lambda(A_z \bar{B} - A \bar{B}_{\bar{z}}) \\ \bar{A} B(\lambda_z - \lambda_{\bar{z}}) + \lambda(\bar{A} B_z - \bar{A}_{\bar{z}} B) & B \bar{B}(\lambda_z - \lambda_{\bar{z}}) + \lambda(B_z \bar{B} - B \bar{B}_{\bar{z}}) \end{pmatrix}.$$

Logo,

$$\begin{aligned}
& \det((\Psi - \eta)_z - (\Psi - \eta)_{\bar{z}}) \\
&= [A\bar{A}(\lambda_z - \lambda_{\bar{z}}) + \lambda(A_z\bar{A} - A\bar{A}_z)] [B\bar{B}(\lambda_z - \lambda_{\bar{z}}) + \lambda(B_z\bar{B} - B\bar{B}_z)] \\
&- [A\bar{B}(\lambda_z - \lambda_{\bar{z}}) + \lambda(A_z\bar{B} - A\bar{B}_z)] [\bar{A}B(\lambda_z - \lambda_{\bar{z}}) + \lambda(\bar{A}B_z - \bar{A}_zB)].
\end{aligned}$$

Multiplicando o lado direito da equação, ficamos com

$$\begin{aligned}
& (\lambda_z - \lambda_{\bar{z}})^2 A\bar{A}B\bar{B} + \lambda(\lambda_z - \lambda_{\bar{z}})A\bar{A}(B_z\bar{B} - B\bar{B}_z) + \lambda(\lambda_z - \lambda_{\bar{z}})B\bar{B}(A_z\bar{A} - A\bar{A}_z) \\
& + \lambda^2(A_z\bar{A} - A\bar{A}_z)(B_z\bar{B} - B\bar{B}_z) - A\bar{B}\bar{A}B(\lambda_z - \lambda_{\bar{z}})^2 - \lambda(\lambda_z - \lambda_{\bar{z}})A\bar{B}(\bar{A}B_z - \bar{A}_zB) \\
& - \lambda(\lambda_z - \lambda_{\bar{z}})\bar{A}B(A_z\bar{B} - A\bar{B}_z) - \lambda^2(A_z\bar{B} - A\bar{B}_z)(\bar{A}B_z - \bar{A}_zB).
\end{aligned}$$

Agrupando os fatores com λ^2 e $\lambda(\lambda_z - \lambda_{\bar{z}})$, temos

$$\begin{aligned}
& \lambda(\lambda_z - \lambda_{\bar{z}})[A\bar{A}B_z\bar{B} - A\bar{A}B\bar{B}_z + B\bar{B}A_z\bar{A} - B\bar{B}A\bar{A}_z - A\bar{B}\bar{A}B_z + A\bar{B}\bar{A}_zB - \bar{A}B A_z\bar{B} \\
& - \bar{A}B A\bar{B}_z] + \lambda^2[A_z\bar{A}B_z\bar{B} - A_z\bar{A}B\bar{B}_z - A\bar{A}_zB_z\bar{B} + A\bar{A}_zB\bar{B}_z - A_z\bar{B}\bar{A}B_z \\
& + A_z\bar{B}\bar{A}_zB + \bar{A}A\bar{B}_zB_z - \bar{A}B_zA_zB].
\end{aligned}$$

Simplificando a expressão acima, obtemos

$$\lambda^2[B_zA(-\bar{A}_z\bar{B} + \bar{A}B_z) + BA_z(-\bar{A}B_z + \bar{B}A_z)].$$

Logo,

$$\det((\Psi - \eta)_z - (\Psi - \eta)_{\bar{z}}) = \lambda^2(B_zA - BA_z)(\bar{A}B_z - \bar{B}A_z).$$

Portanto,

$$\langle (\Psi - \eta)_z, (\Psi - \eta)_{\bar{z}} \rangle = \frac{1}{2}\lambda^2 |AB_z - BA_z|^2,$$

assim concluímos que:

$$1 = \lambda^2 |AB_z - BA_z|^2.$$

Como $\lambda^2 > 0$, $AB_z - BA_z$ não se anula.

Como $\exp : \mathbb{C} \rightarrow \mathbb{C} - \{0\}$ é uma aplicação de recobrimento e $f = AB_z - BA_z$ é uma aplicação contínua, então podemos levantar f para uma função $f' : M \rightarrow \mathbb{C}$ tal que $\exp f' = \exp \circ f' = f$, ou seja, $f' = \log(f)$.

Defina $R = \exp(\frac{1}{2}f')$, então $R^2 = \exp f' = f$, e ainda R é holomorfa, pois é a composição de funções holomorfas.

Assim, podemos escrever

$$C = \frac{A}{\sqrt{2}R} \quad \text{e} \quad D = \frac{B}{\sqrt{2}R}$$

ou seja, $A = C\sqrt{2}R$ e $B = D\sqrt{2}R$.

Logo,

$$\begin{aligned} A\bar{A} &= 2C\bar{C}R\bar{R} = 2C\bar{C}|R|^2, \\ A\bar{B} &= 2C\bar{D}R\bar{R} = 2C\bar{D}|R|^2, \\ B\bar{B} &= 2D\bar{D}R\bar{R} = 2D\bar{D}|R|^2, \\ \bar{A}B &= 2\bar{C}D R\bar{R} = 2\bar{C}D|R|^2. \end{aligned}$$

Daí,

$$(\Psi - \eta) = \lambda \begin{pmatrix} 2|R|^2 C\bar{C} & 2|R|^2 C\bar{D} \\ 2|R|^2 \bar{C}D & 2|R|^2 D\bar{D} \end{pmatrix} = 2\lambda|R|^2 \begin{pmatrix} C\bar{C} & C\bar{D} \\ \bar{C}D & D\bar{D} \end{pmatrix}.$$

Devido a equação (2.12), temos

$$1 = \lambda^2 |AB_z - BA_z|^2 = \lambda^2 |R^2|$$

concluindo que:

$$(\Psi - \eta) = 2 \begin{pmatrix} C\bar{C} & C\bar{D} \\ \bar{C}D & D\bar{D} \end{pmatrix}.$$

Assim, usando o Lema 2.3, obtemos que a imersão Ψ é dada por:

$$\begin{aligned} \Psi &= \frac{1}{2}(\Psi - \eta) + 2(\Psi - \eta)_{z\bar{z}} = \begin{pmatrix} C\bar{C} & C\bar{D} \\ \bar{C}D & D\bar{D} \end{pmatrix} + 2(\Psi - \eta)_{z\bar{z}} \\ &= \begin{pmatrix} C\bar{C} & C\bar{D} \\ \bar{C}D & D\bar{D} \end{pmatrix} + 4 \begin{pmatrix} C\bar{C} & C\bar{D} \\ \bar{C}D & D\bar{D} \end{pmatrix}_{z\bar{z}} \\ &= \begin{pmatrix} C\bar{C} & C\bar{D} \\ \bar{C}D & D\bar{D} \end{pmatrix} + 4 \begin{pmatrix} C_z\bar{C} & C_z\bar{D} \\ \bar{C}D_z & D_z\bar{C} \end{pmatrix}_{\bar{z}} \\ &= \begin{pmatrix} C\bar{C} & C\bar{D} \\ \bar{C}D & D\bar{D} \end{pmatrix} + 4 \begin{pmatrix} C_z\bar{C}_z & C_z\bar{D}_z \\ \bar{C}_zD_z & D_z\bar{C}_z \end{pmatrix} \\ &= \begin{pmatrix} C\bar{C} + 4C_z\bar{C}_z & C\bar{D} + 4C_z\bar{D}_z \\ \bar{C}D + 4\bar{C}_zD_z & D\bar{C} + 4D_z\bar{C}_z \end{pmatrix}, \end{aligned}$$

e o vetor η é dado por:

$$\begin{aligned} \eta &= 4(\Psi - \eta)_{z\bar{z}} - \Psi \\ &= 8 \begin{pmatrix} C_z\bar{C}_z & C_z\bar{D}_z \\ \bar{C}_zD_z & D_z\bar{C}_z \end{pmatrix} - \begin{pmatrix} C\bar{C} + 4C_z\bar{C}_z & C\bar{D} + 4C_z\bar{D}_z \\ \bar{C}D + 4\bar{C}_zD_z & D\bar{C} + 4D_z\bar{C}_z \end{pmatrix} \\ &= \begin{pmatrix} -C\bar{C} + 4C_z\bar{C}_z & -C\bar{D} + 4C_z\bar{D}_z \\ -\bar{C}D + 4\bar{C}_zD_z & -D\bar{C} + 4D_z\bar{C}_z \end{pmatrix}. \end{aligned}$$

■

Capítulo 3

Representação Conforme

Neste capítulo faremos, na seção 3.1, uma demonstração para o teorema de representação conforme de superfícies planas no espaço hiperbólico de dimensão três, que é basicamente representar uma superfície plana em \mathbb{H}^3 por um par (f, ω) , onde f é uma função holomorfa e ω é uma 1-forma holomorfa, com base nos lemas do capítulo anterior. Definimos a aplicação de Gauss hiperbólica. Na seção 3.2, discutimos alguns exemplos e utilizando o teorema de representação conforme, obtemos uma nova demonstração do teorema Volkov-Vladimirova e Sasaki.

3.1 Demonstração

Teorema 3.1. *Representação Conforme*

i) *Sejam M uma superfície simplesmente conexa e $\Psi : M \rightarrow \mathbb{H}^3$ uma imersão plana. Se em M considerarmos a estrutura conforme determinada pela segunda forma fundamental de Ψ , então existe uma imersão holomorfa $g : M \rightarrow SL(2, \mathbb{C})$ e um par (f, ω) constituído de uma função holomorfa f e uma 1-forma holomorfa ω em M tal que:*

a) $|f| < 1$ e $\omega \neq 0$ em toda parte,

b) $g^{-1}dg = \begin{pmatrix} 0 & f \\ 1 & 0 \end{pmatrix} \omega$,

c) $\Psi = gg^*$,

d) *A métrica induzida e a segunda forma fundamental de Ψ são dadas por:*

$$ds^2 = f\omega^2 + \bar{f}\bar{\omega}^2 + (1 + |f|^2) |\omega|^2$$

$$d\sigma^2 = (1 - |f|^2) |\omega|^2,$$

mais ainda, g é única a menos de uma multiplicação pela direita de uma constante $g_0 \in SU(2)$.

ii) Inversamente, sejam M uma superfície de Riemann e $g : M \rightarrow SL(2, \mathbb{C})$ a imersão holomorfa tal que $g^{-1}dg = \begin{pmatrix} 0 & f \\ 1 & 0 \end{pmatrix} \omega$, $\omega = \frac{1}{2}dz$ e $|f| < 1$. Então $\Psi = gg^* : M \rightarrow \mathbb{H}^3$ é uma imersão plana que tem métrica induzida e segunda forma fundamental dadas, respectivamente por:

$$ds^2 = f\omega^2 + \bar{f}\bar{\omega}^2 + (1 + |f|^2) |\omega|^2$$

$$d\sigma^2 = (1 - |f|^2) |\omega|^2.$$

Demonstração. Considere a função $f : M \rightarrow \mathbb{C}$ definida por

$$f = \frac{\phi_{yy} - \phi_{xx} - 2i\phi_{xy}}{2 + \phi_{xx} + \phi_{yy}} = \frac{G - E + 2iF}{2 + E + G}.$$

Mostraremos que

$$(\Psi + \eta)_z = f(\Psi - \eta)_{\bar{z}}. \quad (3.1)$$

De fato, $f(\Psi - \eta)_{\bar{z}} = f(\frac{1}{2}((\Psi - \eta)_u + i(\Psi - \eta)_v))$ e pelas equações (2.11), temos

$$f(\Psi - \eta)_{\bar{z}} = f\left(\frac{1}{2}(\Psi_x + i\Psi_y)\right) = \frac{1}{2} \frac{1}{2 + E + G} (G - E + 2iF)(\Psi_x + i\Psi_y),$$

tomando $\Lambda = 2 + E + G$, obtemos

$$\begin{aligned} f(\Psi - \eta)_{\bar{z}} &= \frac{1}{2\Lambda}(G - E)\Psi_x + \frac{1}{2\Lambda}(2iF\Psi_x) + \frac{1}{2\Lambda}(G - E)i\Psi_y + \frac{1}{2\Lambda}2iFi\Psi_y \\ &= \frac{1}{2\Lambda}(G - E)\Psi_x - \frac{1}{\Lambda}F\Psi_y + i\left(\frac{(G - E)\Psi_y}{2\Lambda} + \frac{F\Psi_x}{\Lambda}\right). \end{aligned}$$

Por outro lado,

$$\begin{aligned} (\Psi + \eta)_z &= (\Psi - \eta + 2\eta)_z = (\Psi - \eta)_z + 2\eta_z \\ &= \frac{1}{2}((\Psi - \eta)_u - i(\Psi - \eta)_v) + \frac{2}{2}(\eta_u - i\eta_v). \end{aligned}$$

Pelas equações (2.11), temos

$$(\Psi + \eta)_z = \frac{1}{2}\Psi_x - \frac{i}{2}\Psi_y + \eta_u - i\eta_v.$$

Como $\eta_u = \eta_x x_u + \eta_y y_u$ e usando o Lema 2.2 e as equações (2.10) e (2.3), obtemos

$$\begin{aligned}
 \eta_u &= (-E\Psi_x - F\Psi_y) \left(\frac{1+G}{\Lambda} \right) + (-F\Psi_x - G\Psi_y) \left(\frac{-F}{\Lambda} \right) \\
 &= \left(\frac{-E(1+G)}{\Lambda} + \frac{F^2}{\Lambda} \right) \Psi_x + \left(\frac{-F(1+G)}{\Lambda} + \frac{FG}{\Lambda} \right) \Psi_y \\
 &= \left(\frac{-EG + F^2 - E}{\Lambda} \right) \Psi_x + \frac{-F}{\Lambda} \Psi_y \\
 &= \left(\frac{-1-E}{\Lambda} \right) \Psi_x - \frac{F}{\Lambda} \Psi_y
 \end{aligned}$$

e como $\eta_v = \eta_x x_v + \eta_y y_v$, pelo Lema 2.2 e a equação (2.3), temos

$$\begin{aligned}
 \eta_v &= (-E\Psi_x - F\Psi_y) \left(\frac{-F}{\Lambda} \right) + (-F\Psi_x - G\Psi_y) \left(\frac{1+E}{\Lambda} \right) \\
 &= \left(\frac{EF}{\Lambda} - \frac{F(1+E)}{\Lambda} \right) \Psi_x + \left(\frac{F^2}{\Lambda} - \frac{G(1+E)}{\Lambda} \right) \Psi_y \\
 &= -\frac{F}{\Lambda} \Psi_x + \frac{(-G-1)}{\Lambda} \Psi_y.
 \end{aligned}$$

Assim, usando o valor de Λ

$$\begin{aligned}
 (\Psi + \eta)_z &= \frac{\Psi_x}{2} - \frac{i\Psi_y}{2} + \frac{(-1-E)\Psi_x}{\Lambda} - \frac{F\Psi_y}{\Lambda} + \frac{iF\Psi_x}{\Lambda} + \frac{(1+G)i\Psi_y}{\Lambda} \\
 &= \left(\frac{1}{2} - \frac{1+E}{\Lambda} \right) \Psi_x - \frac{F}{\Lambda} \Psi_y + i \left(\frac{F}{\Lambda} \Psi_x + \left(\frac{1}{2} - \frac{1+G}{\Lambda} \right) \Psi_y \right) \\
 &= \frac{2+E+G-2(1+E)}{2\Lambda} \Psi_x - \frac{F}{\Lambda} \Psi_y + i \left(\frac{F}{\Lambda} \Psi_x + \left(\frac{-2-E-G+2(1+G)}{2\Lambda} \right) \Psi_y \right) \\
 &= \frac{(G-E)}{2\Lambda} \Psi_x - \frac{F}{\Lambda} \Psi_y + i \left(\frac{F}{\Lambda} \Psi_x + \frac{(G-E)}{2\Lambda} \Psi_y \right).
 \end{aligned}$$

Portanto, obtemos

$$(\Psi + \eta)_z = f(\Psi - \eta)_{\bar{z}}.$$

Agora, pelo Lema 2.4, temos

$$(\Psi + \eta)_z = \begin{pmatrix} 8C_z \overline{C_z} & 8C_z \overline{D_z} \\ 8\overline{C_z} D_z & 8D_z \overline{D_z} \end{pmatrix}_z = 8 \begin{pmatrix} C_{zz} \overline{C_z} & C_{zz} \overline{D_z} \\ C_z D_{zz} & D_{zz} \overline{D_z} \end{pmatrix}$$

e

$$(\Psi - \eta)_{\bar{z}} = 2 \begin{pmatrix} C\bar{C}_z & C\bar{D}_z \\ C_z D & D\bar{D}_z \end{pmatrix}$$

logo, da equação (3.1)

$$4 \begin{pmatrix} C_{zz}\bar{C}_z & C_{zz}\bar{D}_z \\ C_z D_{zz} & D_{zz}\bar{D}_z \end{pmatrix} = f \begin{pmatrix} C\bar{C}_z & C\bar{D}_z \\ C_z D & D\bar{D}_z \end{pmatrix}$$

ou seja,

$$4 \begin{pmatrix} C_{zz} \\ D_{zz} \end{pmatrix} \begin{pmatrix} \bar{C}_z & \bar{D}_z \end{pmatrix} = f \begin{pmatrix} C \\ D \end{pmatrix} \begin{pmatrix} \bar{C}_z & \bar{D}_z \end{pmatrix}.$$

Se $C_z = D_z = 0$ então usando a equação (2.12), temos

$$\frac{1}{2} = \langle (\Psi - \eta)_z, (\Psi - \eta)_{\bar{z}} \rangle = \frac{1}{2} 4 |CD_z - DC_z|^2 = 0,$$

o que é um absurdo, logo C_z e D_z não se anulam simultaneamente. Concluindo que

$$4 \begin{pmatrix} C_{zz} \\ D_{zz} \end{pmatrix} = f \begin{pmatrix} C \\ D \end{pmatrix},$$

ou seja,

$$C_{zz} = \frac{1}{4}fC \quad e \quad D_{zz} = \frac{1}{4}fD, \quad (3.2)$$

então f é uma função holomorfa, pois C e D não se anulam simultaneamente e C_{zz}, C, D e D_{zz} são holomorfas.

E ainda, usando a equação (2.3), temos

$$\begin{aligned} |f|^2 &= \left| \frac{G-E}{\Lambda} + \frac{2iF}{\Lambda} \right|^2 = \frac{(G-E)^2}{\Lambda^2} + \frac{4F^2}{\Lambda^2} \\ &= \frac{G^2 - 2EG + E^2 + 4F^2}{\Lambda^2} = \frac{E^2 + G^2 - 2EG + 4(EG-1)}{\Lambda^2} \\ &= \frac{E^2 + G^2 + 2EG - 4}{G^2 + (2+E)^2 + 2G(2+E)} = \frac{E^2 + G^2 + 2EG - 4}{G^2 + E^2 + 4E + 4 + 4G + 2EG} \\ &= \frac{E^2 + G^2 + 2EG - 4}{(G^2 + E^2 + 2EG - 4) + 8 + 4E + 4G} < 1. \end{aligned}$$

Assim, $|f| < 1$.Do Lema 2.4, a imersão Ψ pode ser recuperada como $\Psi = gg^*$, onde $g : M \rightarrow SL(2, \mathbb{C})$ é a imersão holomorfa dada por:

$$g = \begin{pmatrix} C & 2C_z \\ D & 2D_z \end{pmatrix}.$$

Observe que: $\det g = 2CD_z + 2DC_z = 2(CD_z + DC_z)$ e

$$C_z = \frac{A_z}{\sqrt{2R}} + A \left(\frac{1}{\sqrt{2R}} \right)_z,$$

$$D_z = \frac{B_z}{\sqrt{2R}} + B \left(\frac{1}{\sqrt{2R}} \right)_z.$$

Devido a equação (2.12), temos

$$CD_z - DC_z = \frac{A}{\sqrt{2R}} \left[\frac{B_z}{\sqrt{2R}} + B \left(\frac{1}{\sqrt{2R}} \right)_z \right] - \frac{B}{\sqrt{2R}} \left[\frac{A_z}{\sqrt{2R}} + A \left(\frac{1}{\sqrt{2R}} \right)_z \right] = \frac{1}{2} \frac{AB_z - BA_z}{R^2},$$

portanto, $\det g = 1$.

Como g é holomorfa, temos

$$dg = \frac{\partial g}{\partial z} dz + \frac{\partial g}{\partial \bar{z}} d\bar{z} = \frac{\partial g}{\partial z} dz$$

e como,

$$g^{-1} = \frac{1}{2(D_z C - DC_z)} \begin{pmatrix} 2D_z & -2C_z \\ -D & C \end{pmatrix}.$$

Assim, usando as equações (3.2) e $\det g = 1$, obtemos

$$\begin{aligned} g^{-1}dg &= \begin{pmatrix} 2D_z & -2C_z \\ -D & C \end{pmatrix} \begin{pmatrix} C_z & 2C_{zz} \\ D_z & 2D_{zz} \end{pmatrix} dz \\ &= \begin{pmatrix} 2D_z & -2C_z \\ -D & C \end{pmatrix} \begin{pmatrix} C_z & \frac{1}{2}fC \\ D_z & \frac{1}{2}fD \end{pmatrix} dz \\ &= \begin{pmatrix} 2D_z C_z - 2C_z D_z & fCD_z - fC_z D \\ -DC_z + CD_z & -\frac{1}{2}fCD + \frac{1}{2}fDC \end{pmatrix} dz \\ &= \frac{1}{2} \begin{pmatrix} 0 & f \\ 1 & 0 \end{pmatrix} dz \\ &= \begin{pmatrix} 0 & f \\ 1 & 0 \end{pmatrix} \omega, \end{aligned}$$

onde $\omega = \frac{1}{2}dz$.

Como $\Psi = gg^*$, temos

$$\begin{aligned}
d\Psi &= dgg^* + gdg^* = (gg^{-1})dgg^* + gdg^*((g^*)^{-1}g^*) \\
&= g(g^{-1}dg)g^* + g(dg^*(g^*)^{-1})g^* \\
&= g(g^{-1}dg + dg^*(g^*)^{-1})g^* \\
&= g(g^{-1}dg + (dg)^*(g^{-1})^*)g^* \\
&= g(g^{-1}dg + (g^{-1}dg)^*)g^*.
\end{aligned}$$

Considerando \mathbb{L}^4 identificado com o espaço das matrizes 2×2 Hermitianas, temos

$$\begin{aligned}
\det(d\Psi) &= \det(g(g^{-1}dg + (g^{-1}dg)^*)g^*) = \det(g^{-1}dg + (g^{-1}dg)^*) \\
&= \det\left(\begin{pmatrix} 0 & f \\ 1 & 0 \end{pmatrix}\omega + \begin{pmatrix} 0 & f \\ 1 & 0 \end{pmatrix}^*\omega^*\right) \\
&= \det\left(\begin{pmatrix} 0 & f\omega \\ \omega & 0 \end{pmatrix} + \begin{pmatrix} 0 & \bar{\omega} \\ \bar{f}\bar{\omega} & 0 \end{pmatrix}\right) \\
&= \det\begin{pmatrix} 0 & f\omega + \bar{\omega} \\ \omega + \bar{f}\bar{\omega} & 0 \end{pmatrix} \\
&= -(f\omega^2 + \bar{f}\bar{\omega}^2 + (1 + |f|^2)|\omega|^2),
\end{aligned}$$

portanto

$$ds^2 = f\omega^2 + \bar{f}\bar{\omega}^2 + (1 + |f|^2)|\omega|^2.$$

Como $|f|^2 = \frac{E^2 + G^2 + 2EG - 4}{(2 + E + G)^2}$, temos

$$\begin{aligned}
1 - |f|^2 &= \frac{G^2 + E^2 + 2EG + 4 + 4E + 4G - (E^2 + G^2 + 2EG - 4)}{(2 + E + G)^2} \\
&= \frac{8 + 4E + 4G}{(2 + E + G)^2} \\
&= \frac{4}{2 + E + G}.
\end{aligned}$$

Do Lema 2.3, temos que

$$d\sigma^2 = \frac{1}{2 + E + G}|dz|^2 = \frac{4}{2 + E + G} \frac{|dz|^2}{4} = (1 - |f|^2)|\omega|^2.$$

Seja $\tilde{g} : M \rightarrow SL(2, \mathbb{C})$ uma outra imersão com $\Psi = \tilde{g}\tilde{g}^*$ então, $gg^* = \Psi = \tilde{g}\tilde{g}^*$.

Tome $g_0 = \tilde{g}^*(g^*)^{-1}$ então, $g_0 \in SU(2)$. De fato,

$$\begin{aligned} g_0g_0^* &= (\tilde{g}^*(g^*)^{-1})(\tilde{g}^*(g^*)^{-1})^* = (\tilde{g}^*(g^*)^{-1})(((g^*)^{-1})^*(\tilde{g}^*)^*) \\ &= (\tilde{g}^*(g^*)^{-1})(g^{-1}\tilde{g}) = (\tilde{g}^{-1}\tilde{g})(\tilde{g}^*(g^*)^{-1})(g^{-1}\tilde{g}) \\ &= \tilde{g}^{-1}(\tilde{g}\tilde{g}^*(g^*)^{-1})(g^{-1}\tilde{g}) = \tilde{g}^{-1}g(g^{-1}\tilde{g}) \\ &= \tilde{g}^{-1}(gg^{-1})\tilde{g} = \tilde{g}^{-1}\tilde{g} = Id. \end{aligned}$$

Daí, $g = \tilde{g}g_0$.

Mais ainda, como g e \tilde{g} são holomorfas, temos

$$(g_0)_z = (\tilde{g}^*(g^*)^{-1})_z = (\tilde{g}^*)_z(g^*)^{-1} + \tilde{g}^*((g^*)^{-1})_z = \tilde{g}^*((g^{-1})^*)_z = 0.$$

Assim, g é única a menos de multiplicação pela direita por uma constante $g_0 \in SU(2)$.

Inversamente, seja M uma superfície de Riemann e $g : M \rightarrow SL(2, \mathbb{C})$ a imersão holomorfa, tal que

$$g^{-1}dg = \begin{pmatrix} 0 & f \\ 1 & 0 \end{pmatrix} \omega$$

e

$$|f| < 1,$$

onde $\omega = \frac{1}{2}dz$.

Se $g = \begin{pmatrix} C & X \\ D & Y \end{pmatrix}$ então, $X = 2C_z$ e $Y = 2D_z$.

De fato,

$$g^{-1}dg = \begin{pmatrix} Y & -X \\ -D & C \end{pmatrix} \begin{pmatrix} dC & dX \\ dD & dY \end{pmatrix},$$

como C , D , X e Y são holomorfas, temos

$$\begin{pmatrix} 0 & f \\ 1 & 0 \end{pmatrix} \omega = \begin{pmatrix} Y & -X \\ -D & C \end{pmatrix} \begin{pmatrix} C_z & X_z \\ D_z & Y_z \end{pmatrix} dz.$$

Assim,

$$\begin{aligned} YC_z - XD_z &= 0 \\ -C_zD + D_zC &= \frac{1}{2} \\ YX_z - XY_z &= \frac{1}{2}f \\ -DX_z + CY_z &= 0 \end{aligned}$$

Multiplicando $-C_z D + D_z C = \frac{1}{2}$ por X , obtemos

$$-XDC_z + XCD_z = X\frac{1}{2}$$

e como $YC_z = XD_z$ logo,

$$-XDC_z + CYC_z = X\frac{1}{2},$$

$$C_z(-XD + CY) = X\frac{1}{2},$$

$$C_z \det(g) = X\frac{1}{2}.$$

Como o $\det(g) = 1$, temos $X = 2C_z$.

Analogamente, multiplicando $-C_z D + D_z C = \frac{1}{2}$ por Y , usando a igualdade $YC_z = XD_z$ e o fato que $\det(g) = 1$, obtemos $Y = 2D_z$.

Assim,

$$g = \begin{pmatrix} C & 2C_z \\ D & 2D_z \end{pmatrix},$$

daí, a imersão é

$$\Psi = gg^* = \begin{pmatrix} C\bar{C} + 4C_z C_z & C\bar{D} + 4C_z \bar{D}_z \\ \bar{C}D + 4C_z D_z & D\bar{D} + 4D_z \bar{D}_z \end{pmatrix},$$

e um vetor normal para a imersão é

$$\eta = gvg^* = \begin{pmatrix} -C\bar{C} + 4C_z C_z & -C\bar{D} + 4C_z \bar{D}_z \\ -\bar{C}D + 4C_z D_z & -D\bar{D} + 4D_z \bar{D}_z \end{pmatrix}$$

onde, $v = \begin{pmatrix} -1 & 0 \\ 0 & 1 \end{pmatrix}$.

Com isto, obtemos a primeira forma dada por

$$ds^2 = \langle d\Psi, d\Psi \rangle = -\det(d\Psi)$$

ou seja,

$$ds^2 = f\omega^2 + \bar{f}\bar{\omega}^2 + (1 + |f|^2) |\omega|^2.$$

E a segunda forma é dada por,

$$d\sigma^2 = -\langle d\eta, d\Psi \rangle = \frac{1}{2} [\det(d\eta) + \det(d\Psi) - \det(d\eta - d\Psi)].$$

Observando que:

$$\begin{aligned}
d\eta &= dg(vg^*) + gv(dg^*) \\
&= (gg^{-1})dg(vg^*) + gv(dg^*)((g^*)^{-1}g^*) \\
&= g(g^{-1}dgv + (g^{-1}dg)^*)g^* \\
&= g \left[\begin{pmatrix} 0 & f\omega \\ \omega & 0 \end{pmatrix} \begin{pmatrix} -1 & 0 \\ 0 & 1 \end{pmatrix} + \begin{pmatrix} -1 & 0 \\ 0 & 1 \end{pmatrix} \begin{pmatrix} 0 & \bar{\omega} \\ \bar{f}\bar{\omega} & 0 \end{pmatrix} \right] g^*
\end{aligned}$$

obtemos,

$$\det(d\eta) = \det \begin{pmatrix} 0 & f\omega - \bar{\omega} \\ -\omega + \bar{f}\bar{\omega} & 0 \end{pmatrix} = f\omega^2 - |f|^2 |\omega|^2 - |\omega|^2 + \bar{f}\bar{\omega}^2$$

e

$$\det(d\eta - d\Psi) = \det \left[\begin{pmatrix} 0 & f\omega - \bar{\omega} \\ -\omega + \bar{f}\bar{\omega} & 0 \end{pmatrix} - \begin{pmatrix} 0 & f\omega + \bar{\omega} \\ \omega + \bar{f}\bar{\omega} & 0 \end{pmatrix} \right] = -4|\omega|^2.$$

Assim,

$$\begin{aligned}
d\sigma^2 &= \frac{1}{2} [f\omega^2 - |f|^2 |\omega|^2 - |\omega|^2 + \bar{f}\bar{\omega}^2 + (-f\omega^2 - \bar{f}\bar{\omega}^2 - (1 + |f|^2) |\omega|^2) - (-4|\omega|^2)] \\
&= \frac{1}{2} (2|\omega|^2 - 2|f|^2 |\omega|^2) \\
&= (1 - |f|^2) |\omega|^2.
\end{aligned}$$

A métrica ds^2 é plana, pois como $\omega = \frac{1}{2}(du + idv)$, temos

$$ds^2 = \frac{f + \bar{f} + 1 + |f|^2}{4} du^2 + \frac{fi - \bar{f}i}{4} 2dudv + \frac{(-f - \bar{f} + (1 + |f|^2))}{4} dv^2$$

e

$$d\sigma^2 = \frac{(1 - |f|^2)}{4} (du^2 + dv^2)$$

Obtendo a curvatura extrínseca, K_{ext} , igual à

$$\begin{aligned}
K_{ext} &= \frac{(f + \bar{f} + 1 + |f|^2)(-f - \bar{f} + 1 + |f|^2) - (fi - \bar{f}i)^2}{(1 - |f|^2)(1 - |f|^2)} \\
&= \frac{-(f + \bar{f})^2 + (1 + |f|^2)^2 + (f - \bar{f})^2}{(1 - |f|^2)^2} \\
&= \frac{-4|f|^2 + (1 + |f|^2)^2}{(1 - |f|^2)^2} \\
&= \frac{-4|f|^2 + 1 + 2|f|^2 + |f|^4}{(1 - |f|^2)^2} = 1
\end{aligned}$$

■

Definição 3.1. O par (f, ω) no teorema 3.1 será chamado dados de Weierstrass associado a representação conforme da imersão plana.

Proposição 3.1. Se considerarmos os dados de Weierstrass (f, ω) e a imersão holomorfa g escrita arbitrariamente no parametro complexo ξ como $(f(\xi), h(\xi)d\xi)$, com $h(\xi) \neq 0$, e

$$g = \begin{pmatrix} C & E \\ D & F \end{pmatrix},$$

então C e D são funções soluções linearmente independentes da equação diferencial ordinária

$$X_{\xi\xi} - \frac{h_\xi}{h}X_\xi - fh^2X = 0 \quad (3.3)$$

e

$$E = \frac{1}{h}C_\xi, \quad F = \frac{1}{h}D_\xi.$$

Inversamente, se C e D são soluções linearmente independentes da equação (3.3) tal que

$$\frac{1}{h}(CD_\xi - DC_\xi) = 1, \quad (3.4)$$

então

$$g = \begin{pmatrix} C & \frac{1}{h}C_\xi \\ D & \frac{1}{h}D_\xi \end{pmatrix}$$

determina a imersão plana com dados de Weierstrass $(f(\xi), h(\xi)d\xi)$.

Mais ainda, se A e B são outras soluções de (3.3) sob as mesmas condições anteriores então a imersão plana associada com A e B é, a menos de isometria, a imersão associada com C e D .

Demonstração. (\Rightarrow) Do teorema 3.1, temos

$$g^{-1}dg = \begin{pmatrix} 0 & f(\xi) \\ 1 & 0 \end{pmatrix} h(\xi)d\xi$$

donde,

$$\begin{pmatrix} F & -E \\ -D & C \end{pmatrix} \begin{pmatrix} dC & dE \\ dD & dF \end{pmatrix} = \begin{pmatrix} 0 & f(\xi)h(\xi) \\ h(\xi) & 0 \end{pmatrix} d\xi.$$

Como C, D, E e F são holomorfas, temos

$$\begin{pmatrix} F & -E \\ -D & C \end{pmatrix} \begin{pmatrix} C_\xi & E_\xi \\ D_\xi & F_\xi \end{pmatrix} d\xi = \begin{pmatrix} 0 & f(\xi)h(\xi) \\ h(\xi) & 0 \end{pmatrix} d\xi.$$

Assim,

$$FC_\xi - ED_\xi = 0, \quad FE_\xi - EF_\xi = fh, \quad (3.5)$$

$$-C_\xi D + CD_\xi = h, \quad -DE_\xi + CF_\xi = 0. \quad (3.6)$$

Daí, multiplicando a primeira das equações (3.6) por E , temos

$$-EDC_\xi + ECD_\xi = Eh,$$

e, devido a primeira das equações (3.5), temos $FC_\xi = ED_\xi$ logo,

$$\begin{aligned} -EDC_\xi + CFC_\xi &= Eh, \\ C_\xi(-ED + CF) &= Eh. \end{aligned}$$

Portanto,

$$E = \frac{1}{h}C_\xi.$$

Analogamente, usando a primeira das equações (3.6) multiplicada por F e depois a primeira das equações (3.5), obtemos

$$F = \frac{1}{h}D_\xi.$$

Usando as equações (3.5) e (3.6), observamos que

$$\begin{aligned} fh^2 &= fhh = h[FE_\xi - EF_\xi] \\ &= h \left[\frac{1}{h}D_\xi \left(\frac{C_{\xi\xi}h - C_\xi h_\xi}{h^2} \right) - \frac{1}{h}C_\xi \left(\frac{D_{\xi\xi}h - h_\xi D_\xi}{h^2} \right) \right] \\ &= \frac{1}{h^2} (D_\xi C_{\xi\xi}h - C_\xi h_\xi D_\xi - C_\xi D_{\xi\xi}h + h_\xi D_\xi C_\xi) \\ &= \frac{D_\xi C_{\xi\xi} - C_\xi D_{\xi\xi}}{h} \end{aligned}$$

e

$$h_\xi = -D_\xi C_\xi - DC_{\xi\xi} + C_\xi D_\xi + CD_{\xi\xi} = CD_{\xi\xi} - DC_{\xi\xi}.$$

Assim, da primeira das equações (3.6) e das equações acima, temos

$$\begin{aligned} fh^2C + \frac{h_\xi}{h}C_\xi &= C \frac{D_\xi C_{\xi\xi} - C_\xi D_{\xi\xi}}{h} + C_\xi \frac{CD_{\xi\xi} - DC_{\xi\xi}}{h} \\ &= \frac{1}{h} [C_{\xi\xi}(CD_\xi - C_\xi D) + D_{\xi\xi}(-CC_\xi + C_\xi C)] \\ &= C_{\xi\xi} \left(\frac{CD_\xi - C_\xi D}{h} \right) = C_{\xi\xi} \end{aligned}$$

e concluímos que C é uma solução da equação (3.3).

Analogamente, podemos provar que D é uma solução da equação (3.3).

Como $1 = \det(g) = \det \begin{pmatrix} C & E \\ D & F \end{pmatrix} = CF - ED = \frac{1}{h}(CD\xi - DC\xi)$, temos

$\det \begin{pmatrix} C & D \\ C_\xi & D_\xi \end{pmatrix} = CD_\xi - DC_\xi = h \neq 0$, ou seja, o determinante Wronskiano de C e D não se anula e assim C e D são soluções L.I. da equação (3.3).

(\Leftarrow) Suponha C e D são soluções L.I. da equação (3.3) tal que a equação (3.4) é satisfeita.

Assim,

$$\det \begin{pmatrix} C & \frac{1}{h}C_\xi \\ D & \frac{1}{h}D_\xi \end{pmatrix} = \frac{1}{h}(CD_\xi - DC_\xi) = 1.$$

Logo, g definida por

$$g = \begin{pmatrix} C & \frac{1}{h}C_\xi \\ D & \frac{1}{h}D_\xi \end{pmatrix}$$

pertence a $SL(2, \mathbb{C})$.

Daí,

$$g^{-1} = \begin{pmatrix} \frac{1}{h}D_\xi & -\frac{1}{h}C_\xi \\ -D & C \end{pmatrix}$$

e

$$dg = \begin{pmatrix} C_\xi & \frac{1}{h^2}(C_{\xi\xi}h - h_\xi C_\xi) \\ D_\xi & \frac{1}{h^2}(D_{\xi\xi}h - h_\xi D_\xi) \end{pmatrix} d\xi.$$

Multiplicando g^{-1} por dg , obtemos

$$g^{-1}dg = \begin{pmatrix} 0 & \frac{1}{h^3}(D_\xi C_{\xi\xi}h - h_\xi C_\xi D_\xi - C_\xi D_{\xi\xi}h + h_\xi C_\xi D_\xi) \\ -DC_\xi + CD_\xi & \frac{-DC_{\xi\xi}h + Dh_\xi C_\xi + CD_{\xi\xi}h - Ch_\xi D_\xi}{h^2} \end{pmatrix} d\xi \quad (3.7)$$

Usando novamente que C e D são soluções de (3.3), obtemos

$$D_\xi(C_{\xi\xi} - \frac{h_\xi}{h}C_\xi - fh^2C) - C_\xi(D_{\xi\xi} - \frac{h_\xi}{h}D_\xi - fh^2D) = 0,$$

devido a equação acima e a equação (3.4), temos

$$D_\xi C_{\xi\xi} - C_\xi D_{\xi\xi} = fh^2(CD_\xi - DC_\xi) = fh^3. \quad (3.8)$$

Usando que C e D são soluções de (3.3), obtemos

$$D(C_{\xi\xi} - \frac{h_\xi}{h}C_\xi - fh^2C) - C(D_{\xi\xi} - \frac{h_\xi}{h}D_\xi - fh^2D) = 0,$$

devido a equação acima e a equação (3.4), temos

$$-DC_{\xi\xi} + CD_{\xi\xi} = \frac{h_\xi}{h}(DC_\xi - CD_\xi) = h_\xi. \quad (3.9)$$

Finalmente, a partir das equações (3.4), (3.7), (3.8) e (3.9), concluímos que

$$g^{-1}dg = \begin{pmatrix} 0 & fh \\ fh & 0 \end{pmatrix} d\xi$$

e pelo Teorema da Representação conforme, teorema 3.1, g determina uma imersão plana com representação de Weierstrass $(f(\xi), h(\xi)d\xi)$.

Se A e B são outras soluções de (3.3) sob as mesmas condições, então A e B podem ser escritos como combinação linear das soluções C e D . Assim,

$$A = a_1C + b_1D$$

$$B = b_1C + b_2D$$

onde, a_i e b_i são constantes.

Seja \tilde{g} a imersão associada a A e B , então

$$\tilde{g} = \begin{pmatrix} A & \frac{1}{h}A_\xi \\ B & \frac{1}{h}B_\xi \end{pmatrix} = \begin{pmatrix} a_1 & a_2 \\ b_1 & b_2 \end{pmatrix} \begin{pmatrix} C & \frac{1}{h}C_\xi \\ D & \frac{1}{h}D_\xi \end{pmatrix} = mg,$$

onde, $m = \begin{pmatrix} a_1 & a_2 \\ b_1 & b_2 \end{pmatrix}$.

Como \tilde{g} e $g \in SL(2, \mathbb{C})$, temos que $m \in SL(2, \mathbb{C})$. E a imersão associada a A e B satisfaz

$$\Psi_{\tilde{g}} = \tilde{g}\tilde{g}^* = mg(mg)^* = mgg^*m^* = m\Psi_gm^*,$$

onde Ψ_g é a imersão associada a C e D .

Portanto, $\Psi_{\tilde{g}}$ é isométrico a Ψ_g . ■

Teorema 3.2. *Sejam N uma superfície orientada e conexa e $\varphi : N \rightarrow \mathbb{H}^3$ uma imersão tal que sua segunda forma fundamental é definida positiva para uma escolha do campo de vetores unitário e normal η . Se em N considerarmos a estrutura conforme induzida pela segunda forma fundamental, então a imersão $[\varphi - \eta] : N \rightarrow \mathbb{S}_\infty^2$ é conforme se e somente se ou a métrica induzida por φ em N é plana ou φ é totalmente umbílica.*

Demonstração. Seja $p \in N$. Como a segunda forma fundamental é auto-adjunta, existe uma base $\{E_1, E_2\}$ ortogonal e suave em uma vizinhança de p que diagonaliza a métrica σ associada a segunda forma fundamental em p , isto é,

$$\sigma(E_i, E_j) = h_{ij}\delta_{ij}, \quad i, j \in \{1, 2\}.$$

Observamos que, $[\varphi - \eta]$ é uma aplicação conforme se e somente se

$$\sigma = -\langle d\eta, d\varphi \rangle = \lambda \langle d(\varphi - \eta), d(\varphi - \eta) \rangle = \lambda [\langle d\varphi, d\varphi \rangle - 2\langle d\varphi, d\eta \rangle + \langle d\eta, d\eta \rangle]$$

aplicando esta formula em (E_i, E_j) , temos

$$\sigma(E_i, E_j) = \delta_{ij}h_{ij} = \lambda [\delta_{ij} + 2\delta_{ij}h_{ij} + h_{ij}^2\delta_{ij}],$$

ou seja,

$$h_{11} = \lambda(1 + h_{11})^2$$

e

$$h_{22} = \lambda(1 + h_{22})^2$$

donde,

$$\frac{(1 + h_{11})^2}{h_{11}} = \frac{1}{\lambda} = \frac{(1 + h_{22})^2}{h_{22}}$$

assim,

$$h_{22}(1 + h_{11})^2 = h_{11}(1 + h_{22})^2$$

$$h_{22}(1 + 2h_{11} + h_{11}^2) = h_{11}(1 + 2h_{22} + h_{22}^2)$$

daí,

$$h_{22}(1 - h_{11}h_{22}) = h_{11}(1 - h_{11}h_{22})$$

obtendo,

$$(h_{22} - h_{11})(1 - h_{11}h_{22}) = 0.$$

Seja $K_{ext}(p) = h_{11}h_{22}(p)$ a curvatura extrínseca de $p \in N$. Então o conjunto $N' = \{p \in N / K_{ext}(p) \neq 1\}$ é um conjunto aberto. De fato, se $K_{ext}(p) \neq 1$ então por continuidade existe uma vizinhança V de p tal que $K_{ext}(q) \neq 1 \forall q \in V$. Observe que $\varphi|_{N'}$ é totalmente umbílica, de modo que K_{ext} é constante em cada componente conexa de N' , ver [15], e assim N' é fechado. Então como N é conexa φ é totalmente umbílica se N' é não vazio ou uma imersão plana se N' é vazio. ■

Definição 3.2. As imersões $G^+ = [\Psi + \eta] : M \rightarrow \mathbb{S}_\infty^2$ e $G^- = [\Psi - \eta] : M \rightarrow \mathbb{S}_\infty^2$ serão chamadas aplicações de Gauss hiperbólicas.

Cada ponto de \mathbb{H}^3 determina uma única reta $[p]$ passando por p e a origem de \mathbb{L}^4 localizada dentro do cone de luz \mathbb{N}^3 . Inversamente cada uma das retas passando pela origem e dentro do cone de luz determina um único ponto em \mathbb{H}^3 .

Considere a geodésica γ saindo do ponto $\Psi(p)$ e na direção da normal $\eta(p)$. Temos que sua parametrização é

$$\gamma(s) = \cosh(s)\Psi(p) - \sinh(s)\eta(p),$$

ver [6] p. 162.

Cada $\gamma(s)$ determina uma reta $[\gamma(s)]$. Claramente as retas $[\gamma(s)]$ e $[2e^{-s}\gamma(s)]$ são iguais. Fazendo $s \rightarrow \infty$ na reta $[\gamma(s)]$, temos

$$\lim_{s \rightarrow \infty} [\gamma(s)] = \lim_{s \rightarrow \infty} [2e^{-s}\gamma(s)] = \lim_{s \rightarrow \infty} [(1 + e^{-2s})\Psi(p) - (1 - e^{-2s})\eta(p)] = [(\Psi - \eta)(p)].$$

Analogamente fazendo $s \rightarrow -\infty$ em $[\gamma(s)]$, obtemos

$$\lim_{s \rightarrow -\infty} [2e^s\gamma(s)] = [(\Psi + \eta)(p)].$$

Portanto, em cada ponto p de M a geodésica passando pelo ponto $\Psi(p)$ e na direção da normal $\eta(p)$ intercepta a fronteira ideal \mathbb{S}_∞^2 de \mathbb{H}^3 em $G^+(p)$ e $G^-(p)$.

Se $\Psi : M \rightarrow \mathbb{H}^3$ é uma imersão plana então, usando o Lema 2.4, temos

$$\Psi - \eta = 2 \begin{pmatrix} C\bar{C} & C\bar{D} \\ \bar{C}D & D\bar{D} \end{pmatrix}$$

donde, $[\Psi - \eta] \in \mathbb{S}_\infty^2$ pode ser representado por $[(C, D)] \in C\mathbb{P}^1$.

Lema 3.1. Se $\Psi : M \rightarrow \mathbb{H}^3$ é uma imersão plana e identificarmos \mathbb{S}_∞^2 e $\mathbb{C} \cup \infty$ com a estrutura conforme canônica, então podemos escrever

$$G^- = \frac{C}{D} \quad e \quad G^+ = \frac{dC}{dD},$$

onde $[(C, D)]$ é a representação de $[\Psi - \eta] \in \mathbb{S}_\infty^2$ em $C\mathbb{P}^1$.

Demonstração. Cada elemento do \mathbb{R}^4 será escrito da forma $w = a + ib + jx + ky$ ao invés de $w = (a, b, x, y)$ onde $1, i, j$ e k são as unidades dos quatérnios. Sejam S^3 a esfera

unitária de \mathbb{R}^4 e S^2 a esfera unitária de $\mathbb{R}^3 \subset \mathbb{R}^4$, onde \mathbb{R}^3 é o conjunto dos quatérnios imaginários puros. Considere a fibração de Hopf, ver [11] p. 87, dada por:

$$\begin{aligned} h : S^3 &\rightarrow S^2 \\ u &\mapsto u^{-1}iu \end{aligned}$$

Agora considerando $(C, D) \in \mathbb{C}^2 \cong \mathbb{R}^4$, onde $[(C, D)] \in C\mathbb{P}^1 \cong \mathbb{S}_{\infty}^2$, temos

$$\frac{(C, D)}{|(C, D)|} = \left(\frac{C}{|(C, D)|}, \frac{D}{|(C, D)|} \right) = (E, F) = (a + ib, x + iy) = a + ib + jx + kj \quad (3.10)$$

pertence a S^3 .

Aplicando a fibração de Hopf a (E, F) e como $(E, F)^{-1} = \frac{\overline{(E, F)}}{|(E, F)|^2}$, ver [11] p. 85, temos

$$\begin{aligned} h(E, F) &= \overline{(E, F)}i(E, F) \\ &= (a - ib - jx - yk)i(a + ib + jx + ky) = (ia + b + kx - jy)(a + ib + jx + ky) \\ &= i(a^2 + b^2 - x^2 - y^2) + j(-2ay + 2bx) + k(2ax + 2by) \end{aligned}$$

Fazendo a projeção estereográfica de S^2 no plano kj ,

$$\pi(iY_1 + jY_2 + kY_3) = \frac{(Y_3, Y_2)}{1 - Y_1}$$

Assim, $\pi(h(E, F)) = \frac{(2(ax + by), 2(bx - ay))}{1 - (a^2 + b^2 - x^2 - y^2)}$ e como $a^2 + b^2 + x^2 + y^2 = 1$, obtemos

$$\pi(h(E, F)) = \frac{(ax + by, bx - ay)}{x^2 + y^2} \cong \frac{ax + by + i(bx - ay)}{x^2 + y^2} = \frac{a + ib}{x + iy} \frac{x - iy}{x - iy} = \frac{E}{F}.$$

Portanto da equação (3.10), temos

$$\pi \circ h([(C, D)]) = \pi(h(E, F)) = \frac{E}{F} = \frac{C}{D}.$$

Analogamente, obtemos do Lema 2.4, que

$$[\Psi + \eta] \cong [(C_z, D_z)],$$

usando a fibração de Hopf e depois a projeção estereográfica, temos

$$\pi \circ h([(C_z, D_z)]) = \frac{C_z}{D_z} = \frac{dC}{dD}$$

e então podemos escrever

$$G^- = \frac{C}{D} \quad \text{e} \quad G^+ = \frac{dC}{dD}.$$

■

3.2 Exemplos e Aplicação

Daremos agora dois exemplos para a o teorema de representação conforme apresentado neste trabalho e depois fazemos uma nova demonstração para o teorema sobre caracterização de superfícies completas em \mathbb{H}^3 . Primeiro vamos fazer algumas observações.

Considerando o modelo do semi-espaço para \mathbb{H}^3 , podemos escrever uma superfície de revolução no espaço hiperbólico como

$$\Psi(r, \theta) = (y_1(r)\cos(\theta), y_1(r)\sen(\theta), y_3(r)),$$

com $y_1(r) > 0$, escolhemos o parametro r como o comprimento de arco da curva geratriz $(y_1(r), 0, y_3(r))$ em \mathbb{R}_+^3 .

Proposição 3.2. *Uma superfície de revolução $\Psi : M \rightarrow \mathbb{H}^3$ é uma imersão plana se e somente se $y_1(r) = y_3(r)(ar+b)$, onde a e b são não simultaneamente nulos e $(y_1(r), 0, y_3(r))$ é a curva geratriz da imersão parametrizada pelo comprimento de arco r .*

Demonstração. Observamos que basta mostrar que

$$\left(\frac{y_1(r)}{y_3(r)}\right)'' = 0 \Leftrightarrow K_{ext} = 1, \text{ onde } ' \text{ significa a derivada em relação à } r.$$

Vamos agora calcular a curvatura extrínseca

$$K_{ext} = \frac{h_{11}h_{22} - h_{12}^2}{H_{11}H_{22} - H_{12}^2},$$

onde H_{ij} e h_{ij} são os coeficientes da primeira e segunda formas fundamentais hiperbólicas respectivamente da imersão Ψ nas coordenadas r e θ .

Observando que:

$$\begin{aligned} H_{ij} &= \frac{G_{ij}}{Y_3^2}, \\ h_{ij} &= \frac{g_{ij}}{Y_3} + n_3 H_{ij}, \end{aligned} \tag{3.11}$$

onde Y_3 é a terceira coordenada da imersão, G_{ij} e g_{ij} são as primeira e segunda formas fundamentais euclidianas, respectivamente da imersão nas coordenadas r e θ e n_3 é a terceira coordenada da normal euclidiana de Ψ .

Para não carregar a notação, vamos daqui em diante omitir a variável r . Agora vamos calcular os coeficientes G_{ij} e g_{ij} , para isto necessitamos das equações abaixo,

$$\begin{cases} \Psi_r = (y'_1 \cos(\theta), y'_1 \sin(\theta), y'_3), & \Psi_{rr} = (y''_1 \cos(\theta), y''_1 \sin(\theta), y''_3), \\ \Psi_\theta = (-y_1 \sin(\theta), y_1 \cos(\theta), 0), & \Psi_{\theta\theta} = (-y_1 \cos(\theta), -y_1 \sin(\theta), 0), \\ \Psi_{r\theta} = (-y'_1 \sin(\theta), y'_1 \cos(\theta), 0). \end{cases} \quad (3.12)$$

Assim, como a curva geratriz, $(y_1, 0, y_3)$, é parametrizada pelo comprimento de arco, temos

$$1 = \langle (y'_1, 0, y'_3), (y'_1, 0, y'_3) \rangle = \frac{(y'_1)^2 + (y'_3)^2}{y_3^2}$$

logo,

$$y_3^2 = (y'_1)^2 + (y'_3)^2. \quad (3.13)$$

Derivando a equação (3.13), obtemos

$$y'_3 y_3 = y''_3 y'_3 + y''_1 y'_1. \quad (3.14)$$

Devido as equações (3.12) e (3.13), obtemos a normal euclidiana igual à

$$\begin{aligned} N &= \frac{\Psi_r \wedge \Psi_\theta}{\|\Psi_r \wedge \Psi_\theta\|_{\mathbb{R}^3}} = \frac{(-y'_3 y_1 \cos(\theta), -y'_3 y_1 \sin(\theta), y'_1 y_1)}{\sqrt{((y'_3)^2 + (y'_1)^2) y_1^2}} \\ &= \frac{(-y'_3 \cos(\theta), -y'_3 \sin(\theta), y'_1)}{y_3} \end{aligned} \quad (3.15)$$

Usando as equações (3.12), (3.13) e (3.15), obtemos a primeira e segunda formas fundamentais euclidianas dadas por

$$G_{11} = \langle \Psi_r, \Psi_r \rangle_{\mathbb{R}^3} = (y'_1)^2 + (y'_3)^2 = y_3^2,$$

$$G_{22} = \langle \Psi_\theta, \Psi_\theta \rangle_{\mathbb{R}^3} = y_1^2,$$

$$G_{12} = \langle \Psi_r, \Psi_\theta \rangle_{\mathbb{R}^3} = -y_1 y'_1 \cos(\theta) \sin(\theta) + y_1 y'_1 \cos(\theta) \sin(\theta) = 0,$$

$$\begin{cases} g_{11} = \langle N, \Psi_{rr} \rangle_{\mathbb{R}^3} = \frac{-y'_3 y''_1 + y''_3 y'_1}{y_3}, \\ g_{22} = \langle N, \Psi_{\theta\theta} \rangle_{\mathbb{R}^3} = \frac{y'_3 y_1}{y_3}, \\ g_{12} = \langle N, \Psi_{r\theta} \rangle_{\mathbb{R}^3} = \frac{y'_3 y'_1 \cos(\theta) \sin(\theta) - y'_3 y'_1 \cos(\theta) \sin(\theta)}{y_3} = 0. \end{cases} \quad (3.16)$$

Portanto, os coeficientes da primeira e segunda formas fundamentais hiperbólicas são

$$H_{11} = 1, \quad H_{22} = \frac{y_1^2}{y_3^2}, \quad H_{12} = 0, \quad (3.17)$$

$$h_{11} = \frac{-y_3' y_1'' + y_3'' y_1'}{y_3^2} + \frac{y_1'}{y_3},$$

$$h_{22} = \frac{y_3' y_1}{y_3^2} + \frac{y_1' y_1^2}{y_3 y_3^2},$$

$$h_{12} = 0 + 0 = 0.$$

Donde,

$$\begin{aligned} K_{ext} &= h_{11} \frac{h_{22}}{H_{22}} = \left(\frac{y_3'' y_1' - y_3' y_1''}{y_3^2} + \frac{y_1'}{y_3} \right) \left(\frac{y_3' y_1}{y_3^2} + \frac{y_1' y_1^2}{y_3 y_3^2} \right) \frac{y_3^2}{y_1^2} \\ &= \left(\frac{y_3'' y_1' - y_3' y_1''}{y_3^2} + \frac{y_1'}{y_3} \right) \left(\frac{y_3'}{y_1} + \frac{y_1'}{y_3} \right). \end{aligned}$$

Assim, a equação $K_{ext} = 1$ é equivalente a equação

$$\begin{aligned} 1 &= \left(\frac{y_3'' y_1' - y_3' y_1''}{y_3^2} + \frac{y_1'}{y_3} \right) \left(\frac{y_3' y_3 + y_1' y_1}{y_3 y_1} \right) \\ &= \frac{y_3'' y_3' y_3 y_1' + y_3'' (y_1')^2 y_1 - (y_3')^2 y_3 y_1'' - y_3' y_1'' y_1' y_1 + y_3' y_3^2 y_1' + y_3 (y_1')^2 y_1}{y_3^3 y_1} \end{aligned}$$

ou melhor,

$$y_3^3 y_1 = y_3'' y_3' y_3 y_1' + y_3'' (y_1')^2 y_1 - (y_3')^2 y_3 y_1'' - y_3' y_1'' y_1' y_1 + y_3' y_3^2 y_1' + y_3 (y_1')^2 y_1$$

utilizando a equação (3.13), temos

$$((y_3')^2 + (y_1')^2) y_3 y_1 = y_3'' y_3' y_3 y_1' + y_3'' (y_1')^2 y_1 - (y_3')^2 y_3 y_1'' - y_3' y_1'' y_1' y_1 + y_3' y_3^2 y_1' + y_3 (y_1')^2 y_1$$

simplificando o fator $y_3 (y_1')^2 y_1$, obtemos

$$(y_3')^2 y_3 y_1 = y_3'' y_3' y_3 y_1' + y_3'' (y_1')^2 y_1 - (y_3')^2 y_3 y_1'' - y_3' y_1'' y_1' y_1 + y_3' y_3^2 y_1'$$

usando a equação (3.14), temos

$$(y_3'' y_3' + y_1'' y_1') y_3 y_1 = y_3'' y_3' y_3 y_1' + y_3'' (y_1')^2 y_1 - (y_3')^2 y_3 y_1'' - y_3' y_1'' y_1' y_1 + (y_3'' y_3' + y_1'' y_1') y_3 y_1'$$

simplificando novamente, obtemos

$$y_3''y_1(-(y_3')^2 + (y_1')^2) + y_3y_1''(-(y_3')^2 + (y_1')^2) + 2y_3'y_1'(y_3''y_3 - y_1''y_1) = 0$$

multiplicando por -1, temos

$$y_3''y_1((y_3')^2 - (y_1')^2) + y_3y_1''((y_3')^2 - (y_1')^2) - 2y_3'y_1'(y_3''y_3 - y_1''y_1) = 0. \quad (3.18)$$

Por outro lado,

$$0 = \left(\frac{y_1}{y_3}\right)'' = \left(\frac{y_1'y_3 - y_3'y_1}{y_3^2}\right)' = \frac{(y_1''y_3 + y_1'y_3' - y_3''y_1 - y_3'y_1')y_3^2 - 2y_3y_3'(y_1'y_3 - y_3'y_1)}{y_3^4}$$

donde, obtemos a equação

$$0 = (y_1''y_3 - y_3''y_1)y_3^2 - 2y_3y_3'(y_1'y_3 - y_3'y_1)$$

utilizando a equação (3.13), temos

$$0 = (y_1''y_3 - y_3''y_1)((y_3')^2 + (y_1')^2) - 2y_3y_3'(y_1'y_3 - y_3'y_1)$$

devido a equação (3.14), obtemos

$$0 = (y_1''y_3 - y_3''y_1)((y_3')^2 + (y_1')^2) - 2(y_3''y_3' + y_1''y_1')(y_1'y_3 - y_3'y_1)$$

simplificando, concluimos que

$$0 = y_3y_1''((y_3')^2 - (y_1')^2) + y_3''y_1((y_3')^2 - (y_1')^2) - 2y_3'y_1'(y_3''y_3 - y_1''y_1)$$

e comparando a equação acima com a equação (3.18), obtemos a demonstração da proposição. \blacksquare

Exemplo 3.1. Usando o teorema 3.1, vamos classificar as superfícies planas de revolução. Observe que podemos classificar estas superfícies utilizando apenas a equação (3.13) e a proposição 3.2.

Distinguiremos as superfícies de revolução em dois casos, o primeiro é quando $a = 0$ e o outro é quando $a \neq 0$, onde a é obtido a partir da proposição 3.2.

i) Se $a = 0$ então $r + ib\theta$ é um parametro isotérmico para a métrica induzida em Ψ . De fato, fazendo $\xi = b\theta$, temos

$$\Psi = \Psi(r, \xi) = \left(y_1(r)\cos\left(\frac{\xi}{b}\right), y_1(r)\sen\left(\frac{\xi}{b}\right), y_3(r) \right),$$

derivando em relação a r e ξ , obtemos respectivamente

$$\Psi_r = \Psi(r, \xi) = \left(y_1'(r) \cos\left(\frac{\xi}{b}\right), y_1'(r) \operatorname{sen}\left(\frac{\xi}{b}\right), y_3'(r) \right)$$

e

$$\Psi_\xi = \Psi(r, \xi) = \left(-y_1(r) \frac{1}{b} \operatorname{sen}\left(\frac{\xi}{b}\right), y_1(r) \frac{1}{b} \cos\left(\frac{\xi}{b}\right), 0 \right).$$

Utilizando a equação (3.13), temos

$$\langle \Psi_r, \Psi_r \rangle = \frac{(y_1')^2 + (y_3')^2}{y_3^2} = 1,$$

onde $'$ significa a derivada em relação a r , como neste caso $y_1 = y_3 b$, obtemos

$$\langle \Psi_\xi, \Psi_\xi \rangle = \frac{y_1^2}{b^2 y_3^2} = 1$$

e

$$\langle \Psi_r, \Psi_\xi \rangle = -y_1' \cos\left(\frac{\xi}{b}\right) y_1 \frac{1}{b} \operatorname{sen}\left(\frac{\xi}{b}\right) + y_1' \operatorname{sen}\left(\frac{\xi}{b}\right) y_1 \frac{1}{b} \left(\cos\frac{\xi}{b}\right) = 0.$$

Passando $\Psi(r, \xi)$ para a forma em matriz hermitiana, temos

$$\Psi = (Y_1, Y_2, Y_3) = \frac{(x_1, x_2, 1)}{x_0 + x_3}$$

donde,

$$Y_3 = \frac{1}{x_0 + x_3} \Rightarrow y_3 = \frac{1}{x_0 + x_3} \Rightarrow x_0 + x_3 = \frac{1}{y_3}$$

e

$$Y_1 + iY_2 = \frac{x_1 + ix_2}{x_0 + x_3} = y_1 \left(\cos\left(\frac{\xi}{b}\right) + i \operatorname{sen}\left(\frac{\xi}{b}\right) \right).$$

Assim, usando que $y_1 = y_3 b$,

$$x_1 + ix_2 = y_1(x_0 + x_3)(e^{i\xi/b}) = \frac{y_1}{y_3} e^{i\xi/b} = b e^{i\xi/b}.$$

Como $-x_0^2 + x_1^2 + x_2^2 + x_3^2 = -1$, temos

$$(x_0 - x_3)(x_0 + x_3) = x_0^2 - x_3^2 = x_1^2 + x_2^2 + 1$$

portanto,

$$(x_0 - x_3) = \frac{x_1^2 + x_2^2 + 1}{x_0 + x_3} = (b^2 + 1)y_3.$$

Daí,

$$\Psi = \Psi(r, \xi) = \begin{pmatrix} \frac{1}{y_3} & be^{i\xi/b} \\ be^{-i\xi/b} & y_3(b^2 + 1) \end{pmatrix}.$$

Derivando Ψ em relação a r , temos

$$\Psi_r = \begin{pmatrix} -\frac{y'_3}{y_3^2} & 0 \\ 0 & y'_3(b^2 + 1) \end{pmatrix}$$

e agora derivando Ψ_r em relação a r , obtemos

$$\Psi_{rr} = \begin{pmatrix} \frac{-(y_3''y_3^2 - 2y_3y_3'y_3')}{y_3^4} & 0 \\ 0 & y_3''(b^2 + 1) \end{pmatrix}.$$

Utilizando a equação (3.13) e como neste caso $y_1 = y_3b$, obtemos a equação

$$1 = \frac{(y_1')^2 + (y_3')^2}{y_3^2} = \frac{(y_3')^2(b^2 + 1)}{y_3^2} \quad (3.19)$$

derivando a equação (3.19), temos

$$0 = \frac{2y_3'y_3''(b^2 + 1)y_3^2 - 2y_3y_3'(y_3')^2(b^2 + 1)}{y_3^4} = \frac{2(b^2 + 1)}{y_3^4} y_3'(y_3''y_3^2 - y_3(y_3')^2),$$

como $\frac{2(b^2 + 1)}{y_3^4} \neq 0$ devemos ter

$$y_3''y_3^2 - y_3(y_3')^2 = 0 \quad \text{ou} \quad y_3' = 0.$$

Se $y_3' = 0$ então $\Psi_r = \begin{pmatrix} 0 & 0 \\ 0 & 0 \end{pmatrix}$. O que é um absurdo, pois Ψ_r é um vetor da base do plano tangente a Ψ em $\Psi(r, \xi)$. Portanto

$$y_3'' = \frac{(y_3')^2}{y_3}.$$

e usando isto, obtemos

$$\det(\Psi_{rr} - \Psi) = \begin{vmatrix} \frac{-(y_3''y_3^2 - 2y_3(y_3')^2)}{y_3^4} - \frac{1}{y_3} & -be^{i\xi/b} \\ -be^{-i\xi/b} & (y_3'' - y_3)(b^2 + 1) \end{vmatrix}$$

$$\begin{aligned}
 &= \begin{vmatrix} \frac{y_3(y_3')^2}{y_3^4} - \frac{1}{y_3} & -be^{i\xi/b} \\ -be^{-i\xi/b} & \left(\frac{(y_3')^2}{y_3} - y_3\right)(b^2 + 1) \end{vmatrix} \\
 &= \left(\frac{(y_3')^2 - y_3^2}{y_3^3}\right) \left(\frac{(y_3')^2 - y_3^2}{y_3}\right) (b^2 + 1) - b^2 \\
 &= \frac{(y_3')^4 - 2(y_3')^2 y_3^2 + y_3^4}{y_3^4} (b^2 + 1) - b^2.
 \end{aligned}$$

Usando a equação (3.19), temos

$$\frac{(y_3')^2}{y_3^2} = \frac{1}{b^2 + 1}$$

logo,

$$\det(\Psi_{rr} - \Psi) = \left(\frac{1}{(b^2 + 1)^2} - 2\frac{1}{b^2 + 1} + 1\right) (b^2 + 1) - b^2 = \frac{1}{b^2 + 1} - 1 = -\frac{b^2}{b^2 + 1}.$$

Devido ao Lema 2.2 e as equações (2.1), observamos que

$$E^2 = \langle E\eta, E\eta \rangle_{\mathbb{H}^3} = \langle \Psi_{rr} - \Psi, \Psi_{rr} - \Psi \rangle_{\mathbb{H}^3},$$

portanto

$$E^2 = -\det(\Psi_{rr} - \Psi) = \frac{b^2}{b^2 + 1},$$

daí

$$E = \sqrt{\frac{b^2}{b^2 + 1}}.$$

Como $\Psi_{r\xi} = \begin{pmatrix} 0 & 0 \\ 0 & 0 \end{pmatrix}$ e usando o Lema 2.2 e as equações (2.1), obtemos $\Psi_{r\xi} = F\eta$ e assim

$$F = 0.$$

Derivando Ψ em relação a ξ , temos

$$\Psi_\xi = \begin{pmatrix} 0 & ie^{\xi/b} \\ -ie^{-i\xi/b} & 0 \end{pmatrix}$$

e agora derivando Ψ_ξ em relação a ξ , obtemos

$$\Psi_{\xi\xi} = \begin{pmatrix} 0 & -\frac{e^{i\xi/b}}{b} \\ -\frac{e^{-i\xi/b}}{b} & 0 \end{pmatrix}.$$

Utilizando o Lema 2.2 e as equações (2.1), temos

$$G^2 = \langle G\eta, G\eta \rangle_{\mathbb{H}^3} = \langle \Psi_{\xi\xi} - \Psi, \Psi_{\xi\xi} - \Psi \rangle_{\mathbb{H}^3} = -\det(\Psi_{\xi\xi} - \Psi).$$

Calculando agora $\det(\Psi_{\xi\xi} - \Psi)$

$$\begin{aligned} \det(\Psi_{\xi\xi} - \Psi) &= \begin{vmatrix} -\frac{1}{y_3} & -\frac{e^{i\xi/b}}{b} - be^{i\xi/b} \\ -\frac{e^{-i\xi/b}}{b} - be^{-i\xi/b} & -y_3(b^2 + 1) \end{vmatrix} = (b^2 + 1) - \left(-\frac{1}{b} - b\right)^2 \\ &= b^2 + 1 - \left(\frac{1 + b^2}{b}\right)^2 = \frac{b^4 + b^2 - 1 - 2b^2 - b^4}{b^2} \\ &= -\frac{b^2 + 1}{b^2}, \end{aligned}$$

portanto

$$G^2 = \frac{b^2 + 1}{b^2},$$

daí

$$G = \sqrt{\frac{b^2 + 1}{b^2}}.$$

Com esses coeficientes da segunda forma, podemos construir uma função real ϕ definida em M tal que $\phi_{rr} = E$, $\phi_{\xi\xi} = G$ e $\phi_{r\xi} = F$, como visto no Lema 2.2. Usando os valores dos coeficientes da segunda forma obtidos acima, obtemos

$$\phi_r = \left(\sqrt{\frac{b^2}{b^2 + 1}} \right) r + L(\xi),$$

onde L é uma função real dependente somente da variável ξ . Como $0 = \phi_{r\xi} = \frac{dL(\xi)}{d\xi}$, temos $L(\xi)$ é uma constante, e assim

$$\phi_r = \left(\sqrt{\frac{b^2}{b^2 + 1}} \right) r + \text{constante}.$$

Analogamente, obtemos

$$\phi_\xi = \left(\sqrt{\frac{b^2 + 1}{b^2}} \right) \xi + \text{constante}.$$

Escolhendo $\phi_r = \left(\sqrt{\frac{b^2}{b^2+1}} \right) r$ e $\phi_\xi = \left(\sqrt{\frac{b^2+1}{b^2}} \right) \xi$ e aplicando o Lema 2.3, temos

$$z = (1 + \phi_r)r + i(1 + \phi_\xi)\xi = \left(1 + \sqrt{\frac{b^2}{b^2+1}} \right) r + i \left(1 + \sqrt{\frac{b^2+1}{b^2}} \right) b\theta$$

é uma imersão em coordenadas conformes com a estrutura determinada pela segunda forma.

Fazendo a mudança coordenadas $z = k \ln \zeta$, onde $k^2 = 2|b|\sqrt{b^2+1} + 2b^2 + 1$, e usando função f definida por

$$f(z) = \frac{\phi_{\xi\xi} - \phi_{rr} + 2i\phi_{r\xi}}{2 + \phi_{\xi\xi} + \phi_{rr}}$$

como na demonstração do teorema 3.1, obtemos os seguintes dados de Weierstrass associado a imersão

$$f(\zeta) = \frac{1}{k^2} \quad , \quad \omega = \frac{1}{2}dz = \frac{k}{2\zeta}d\zeta,$$

onde $\zeta \in \mathbb{C}^*$.

Pela proposição 3.1, se C e D são soluções L.I. da equação (3.3), que neste caso é

$$X_{\zeta\zeta} - \frac{-k/2\zeta^2}{k/2\zeta}X_\zeta - \frac{1}{k^2} \frac{k^2}{4\zeta^2}X = 0,$$

com $CD_\zeta - DC_\zeta = \frac{k}{2\zeta}$, então

$$g = \begin{pmatrix} C & \frac{2\zeta}{k}C_\zeta \\ D & \frac{2\zeta}{k}D_\zeta \end{pmatrix}.$$

A equação $X_{\zeta\zeta} + \frac{1}{\zeta}X_\zeta - \frac{1}{4\zeta^2}X = 0$ é uma equação de Cauchy-Euler. Podemos escrevê-la na forma

$$\zeta^2 X_{\zeta\zeta} + \zeta X_\zeta - \frac{1}{4}X = 0, \quad (3.20)$$

cuja solução é dada por $X = \zeta^n$ com $n \in \mathbb{R}$. Substituindo $X = \zeta^n$ na equação anterior, obtemos

$$\zeta^2 n(n-1)\zeta^{n-2} + \zeta n\zeta^{n-1} - \frac{1}{4}\zeta^n = 0,$$

logo, a equação característica é

$$n^2 - \frac{1}{4} = 0,$$

cujas soluções são $n = \pm \frac{1}{2}$, e assim uma base para o espaço solução da equação (3.20) é dada por $\{\zeta^{1/2}, \zeta^{-1/2}\}$.

Tome $C = i\sqrt{\frac{k}{2}}\zeta^{1/2}$ e $D = i\sqrt{\frac{k}{2}}\zeta^{-1/2}$ então C e D são soluções L.I. da equação (3.20) com

$$CD_\zeta - DC_\zeta = -\frac{k}{2}\zeta^{1/2}\zeta^{-1/2-1}\left(-\frac{1}{2}\right) - \left(-\frac{k}{2}\right)\zeta^{-1/2}\zeta^{1/2-1}\left(\frac{1}{2}\right) = \frac{k}{4}\zeta^{-1} + \frac{k}{4}\zeta^{-1} = \frac{k}{2\zeta},$$

portanto, pela proposição 3.1

$$g = i\sqrt{\frac{k}{2}} \begin{pmatrix} \zeta^{1/2} & \frac{1}{k}\zeta^{1/2} \\ \zeta^{-1/2} & -\frac{1}{k}\zeta^{-1/2} \end{pmatrix}$$

é uma imersão plana associada aos dados de Weierstrass $\left(\frac{1}{k^2}, \frac{k}{2\zeta}d\zeta\right)$ e a correspondente superfície plana de revolução é, a menos de isometria,

$$\begin{aligned} \Psi &= gg^* = i\sqrt{\frac{k}{2}} \begin{pmatrix} \zeta^{1/2} & \frac{1}{k}\zeta^{1/2} \\ \zeta^{-1/2} & -\frac{1}{k}\zeta^{-1/2} \end{pmatrix} \left(-i\sqrt{\frac{k}{2}}\right) \begin{pmatrix} \overline{\zeta^{1/2}} & \overline{\zeta^{-1/2}} \\ \frac{1}{k}\overline{\zeta^{1/2}} & -\frac{1}{k}\overline{\zeta^{-1/2}} \end{pmatrix} \\ &= \frac{k}{2} \begin{pmatrix} |\zeta| + \frac{1}{k^2}|\zeta| & \zeta^{1/2}\overline{\zeta^{-1/2}} - \frac{1}{k^2}\zeta^{1/2}\overline{\zeta^{-1/2}} \\ \zeta^{-1/2}\overline{\zeta^{1/2}} - \frac{1}{k^2}\zeta^{-1/2}\overline{\zeta^{1/2}} & |\zeta|^{-1} + \frac{1}{k^2}|\zeta|^{-1} \end{pmatrix} \\ &= \frac{k}{2} \begin{pmatrix} |\zeta| \left(1 + \frac{1}{k^2}\right) & \zeta^{1/2}\overline{\zeta^{-1/2}} \left(1 - \frac{1}{k^2}\right) \\ \zeta^{-1/2}\overline{\zeta^{1/2}} \left(1 - \frac{1}{k^2}\right) & |\zeta|^{-1} \left(1 + \frac{1}{k^2}\right) \end{pmatrix} \end{aligned}$$

agora, passando Ψ para o modelo do semi-espaço superior, temos

$$\Psi = \left(\frac{\zeta^{1/2}\overline{\zeta^{-1/2}} \left(1 - \frac{1}{k^2}\right)}{|\zeta| \left(1 + \frac{1}{k^2}\right)}, \frac{2}{k|\zeta| \left(1 + \frac{1}{k^2}\right)} \right),$$

onde a primeira coordenada é a coordenada no plano e a segunda é a altura, como

$$\zeta^{1/2}\overline{\zeta^{-1/2}} = \frac{\zeta^{1/2}}{\overline{\zeta^{1/2}}} \frac{\zeta^{1/2}}{\zeta^{1/2}} = \frac{\zeta}{|\zeta|}$$

podemos escrever Ψ na seguinte forma

$$\Psi = \left(\frac{\zeta}{2|\zeta|} \left(\frac{k^2 - 1}{k^2 + 1} \right), \frac{2}{|\zeta| \left(k + \frac{1}{k} \right)} \right).$$

Note que

$$\begin{aligned} \left| \frac{\zeta}{|\zeta|^2} \left(\frac{k^2 - 1}{k^2 + 1} \right) \right|^2 &= \frac{|\zeta|^2}{|\zeta|^4} \left(\frac{k^2 - 1}{k^2 + 1} \right)^2 = \frac{1}{|\zeta|^2} \left(\frac{k^2 - 1}{k^2 + 1} \right)^2 \frac{(k + \frac{1}{k})^2}{4} \frac{4}{(k + \frac{1}{k})^2} \\ &= \left| \frac{2}{|\zeta| \left(k + \frac{1}{k} \right)} \right|^2 \frac{(k^2 - 1)^2}{(k^2 + 1)^2} \frac{4}{(k + \frac{1}{k})^2}. \end{aligned}$$

Assim, se escrevermos $\Psi = (Y_1, Y_2, Y_3)$, obtemos

$$Y_1^2 + Y_2^2 = Y_3^2 \alpha$$

onde α é uma constante positiva. Portanto, Ψ é representado em \mathbb{R}_+^3 por um cone.

ii) Se $a \neq 0$ então encontramos $\frac{1}{a} e^{\log(ar+b)+ia\theta}$ como um parametro isotérmico local para a métrica induzida por Ψ . De fato, considere

$$x + iy = \frac{1}{a} e^{\log(ar+b)+ia\theta} = \frac{1}{a} (ar + b) [\cos(a\theta) + i \operatorname{sen}(a\theta)]$$

Vamos encontrar as derivadas primeiras de r e θ em relação à x e y . Para fazer isto vamos calcular a matriz inversa da matriz mudança de variáveis de x e y para r e θ .

A matriz mudança de variáveis de x e y para r e θ é

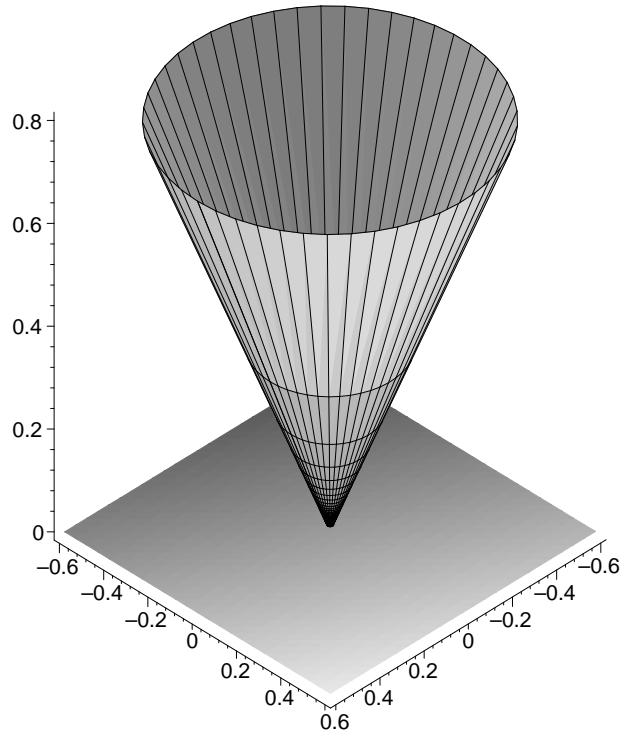
$$\begin{pmatrix} x_r & x_\theta \\ y_r & y_\theta \end{pmatrix} = \begin{pmatrix} \cos(a\theta) & -(ar + b)\operatorname{sen}(a\theta) \\ \operatorname{sen}(a\theta) & (ar + b)\cos(a\theta) \end{pmatrix}$$

e assim, a matriz mudança de variáveis de r e θ para x e y é

$$\frac{1}{ar + b} \begin{pmatrix} (ar + b)\cos(a\theta) & (ar + b)\operatorname{sen}(a\theta) \\ -\operatorname{sen}(a\theta) & \cos(a\theta) \end{pmatrix}$$

logo,

$$\begin{cases} r_x = \cos(a\theta), & r_y = \operatorname{sen}(a\theta), \\ \theta_x = -\frac{\operatorname{sen}(a\theta)}{(ar + b)}, & \theta_y = \frac{\cos(a\theta)}{(ar + b)}. \end{cases} \quad (3.21)$$

Figura 3.1: $a = 0$

Usando as equações (3.17) e (3.21) e a proposição 3.2, obtemos os coeficientes da primeira forma hiperbólica nas coordenada x e y dados por

$$\begin{aligned}
 \langle \Psi_x, \Psi_x \rangle_{\mathbb{H}^3} &= \langle \Psi_r r_x + \Psi_\theta \theta_x, \Psi_r r_x + \Psi_\theta \theta_x \rangle_{\mathbb{H}^3} \\
 &= \langle \Psi_r, \Psi_r \rangle_{\mathbb{H}^3} (r_x)^2 + \langle \Psi_\theta, \Psi_\theta \rangle_{\mathbb{H}^3} (\theta_x)^2 \\
 &= (r_x)^2 + (ar + b)^2 (\theta_x)^2 \\
 &= \cos^2(a\theta) + (ar + b)^2 \frac{\text{sen}^2(a\theta)}{(ar + b)^2} = 1, \\
 \langle \Psi_y, \Psi_y \rangle_{\mathbb{H}^3} &= \langle \Psi_r r_y + \Psi_\theta \theta_y, \Psi_r r_y + \Psi_\theta \theta_y \rangle_{\mathbb{H}^3} \\
 &= \langle \Psi_r, \Psi_r \rangle_{\mathbb{H}^3} (r_y)^2 + \langle \Psi_\theta, \Psi_\theta \rangle_{\mathbb{H}^3} (\theta_y)^2 \\
 &= (r_y)^2 + (ar + b)^2 (\theta_y)^2 \\
 &= \text{sen}^2(a\theta) + (ar + b)^2 \frac{\cos^2(a\theta)}{(ar + b)^2} = 1,
 \end{aligned}$$

e

$$\begin{aligned}
\langle \Psi_x, \Psi_y \rangle_{\mathbb{H}^3} &= \langle \Psi_r r_x + \Psi_\theta \theta_x, \Psi_r r_y + \Psi_\theta \theta_y \rangle_{\mathbb{H}^3} \\
&= \langle \Psi_r, \Psi_r \rangle_{\mathbb{H}^3} r_x r_y + \langle \Psi_\theta, \Psi_\theta \rangle_{\mathbb{H}^3} \theta_x \theta_y \\
&= r_x r_y + (ar + b)^2 \theta_x \theta_y \\
&= \cos(a\theta) \operatorname{sen}(a\theta) - (ar + b)^2 \frac{\cos(a\theta) \operatorname{sen}(a\theta)}{(ar + b)^2} = 0,
\end{aligned}$$

Agora vamos encontrar a segunda forma fundamental euclidiana para a imersão Ψ nas coordenadas x e y . No modelo do semi-espço a segunda forma fundamental hiperbólica é dada pela equação (3.11).

Como $N = \frac{\Psi_x \wedge \Psi_y}{\|\Psi_x \wedge \Psi_y\|_{\mathbb{R}^3}} = \frac{\Psi_r \wedge \Psi_\theta}{\|\Psi_r \wedge \Psi_\theta\|_{\mathbb{R}^3}}$ e pelas equações (3.15), (3.16), (3.21) e a proposição 3.2, temos

$$\begin{aligned}
g_{11} &= \langle \Psi_{xx}, N \rangle_{\mathbb{R}^3} = \langle (\Psi_r r_x + \Psi_\theta \theta_x)_x, N \rangle_{\mathbb{R}^3} \\
&= \langle (\Psi_{rr} r_x + \Psi_{r\theta} \theta_x) r_x + \Psi_r r_{xx} + (\Psi_{\theta\theta} \theta_x + \Psi_{r\theta} r_x) \theta_x + \Psi_\theta \theta_{xx}, N \rangle_{\mathbb{R}^3} \\
&= \langle \Psi_{rr}, N \rangle_{\mathbb{R}^3} (r_x)^2 + \langle \Psi_{\theta\theta}, N \rangle_{\mathbb{R}^3} (\theta_x)^2 \\
&= \frac{y_3'' y_1' - y_3' y_1''}{y_3} \cos^2(a\theta) + \frac{y_3' y_1 \operatorname{sen}^2(a\theta)}{y_3 y_1^2 / y_3^2} \\
&= \frac{y_3'' y_1' - y_3' y_1''}{y_3} \cos^2(a\theta) + \frac{y_3' y_3 \operatorname{sen}^2(a\theta)}{y_1}, \\
g_{12} &= \langle \Psi_{xy}, N \rangle_{\mathbb{R}^3} = \langle (\Psi_r r_x + \Psi_\theta \theta_x)_y, N \rangle_{\mathbb{R}^3} \\
&= \langle (\Psi_{rr} r_y + \Psi_{r\theta} \theta_y) r_x + \Psi_r r_{xy} + (\Psi_{\theta\theta} \theta_y + \Psi_{r\theta} r_y) \theta_x + \Psi_\theta \theta_{xy}, N \rangle_{\mathbb{R}^3} \\
&= \langle \Psi_{rr}, N \rangle_{\mathbb{R}^3} r_y r_x + \langle \Psi_{\theta\theta}, N \rangle_{\mathbb{R}^3} \theta_y \theta_x \\
&= \frac{y_3'' y_1' - y_3' y_1''}{y_3} \cos(a\theta) \operatorname{sen}(a\theta) - \frac{y_3' y_1 \operatorname{sen}(a\theta) \cos(a\theta)}{y_3 y_1^2 / y_3^2} \\
&= \cos(a\theta) \operatorname{sen}(a\theta) \left(\frac{y_3'' y_1' - y_3' y_1''}{y_3} - \frac{y_3' y_3}{y_1} \right)
\end{aligned}$$

e

$$\begin{aligned}
g_{22} &= \langle \Psi_{rr}, N \rangle_{\mathbb{R}^3} (r_y)^2 + \langle \Psi_{\theta\theta}, N \rangle_{\mathbb{R}^3} (\theta_y)^2 \\
&= \frac{y_3'' y_1' - y_3' y_1''}{y_3} \text{sen}^2(a\theta) + \frac{y_3' y_1}{y_3} \frac{\text{sen}(a\theta) \cos(a\theta)}{y_1^2 / y_3^2} \\
&= \frac{y_3'' y_1' - y_3' y_1''}{y_3} \text{sen}^2(a\theta) + \frac{y_3' y_1}{y_3} \frac{\cos^2(a\theta)}{y_1^2 / y_3^2} \\
&= \frac{y_3'' y_1' - y_3' y_1''}{y_3} \text{sen}^2(a\theta) + \frac{y_3' y_3}{y_1} \cos^2(a\theta),
\end{aligned}$$

Assim devido aos coeficientes g_{ij} , H_{ij} e n_3 , temos

$$\begin{aligned}
h_{11} &= \frac{y_3'' y_1' - y_3' y_1''}{y_3^2} \cos^2(a\theta) + \frac{y_3'}{y_1} (1 - \cos^2(a\theta)) + \frac{y_1'}{y_3} \\
&= \left(\frac{y_3'' y_1' - y_3' y_1''}{y_3^2} - \frac{y_3'}{y_1} \right) \cos^2(a\theta) + \frac{y_3'}{y_1} + \frac{y_1'}{y_3}, \\
h_{12} &= \left(\frac{y_3'' y_1' - y_3' y_1''}{y_3^2} - \frac{y_3'}{y_1} \right) \text{sen}(a\theta) \cos(a\theta),
\end{aligned}$$

e

$$\begin{aligned}
h_{11} &= \frac{y_3'' y_1' - y_3' y_1''}{y_3^2} \text{sen}^2(a\theta) + \frac{y_3'}{y_1} (1 - \text{sen}^2(a\theta)) + \frac{y_1'}{y_3} \\
&= \left(\frac{y_3'' y_1' - y_3' y_1''}{y_3^2} - \frac{y_3'}{y_1} \right) \text{sen}^2(a\theta) + \frac{y_3'}{y_1} + \frac{y_1'}{y_3},
\end{aligned}$$

Pela proposição 3.2

$$0 \neq a = \left(\frac{y_1}{y_3} \right)' = \frac{y_1' y_3 - y_3' y_1}{y_3^2},$$

com isto, obtemos

$$a^2 = \frac{(y_3 y_1')^2 - 2y_3' y_3 y_1' y_1 + (y_3' y_1)^2}{y_3^4},$$

utilizando a equação (3.13), temos

$$\begin{aligned}
a^2 &= \frac{y_3^2 (y_3^2 - (y_3')^2) - 2y_3' y_3 y_1' y_1 + (y_3^2 - (y_1')^2) (y_1)^2}{y_3^4} \\
&= \frac{y_3^2 (y_3^2 + y_1^2) - [(y_3')^2 y_3^2 + 2y_3' y_3 y_1' y_1 + (y_1')^2 y_1^2]}{y_3^4} \\
&= \frac{y_3^2 + y_1^2}{y_3^2} - \frac{(y_3' y_3 + y_1' y_1)^2}{y_3^4},
\end{aligned}$$

e assim,

$$1 - a^2 = -\frac{y_1^2}{y_3^2} + \frac{(y_3' y_3 + y_1' y_1)^2}{y_3^4} \quad (3.22)$$

ou melhor,

$$\frac{y_1^2}{y_3^2} + 1 - a^2 = \frac{(y_3' y_3 + y_1' y_1)^2}{y_3^4}$$

logo,

$$\left(\frac{y_1^2}{y_3^2} + 1 - a^2 \right)^{1/2} = \frac{y_3' y_3 + y_1' y_1}{y_3^2}$$

multiplicando ambos os lados por $\frac{y_3^2}{y_3 y_1}$, temos

$$\frac{y_3^2}{y_3 y_1} \left(\frac{y_1^2}{y_3^2} + 1 - a^2 \right)^{1/2} = \frac{y_3' y_3 + y_1' y_1}{y_3 y_1}$$

o qual pode ser escrita como

$$\left[\frac{y_3^2}{y_1^2} \left(\frac{y_1^2}{y_3^2} + 1 - a^2 \right) \right]^{1/2} = \frac{y_3'}{y_1} + \frac{y_1'}{y_3}$$

e assim, obtemos

$$\frac{y_3'}{y_1} + \frac{y_1'}{y_3} = \left(1 + \frac{1 - a^2}{y_1^2 / y_3^2} \right)^{1/2}. \quad (3.23)$$

Vamos agora simplificar a expressão

$$\Gamma = \frac{y_3'' y_1' - y_3' y_1''}{y_3^2} - \frac{y_3'}{y_1}.$$

Multiplicando e dividindo Γ por $y_3' y_3 + y_1' y_1$, obtemos

$$\begin{aligned} \Gamma &= \frac{(y_3'' y_1' - y_3' y_1'') y_1 - y_3' y_3^2 \left(\frac{y_3' y_3 + y_1' y_1}{y_3' y_3 + y_1' y_1} \right)}{y_3^2 y_1} \\ &= \frac{(y_3'' y_1' - y_3' y_1'')(y_3' y_3 + y_1' y_1) y_1 - (y_3' y_3 + y_1' y_1) y_3' y_3^2}{\Sigma}, \end{aligned}$$

onde $\Sigma = y_3^2 y_1 (y_3' y_3 + y_1' y_1)$.

Assim,

$$\Gamma = \frac{1}{\Sigma} \{ [y_3'' y_3' y_3 y_1' - (y_3')^2 y_3 y_1'' + y_3'' (y_1')^2 y_1 - y_3' y_1'' y_1' y_1] y_1 - (y_3')^2 y_3^3 - y_3' y_3^2 y_1' y_1 \}$$

utilizando a equação (3.14), temos

$$\Gamma = \frac{1}{\Sigma} \{ [(y_3' y_3 - y_1'' y_1') y_3 y_1' - (y_3')^2 y_3 y_1'' + y_3'' (y_1')^2 y_1 - (y_3' y_3 - y_3'' y_3') y_3' y_1] y_1 - (y_3')^2 y_3^3 - y_3' y_3^2 y_1' y_1 \}$$

o qual reduzimos para,

$$\Gamma = \frac{1}{\Sigma} \{ [-y_3 y_1'' (y_1')^2 - (y_3')^2 y_3 y_1'' + y_3'' (y_1')^2 y_1 - (y_3')^2 y_3 y_1 + y_3'' (y_3')^2 y_1] y_1 - (y_3')^2 y_3^3 \}$$

usando a equação (3.13), obtemos

$$\Gamma = \frac{1}{\Sigma} \{ [-y_3 y_1'' (y_1')^2 - (y_3^2 - (y_1')^2) y_3 y_1'' + y_3'' (y_1')^2 y_1 - (y_3')^2 y_3 y_1 + (y_3^2 - (y_1')^2) y_3'' y_1] y_1 - (y_3')^2 y_3^3 \}$$

simplificando, temos

$$\begin{aligned} \Gamma &= \frac{1}{\Sigma} \{ [-(y_3')^2 y_3 y_1 - y_3^3 y_1'' + y_3'' y_3^2 y_1] y_1 - (y_3')^2 y_3^3 \} \\ &= \frac{1}{\Sigma} [-(y_3')^2 y_3 y_1^2 - y_3^2 y_1 (y_3 y_1'' - y_3'' y_1) - (y_3')^2 y_3^3] \end{aligned}$$

pela proposição 3.2, temos

$$a = \left(\frac{y_1}{y_3} \right)' = \frac{y_1' y_3 - y_3' y_1}{y_3^2}$$

e derivando esta equação, obtemos

$$y_1'' y_3 - y_3'' y_1 = 2a y_3' y_3 = 2 \left(\frac{y_1' y_3 - y_3' y_1}{y_3^2} \right) y_3' y_3 = 2(y_1' y_3 - y_3' y_1) \frac{y_3'}{y_3}$$

substituindo isto em Γ , temos

$$\begin{aligned} \Gamma &= \frac{1}{\Sigma} [-(y_3')^2 y_3 y_1^2 - 2y_3' y_3 y_1 (y_3 y_1' - y_3' y_1) - (y_3')^2 y_3^3] \\ &= \frac{1}{\Sigma} [(y_3')^2 y_3 y_1^2 - 2y_3' y_3^2 y_1' y_1 - (y_3')^2 y_3^3] \end{aligned}$$

devido a equação (3.13) e o valor de Σ , obtemos

$$\begin{aligned} \Gamma &= \frac{1}{\Sigma} [(y_3^2 - (y_1')^2) y_3 y_1^2 - 2y_3' y_3^2 y_1' y_1 - (y_3')^2 y_3^3] \\ &= \frac{1}{\Sigma} [y_3^3 y_1^2 - (y_3')^2 y_3^3 - 2y_3' y_3^2 y_1' y_1 - (y_1')^2 y_3 y_1^2] \\ &= \frac{y_3^3 y_1^2 - y_3 (y_3' y_3 + y_1' y_1)^2}{y_3^2 y_1 (y_3' y_3 + y_1' y_1)} \\ &= \frac{y_3}{y_1} \left(\frac{y_3^2 y_1^2 - (y_3' y_3 + y_1' y_1)^2}{y_3^2 (y_3' y_3 + y_1' y_1)} \right) \\ &= \frac{y_3}{y_1} \left(\frac{y_1^2}{y_3' y_3 + y_1' y_1} - \frac{y_3' y_3 + y_1' y_1}{y_3^2} \right) \\ &= \frac{y_3}{y_1} \left(\frac{y_3^2}{y_3' y_3 + y_1' y_1} \right) \left(\frac{y_1^2}{y_3^2} - \frac{(y_3' y_3 + y_1' y_1)^2}{y_3^4} \right) \end{aligned}$$

devido as equações (3.22) e (3.23), obtemos

$$\begin{aligned}
 \Gamma &= \frac{y_3}{y_1} \left(\frac{y_3^2}{y_3' y_3 + y_1' y_1} \right) (a^2 - 1) \\
 &= -\frac{y_1^3}{y_3^3} \left(\frac{y_3^2}{y_3' y_3 + y_1' y_1} \right) (1 - a^2) \frac{y_3^4}{y_1^4} \\
 &= -\frac{y_1^3}{y_3^3} \left(\frac{y_1^2}{y_3^2} + 1 - a^2 \right)^{-1/2} (1 - a^2) \frac{y_3^4}{y_1^4} \\
 &= -\frac{y_1^2}{y_3^2} \left(1 + \frac{1 - a^2}{y_1^2 / y_3^2} \right)^{-1/2} \left(\frac{1 - a^2}{y_1^4 / y_3^4} \right).
 \end{aligned}$$

Devido a proposição 3.2 e os valores de x e y como funções de r e θ , temos

$$\frac{y_1^2}{y_3^2} = (ar + b)^2 = a^2(x^2 + y^2),$$

usando esta equação em Γ e a equação (3.23), obtemos

$$\Gamma = \frac{(ar + b)^2}{2a^2} \left(1 + \frac{1 - a^2}{a^2(x^2 + y^2)} \right)^{-1/2} \left(\frac{(1 - a^2)(-2)}{a^2(x^2 + y^2)^2} \right)$$

e

$$\frac{y_3'}{y_1} + \frac{y_1'}{y_3} = \left(1 + \frac{1 - a^2}{a^2(x^2 + y^2)} \right)^{1/2}.$$

Usando as equações acima, os coeficientes da segunda forma hiperbólica se reduzem a

$$h_{11} = \cos^2(a\theta) \frac{(ar + b)^2}{2a^2} \left(1 + \frac{1 - a^2}{a^2(x^2 + y^2)} \right)^{-1/2} \left(\frac{(1 - a^2)(-2)}{a^2(x^2 + y^2)^2} \right) + \left(1 + \frac{1 - a^2}{a^2(x^2 + y^2)} \right)^{1/2},$$

$$h_{12} = \cos(a\theta) \operatorname{sen}(a\theta) \frac{(ar + b)^2}{2a^2} \left(1 + \frac{1 - a^2}{a^2(x^2 + y^2)} \right)^{-1/2} \left(\frac{(1 - a^2)(-2)}{a^2(x^2 + y^2)^2} \right)$$

e

$$h_{22} = \operatorname{sen}^2(a\theta) \frac{(ar + b)^2}{2a^2} \left(1 + \frac{1 - a^2}{a^2(x^2 + y^2)} \right)^{-1/2} \left(\frac{(1 - a^2)(-2)}{a^2(x^2 + y^2)^2} \right) + \left(1 + \frac{1 - a^2}{a^2(x^2 + y^2)} \right)^{1/2}$$

substituindo o valor de x e y como funções de r e θ podemos escreve h_{11} , h_{12} e h_{22} na seguinte forma

$$h_{11} = \left(x \left(1 + \frac{1 - a^2}{a^2(x^2 + y^2)} \right)^{1/2} \right)_x,$$

$$h_{12} = \left(x \left(1 + \frac{1-a^2}{a^2(x^2+y^2)} \right)^{1/2} \right)_y = \left(y \left(1 + \frac{1-a^2}{a^2(x^2+y^2)} \right)^{1/2} \right)_x$$

e

$$h_{22} = \left(y \left(1 + \frac{1-a^2}{a^2(x^2+y^2)} \right)^{1/2} \right)_y.$$

Pelo Lema de Poincaré, existe uma função $\phi : \mathbb{R}^2 \rightarrow \mathbb{R}$ tal que,

$$\phi_x = x \left(1 + \frac{1-a^2}{a^2(x^2+y^2)} \right)^{1/2}$$

e

$$\phi_y = y \left(1 + \frac{1-a^2}{a^2(x^2+y^2)} \right)^{1/2},$$

como visto na demonstração do Lema 2.2.

Pelo Lema 2.3,

$$z = \left(1 + \left(1 + \frac{1-a^2}{a^2(x^2+y^2)} \right)^{1/2} \right) (x + iy)$$

é uma coordenada conforme para a segunda forma hiperbólica.

Considerando

$$B = \left(1 + \frac{1-a^2}{a^2(x^2+y^2)} \right)^{1/2} \tag{3.24}$$

então, podemos escrever a coordenada z na forma

$$z = (1+B)\xi \tag{3.25}$$

onde, $\xi = x + iy$.

Usando a equação (3.24), escrevemos a segunda forma hiperbólica do seguinte modo,

$$\phi_{xx} = h_{11} = B - \frac{x^2}{B} \left(\frac{1-a^2}{a^2} \right) \frac{1}{(x^2+y^2)^2},$$

$$\phi_{yy} = h_{22} = B - \frac{y^2}{B} \left(\frac{1-a^2}{a^2} \right) \frac{1}{(x^2+y^2)^2},$$

$$\phi_{xy} = h_{12} = -\frac{xy}{B} \left(\frac{1-a^2}{a^2} \right) \frac{1}{(x^2+y^2)^2}.$$

Assim,

$$\phi_{yy} - \phi_{xx} + 2i\phi_{xy} = \frac{1}{B} \left(\frac{1-a^2}{a^2} \right) \frac{1}{(x^2+y^2)^2} (-y^2 + x^2 - 2ixy),$$

$$2 + \phi_{xx} + \phi_{yy} = 2(1+B) - \frac{x^2+y^2}{B} \left(\frac{1-a^2}{a^2} \right) \frac{1}{(x^2+y^2)^2}.$$

Usando que $\xi = x + iy$, reescrevemos as equações acima da forma

$$\begin{aligned}\phi_{yy} - \phi_{xx} + 2i\phi_{xy} &= \frac{1}{B} \left(\frac{1-a^2}{a^2} \right) \frac{1}{|\xi|^2} \frac{\bar{\xi}^2}{|\xi|^2}, \\ 2 + \phi_{xx} + \phi_{yy} &= 2(1+B) - \frac{1}{B} \left(\frac{1-a^2}{a^2} \right) \frac{1}{|\xi|^2}.\end{aligned}$$

Devido a equação (3.24) e que $\xi = x + iy$, obtemos

$$B^2 = 1 + \frac{1-a^2}{a^2 |\xi|^2} \implies B^2 - 1 = \frac{1-a^2}{a^2 |\xi|^2}. \quad (3.26)$$

Logo,

$$\begin{aligned}\phi_{yy} - \phi_{xx} + 2i\phi_{xy} &= \frac{B^2 - 1}{B} \frac{\bar{\xi}^2}{|\xi|^2}, \\ 2 + \phi_{xx} + \phi_{yy} &= 2(1+B) - \frac{B^2 - 1}{B} = \frac{(B+1)^2}{B}.\end{aligned}$$

Escolhendo a função f , como na demonstração do teorema 3.1, dada por

$$f(z) = \frac{\phi_{yy} - \phi_{xx} + 2i\phi_{xy}}{2 + \phi_{xx} + \phi_{yy}} = \frac{B^2 - 1}{(B+1)^2} \frac{\bar{\xi}^2}{|\xi|^2}$$

usando as equações (3.25) e (3.26), temos

$$f(z) = \left(\frac{B^2 - 1}{|z|^2} \right) \frac{\bar{\xi}^2 \xi^2}{\xi^2} = \frac{B^2 - 1}{|z|^2 \xi^2} |\xi|^4 = \left(\frac{1-a^2}{a^2 |z|^2} \right) \frac{|\xi|^2}{\xi^2} = \frac{1-a^2}{a^2 z^2}.$$

Fazendo a mudança de variável $z = \frac{\zeta^a}{a}$, os dados de Weierstrass associado a imersão Ψ são

$$f(\zeta) = \frac{1-a^2}{\zeta^{2a}}, \quad \omega = \frac{1}{2} dz = \frac{1}{2} \zeta^{a-1} d\zeta,$$

com $\zeta \in \mathbb{C}^*$ tal que $|f(\zeta)| < 1$.

Considere a equação

$$X_{\zeta\zeta} - (a-1)\zeta^{-1}X_{\zeta} - \frac{1-a^2}{4}\zeta^{-2}X = 0.$$

Multiplicando esta equação por ζ^2 , obtemos a equação de Cauchy-Euler

$$\zeta^2 X_{\zeta\zeta} - (a-1)\zeta X_{\zeta} - \frac{1-a^2}{4}X = 0 \quad (3.27)$$

cuja base das soluções é $\left\{ \zeta^{\frac{a+1}{2}}, \zeta^{\frac{a-1}{2}} \right\}$.

Tome $C = \frac{i}{\sqrt{2}} \zeta^{\frac{a+1}{2}}$ e $D = \frac{i}{\sqrt{2}} \zeta^{\frac{a-1}{2}}$ então C e D são soluções L.I. da equação (3.27). Como $(CD_\zeta - DC_\zeta) \frac{2}{\zeta^{a-1}} = 1$, então pela proposição 3.1, temos

$$g = \frac{i}{\sqrt{2}} \begin{pmatrix} \zeta^{\frac{a+1}{2}} & (a+1)\zeta^{\frac{1-a}{2}} \\ \zeta^{\frac{a-1}{2}} & (a-1)\zeta^{-\frac{a+1}{2}} \end{pmatrix}$$

é uma imersão plana associada aos dados de Weierstrass $\left(\frac{1-a^2}{\zeta^{2a}}, \frac{1}{2}\zeta^{a-1}d\zeta \right)$ e a correspondente superfície plana de revolução é, a menos de isometria,

$$\begin{aligned} \Psi &= gg^* = \frac{i}{\sqrt{2}} \begin{pmatrix} \zeta^{\frac{a+1}{2}} & (a+1)\zeta^{\frac{1-a}{2}} \\ \zeta^{\frac{a-1}{2}} & (a-1)\zeta^{-\frac{a+1}{2}} \end{pmatrix} \begin{pmatrix} -i \\ \sqrt{2} \end{pmatrix} \begin{pmatrix} \overline{\zeta^{\frac{a+1}{2}}} & \overline{\zeta^{\frac{a-1}{2}}} \\ (a+1)\overline{\zeta^{\frac{1-a}{2}}} & (a-1)\overline{\zeta^{-\frac{a+1}{2}}} \end{pmatrix} \\ &= \frac{1}{2} \begin{pmatrix} |\zeta|^{a+1} + (a+1)^2 |\zeta|^{1-a} & \zeta^{\frac{a+1}{2}} \overline{\zeta^{\frac{a-1}{2}}} + (a^2-1)\zeta^{\frac{1-a}{2}} \overline{\zeta^{-\frac{a+1}{2}}} \\ \zeta^{\frac{a-1}{2}} \overline{\zeta^{\frac{a+1}{2}}} + (a^2-1)\zeta^{-\frac{a+1}{2}} \overline{\zeta^{\frac{1-a}{2}}} & |\zeta|^{a-1} + (a-1)^2 |\zeta|^{-(1+a)} \end{pmatrix}. \end{aligned}$$

Voltando para o modelo do semi-espaco, obtemos

$$\Psi = \left(\frac{\zeta^{\frac{a+1}{2}} \overline{\zeta^{\frac{a-1}{2}}} + (a^2-1)\zeta^{\frac{1-a}{2}} \overline{\zeta^{-\frac{a+1}{2}}}}{|\zeta|^{a+1} + (a+1)^2 |\zeta|^{1-a}}, \frac{2}{|\zeta|^{a+1} + (a+1)^2 |\zeta|^{1-a}} \right)$$

onde a primeira coordenada é a plana e a segunda é a altura.

Como

$$\zeta^{\frac{a+1}{2}} \overline{\zeta^{\frac{a-1}{2}}} = \frac{\zeta^{\frac{a+1}{2}} \zeta^{\frac{1-a}{2}}}{\zeta^{\frac{1-a}{2}} \zeta^{\frac{1-a}{2}}} = \frac{\zeta}{|\zeta|^{1-a}}$$

e

$$\zeta^{\frac{1-a}{2}} \overline{\zeta^{-\frac{a+1}{2}}} = \frac{\zeta^{\frac{1-a}{2}} \zeta^{\frac{a+1}{2}}}{\zeta^{\frac{a+1}{2}} \zeta^{\frac{a+1}{2}}} = \frac{\zeta}{|\zeta|^{a+1}}$$

portanto, escrevemos a imersão Ψ , dependente do parametro \mathbf{a} , da seguinte forma,

$$\Psi_a = \left(\frac{\zeta \left(|\zeta|^{a-1} + (a^2-1) |\zeta|^{-(a+1)} \right)}{|\zeta|^{a+1} + (a+1)^2 |\zeta|^{1-a}}, \frac{2}{|\zeta|^{a+1} + (a+1)^2 |\zeta|^{1-a}} \right).$$

Note que, as superfícies Ψ_a e Ψ_{-a} são isométricas, pois tem os mesmos dados de Weierstrass olhando na coordenada z . Para $a \pm 1$ as superfícies são horoesferas(veja figuras 3.2 e 3.3).

Nos outros casos, obtemos superfícies planas de revolução o qual podem ser representadas pelas seguintes figuras:

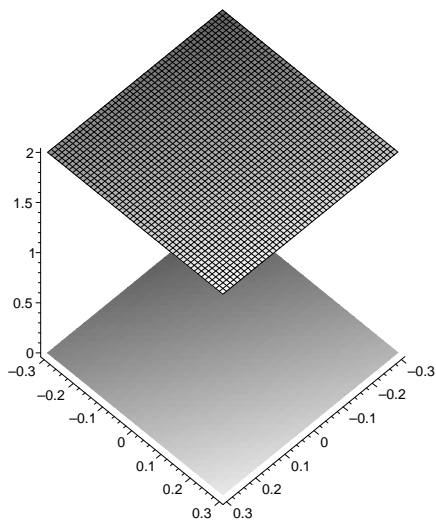


Figura 3.2: $a = -1$

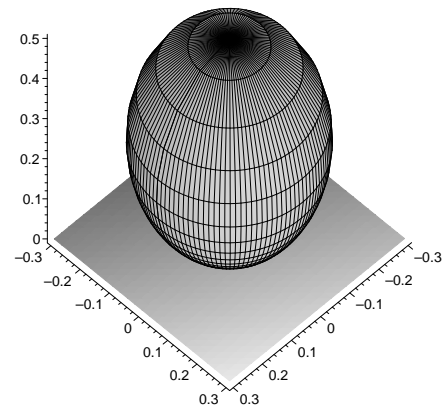


Figura 3.3: $a = 1$

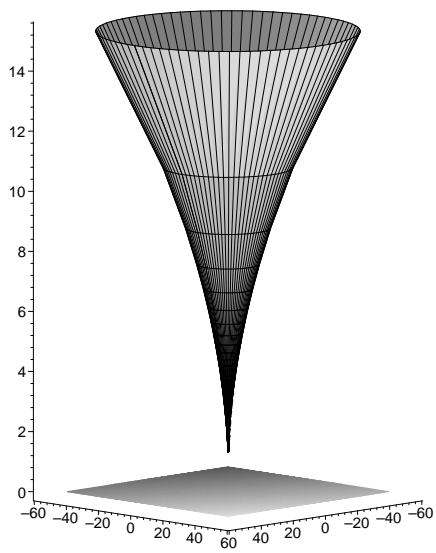


Figura 3.4: $-1 < a < 0$

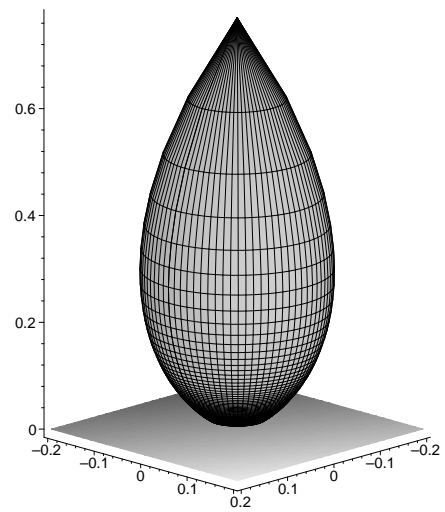


Figura 3.5: $0 < a < 1$

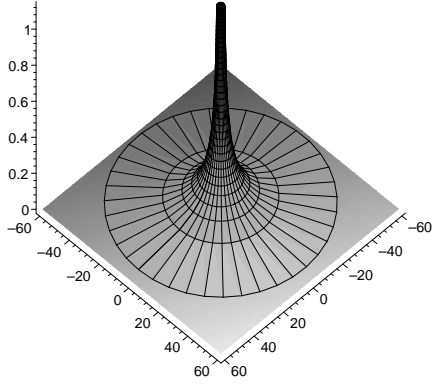


Figura 3.6: $a < -1$

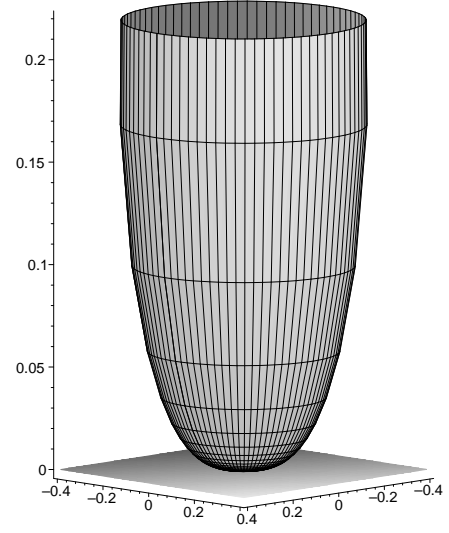


Figura 3.7: $a > 1$

Exemplo 3.2. Vamos determinar os dados de Weierstrass para superfície plana no espaço hiperbólico dada por

$$\Psi(r, t) = (r + 1 + \cos(\theta), t, \text{sen}(\theta)),$$

com $\cos(\theta) = \frac{1-4 \exp(2r)}{1+4 \exp(2r)}$ e $\text{sen}(\theta) = \frac{4 \exp(r)}{1+4 \exp(2r)}$. Esta superfície foi obtida em [13] e pode ser visualizada na figura (3.8).

As derivadas primeira de Ψ são

$$\begin{aligned} \Psi_r &= (1 - \text{sen}(\theta)\theta_r, 0, \cos(\theta)\theta_r) \\ e \\ \Psi_t &= (0, 1, 0), \end{aligned} \tag{3.28}$$

e portanto a primeira forma hiperbólica nas coordenadas r e t são

$$\langle \Psi_r, \Psi_r \rangle_{\mathbb{H}^3} = \frac{1 - 2\text{sen}(\theta)\theta_r + \text{sen}^2(\theta)\theta_r^2 + \cos^2(\theta)\theta_r^2}{\text{sen}^2(\theta)} = \frac{1 - 2\text{sen}(\theta)\theta_r + \theta_r^2}{\text{sen}^2(\theta)},$$

$$\langle \Psi_r, \Psi_\theta \rangle_{\mathbb{H}^3} = 0$$

e

$$\langle \Psi_\theta, \Psi_\theta \rangle_{\mathbb{H}^3} = \frac{1}{\text{sen}^2(\theta)}.$$

Agora como $[\cos(\theta)]_r = -\text{sen}(\theta)\theta_r$, obtemos

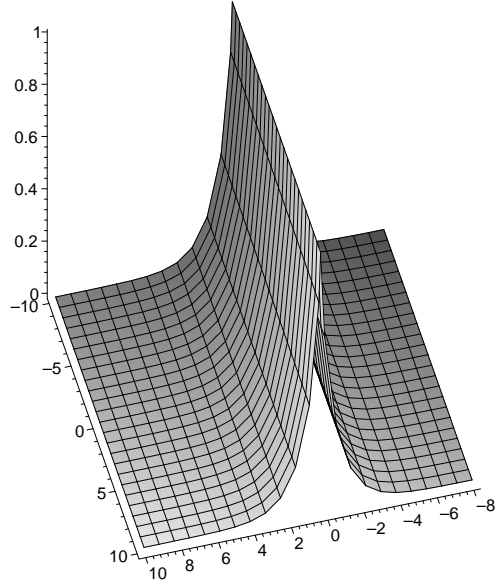


Figura 3.8: Exemplo 3.2

$$\begin{aligned}
 \theta_r &= -\frac{(\cos(\theta))_r}{\text{sen}(\theta)} \\
 &= -\left(\frac{-8 \exp(2r)(1 + 4 \exp(2r)) - 8 \exp(2r)(1 - 4 \exp(2r))}{(1 + 4 \exp(2r))^2}\right) \frac{1 + 4 \exp(2r)}{4 \exp(r)} \\
 &= \frac{16 \exp(2r)}{(1 + 4 \exp(2r))^2} \frac{1 + 4 \exp(2r)}{4 \exp(r)} = \frac{4 \exp(r)}{1 + 4 \exp(2r)} = \text{sen}(\theta).
 \end{aligned} \tag{3.29}$$

Usando a equação (3.29), temos

$$\langle \Psi_r, \Psi_r \rangle_{\mathbb{H}^3} = \frac{1 - 2\text{sen}^2(\theta) + \text{sen}^2(\theta)}{\text{sen}^2(\theta)} = \frac{1 - \text{sen}^2(\theta)}{\text{sen}^2(\theta)} = \frac{\cos^2(\theta)}{\text{sen}^2(\theta)}.$$

Fazendo a mudança de coordenadas

$$\begin{cases} \tilde{r} &= \tilde{r}(r), \\ \tilde{t} &= t \end{cases}$$

temos, $\tilde{\Psi}(\tilde{r}, \tilde{t}) = \Psi(r(\tilde{r}), t)$ e portanto

$$\tilde{\Psi}_{\tilde{r}} = \Psi_r \frac{\partial r}{\partial \tilde{r}}, \quad \tilde{\Psi}_{\tilde{t}} = \Psi_t.$$

Assim,

$$\langle \tilde{\Psi}_{\tilde{r}}, \tilde{\Psi}_{\tilde{r}} \rangle = \left(\frac{\partial r}{\partial \tilde{r}}\right)^2 \langle \Psi_r, \Psi_r \rangle,$$

$$\langle \tilde{\Psi}_{\tilde{r}}, \tilde{\Psi}_{\tilde{t}} \rangle = 0$$

e

$$\langle \tilde{\Psi}_{\tilde{t}}, \tilde{\Psi}_{\tilde{t}} \rangle = \langle \Psi_t, \Psi_t \rangle.$$

A fim de obtermos uma coordenada isotérmica, fazemos $\langle \tilde{\Psi}_{\tilde{r}}, \tilde{\Psi}_{\tilde{r}} \rangle = \langle \tilde{\Psi}_{\tilde{t}}, \tilde{\Psi}_{\tilde{t}} \rangle$. Assim,

$$\left(\frac{\partial r}{\partial \tilde{r}} \right)^2 = \frac{\langle \Psi_t, \Psi_t \rangle}{\langle \Psi_r, \Psi_r \rangle} = \frac{1}{\text{sen}^2(\theta)} \frac{\text{sen}^2(\theta)}{\text{cos}^2(\theta)} = \frac{1}{\text{cos}^2(\theta)}.$$

Logo,

$$\left(\frac{\partial r}{\partial \tilde{r}} \right) = \frac{1}{\text{cos}(\theta)},$$

o que implica em

$$\left(\frac{\partial \tilde{r}}{\partial r} \right) = \text{cos}(\theta). \quad (3.30)$$

Escolhendo $\tilde{r}(r)$ tal que a equação (3.30) seja satisfeita, a métrica fica determinada por

$$ds^2 = \langle d\Psi, d\Psi \rangle = \lambda(\tilde{r})(d\tilde{r}^2 + d\tilde{t}^2), \quad (3.31)$$

onde $\lambda(\tilde{r}) = \frac{1}{\text{sen}^2(\theta)}$.

Como Ψ é uma imersão plana então a curvatura K , que é dada por

$$K = -\frac{1}{2\lambda(\tilde{r})} \Delta \ln(\lambda(\tilde{r})),$$

ver [4] p. 237, é nula.

Portanto $\Delta \ln(\lambda(\tilde{r})) = 0$. Sabemos que $\ln(\lambda(\tilde{r}))$ so depende de \tilde{r} . Logo,

$$[\ln(\lambda(\tilde{r}))]_{\tilde{r}\tilde{r}} = 0$$

donde,

$$\ln(\lambda(\tilde{r})) = \alpha\tilde{r} + \beta, \quad (3.32)$$

onde α e β são constantes reais.

Por uma translação podemos considerar $\beta = 0$ e por uma dilatação podemos considerar $\alpha = -2$.

Logo, usando o valor de λ ,

$$\tilde{r} = -\frac{1}{2} \ln(\lambda(\tilde{r})) = -\frac{1}{2} \ln(\text{sen}^{-2}(\theta)).$$

Assim, derivando a equação anterior e utilizando a equação (3.29), temos

$$\frac{\partial \tilde{r}}{\partial r} = \frac{1}{\operatorname{sen}(\theta)} \cos(\theta) \theta_r = \cos(\theta)$$

tendo uma compatibilidade com a equação (3.30).

Agora como $\Delta \ln(\lambda(\tilde{r})) = 0$ então $\ln(\lambda(\tilde{r}))$ é parte real de uma função holomorfa, digamos $h : \mathbb{C} \rightarrow \mathbb{C}$. Assim $[\Re(h)]_{\tilde{r}} = [\Im(h)]_{\tilde{t}}$, usando a equação (3.32), obtemos

$$\Im(h) = -2\tilde{t} + \text{constante.}$$

Novamente por uma translação, podemos considerar

$$\Im(h) = -2\tilde{t}$$

e portanto

$$h(\tilde{r}, \tilde{t}) = -2(\tilde{r} + i\tilde{t}).$$

Considere $\xi = \tilde{r} + i\tilde{t}$ e a função $\Phi : \mathbb{C} \rightarrow \mathbb{C}$ definida por

$$\Phi(\xi) = \int_{\xi_0}^{\xi} \exp(h(z)/2) dz = \int_{\xi_0}^{\xi} \exp(-z) dz = -\exp(-\xi) + \exp(-\xi_0).$$

Assim, usando a equação (3.32)

$$|\Phi'(\xi)|^2 = |\exp(-\xi)|^2 = (\exp(-\tilde{r}))^2 = \exp(-2\tilde{r}) = \lambda(\tilde{r}).$$

Devido a equação (3.31), obtemos

$$dx^2 + dy^2 = |d\Phi(\xi)|^2 = |\Phi'(\xi)|^2 |d\xi|^2 = \lambda(\tilde{r})(d\tilde{r}^2 + d\tilde{t}^2) = ds^2,$$

onde $x + iy = \Phi(\xi) = -\exp(-2\xi)$. Esta é uma coordenada isotérmica para a imersão plana Ψ .

Vamos calcular os coeficientes da segunda forma fundamental hiperbólica nas coordenadas x e y encontradas acima. Devido a formula (3.11), necessitamos da matriz mudança de base das coordenadas r e t para x e y , dos coeficientes da primeira e segunda formas euclidianas nas coordenadas x e y e da terceira coordenada do vetor normal.

A matriz mudança de base das coordenadas r e t para x e y é a matriz inversa da matriz mudança de base das coordenadas x e y para r e t .

Como

$$x + iy = \Phi(\xi) = -\exp\left(-\frac{1}{2}\ln(\lambda(\tilde{r})) - it\right) = -\frac{1}{\text{sen}(\theta)}(\text{cost} - i\text{sent}),$$

logo

$$x = -\frac{1}{\text{sen}(\theta)}\text{cos}(t) \quad \text{e} \quad y = \frac{1}{\text{sen}(\theta)}\text{sen}(t) \quad (3.33)$$

utilizando a equação (3.33), temos

$$\begin{pmatrix} x_r & x_t \\ y_r & y_t \end{pmatrix} = \begin{pmatrix} \frac{1}{\text{sen}^2(\theta)}\text{cos}(\theta)\theta_r\text{cos}(t) & \frac{1}{\text{sen}(\theta)}\text{sen}(t) \\ -\frac{1}{\text{sen}^2(\theta)}\text{cos}(\theta)\theta_r\text{sen}(t) & \frac{1}{\text{sen}(\theta)}\text{cos}(t) \end{pmatrix}$$

usando a equação (3.29), o determinate da matriz acima é

$$\det \begin{pmatrix} x_r & x_t \\ y_r & y_t \end{pmatrix} = \frac{\text{cos}(\theta)}{\text{sen}^2(\theta)}\text{cos}^2(t) + \frac{\text{cos}(\theta)}{\text{sen}^2(\theta)}\text{sen}^2(t) = \frac{\text{cos}(\theta)}{\text{sen}^2(\theta)}$$

e assim,

$$\begin{pmatrix} r_x & r_y \\ t_x & t_y \end{pmatrix} = \frac{\text{sen}^2(\theta)}{\text{cos}(\theta)} \begin{pmatrix} \frac{\text{cos}(t)}{\text{sen}(\theta)} & -\frac{\text{sen}(t)}{\text{sen}(\theta)} \\ \frac{\text{cos}(\theta)}{\text{sen}(\theta)}\text{sen}(t) & \frac{\text{cos}(\theta)}{\text{sen}(\theta)}\text{cos}(t) \end{pmatrix} = \begin{pmatrix} \frac{\text{sen}(\theta)}{\text{cos}(\theta)}\text{cos}(t) & -\frac{\text{sen}(\theta)}{\text{cos}(\theta)}\text{sen}(t) \\ \text{sen}(\theta)\text{sen}(t) & \text{sen}(\theta)\text{cos}(t) \end{pmatrix}.$$

Devido as equações (3.28) e (3.29), obtemos

$$\begin{aligned} \Psi_{rr} &= (-\text{cos}(\theta)\theta_r^2 + \theta_{rr}\text{sen}(\theta)), 0, -\text{sen}(\theta)\theta_r^2 + \text{cos}(\theta)\theta_{rr}) \\ &= (-2\text{cos}(\theta)\text{sen}^2(\theta), 0, -\text{sen}^3(\theta) + \text{cos}^2(\theta)\text{sen}(\theta)), \end{aligned}$$

$$\Psi_{rt} = (0, 0, 0),$$

$$\Psi_{tt} = (0, 0, 0)$$

e

$$N = \frac{\Psi_x \wedge \Psi_y}{\|\Psi_x \wedge \Psi_y\|_{\mathbb{R}^3}} = \frac{\Psi_r \wedge \Psi_t}{\|\Psi_r \wedge \Psi_t\|_{\mathbb{R}^3}} = \frac{(-\text{cos}(\theta)\text{sen}(\theta), 0, \text{cos}^2(\theta))}{\text{cos}(\theta)} = (-\text{sen}(\theta), 0, \text{cos}(\theta)).$$

Portanto, usando as equações acima, a segunda forma euclidiana nas coordenadas x e

y é dada por

$$\begin{aligned}
g_{11} &= \langle \Psi_{xx}, N \rangle_{\mathbb{R}^3} = \langle (\Psi_r r_x + \Psi_t t_x)_x, N \rangle_{\mathbb{R}^3} \\
&= \langle (\Psi_{rr} r_x + \Psi_{rt} t_x) r_x + \Psi_r r_{xx} + (\Psi_{tt} t_x + \Psi_{tr} r_x) t_x + \Psi_t t_{xx}, N \rangle_{\mathbb{R}^3} \\
&= \langle \Psi_{rr}, N \rangle_{\mathbb{R}^3} r_x^2 \\
&= [2\cos(\theta)\text{sen}^3(\theta) - \text{sen}^3(\theta)\cos(\theta) + \cos^3(\theta)\text{sen}(\theta)] r_x^2 \\
&= \text{sen}(\theta)\cos(\theta) \frac{\text{sen}^2(\theta)}{\cos^2(\theta)} \cos^2(t) \\
&= \frac{\text{sen}^3(\theta)}{\cos(\theta)} \cos^2(t),
\end{aligned}$$

$$\begin{aligned}
g_{12} &= \langle \Psi_{xy}, N \rangle_{\mathbb{R}^3} = \langle \Psi_{rr}, N \rangle_{\mathbb{R}^3} r_x r_y \\
&= -\text{sen}(\theta)\cos(\theta) \frac{\text{sen}^2(\theta)}{\cos^2(\theta)} \text{sen}(t)\cos(t) \\
&= -\frac{\text{sen}^3(\theta)}{\cos(\theta)} \text{sen}(t)\cos(t)
\end{aligned}$$

e

$$\begin{aligned}
g_{22} &= \langle \Psi_{rr}, N \rangle_{\mathbb{R}^3} r_y^2 \\
&= \text{sen}(\theta)\cos(\theta) \frac{\text{sen}^2(\theta)}{\cos^2(\theta)} \text{sen}^2(t) \\
&= \frac{\text{sen}^3(\theta)}{\cos(\theta)} \text{sen}^2(t).
\end{aligned}$$

Assim, utilizando a equação (3.11), a segunda forma hiperbólica nas coordenadas x e y é dada por

$$\begin{aligned}
h_{11} &= \frac{g_{11}}{\text{sen}(\theta)} + \cos(\theta) = \frac{\text{sen}^2(\theta)}{\cos(\theta)} \cos^2(t) + \cos(\theta), \\
h_{12} &= \frac{g_{12}}{\text{sen}(\theta)} = -\frac{\text{sen}^2(\theta)}{\cos(\theta)} \cos(t)\text{sen}(t), \\
h_{22} &= \frac{g_{22}}{\text{sen}(\theta)} + \cos(\theta) = \frac{\text{sen}^2(\theta)}{\cos(\theta)} \text{sen}^2(t) + \cos(\theta).
\end{aligned}$$

Observando a equação (3.33), podemos concluir que:

$$\begin{cases} \operatorname{sen}^2(\theta) = \frac{1}{x^2 + y^2}, & \cos(\theta) = \sqrt{1 - \frac{1}{x^2 + y^2}}, & \cos(t)\operatorname{sen}(t) = -\frac{xy}{x^2 + y^2}, \\ \cos^2(t) = \frac{x^2}{x^2 + y^2}, & \operatorname{sen}^2(t) = \frac{y^2}{x^2 + y^2}. \end{cases} \quad (3.34)$$

Utilizando as equações (3.34), podemos escrever os coeficientes da segunda forma hiperbólica nas coordenadas x e y como

$$\begin{aligned} h_{11} &= \frac{1}{x^2 + y^2} \frac{1}{\sqrt{1 - \frac{1}{x^2 + y^2}}} \frac{x^2}{x^2 + y^2} + \sqrt{1 - \frac{1}{x^2 + y^2}} = \left[\left(\sqrt{1 - \frac{1}{x^2 + y^2}} \right) x \right]_x, \\ h_{12} &= -\frac{1}{x^2 + y^2} \frac{1}{\sqrt{1 - \frac{1}{x^2 + y^2}}} \frac{(-xy)}{x^2 + y^2} = \left[\left(\sqrt{1 - \frac{1}{x^2 + y^2}} \right) x \right]_y = \left[\left(\sqrt{1 - \frac{1}{x^2 + y^2}} \right) y \right]_x, \\ h_{22} &= \frac{1}{x^2 + y^2} \frac{1}{\sqrt{1 - \frac{1}{x^2 + y^2}}} \frac{y^2}{x^2 + y^2} + \sqrt{1 - \frac{1}{x^2 + y^2}} = \left[\left(\sqrt{1 - \frac{1}{x^2 + y^2}} \right) y \right]_y. \end{aligned}$$

Pelo Lema de Poincaré, sabemos que existe uma função $\phi : \mathbb{R}^2 \rightarrow \mathbb{R}$ tal que

$$\phi_{xx} = h_{11}, \quad \phi_{xy} = h_{12} \quad \text{e} \quad \phi_{yy} = h_{22},$$

como visto na demonstração do Lema 2.2.

Logo,

$$\phi_x = \left(\sqrt{1 - \frac{1}{x^2 + y^2}} \right) x, \quad \phi_y = \left(\sqrt{1 - \frac{1}{x^2 + y^2}} \right) y.$$

Devido ao Lema 2.3, temos

$$z = \left(1 + \left(\sqrt{1 - \frac{1}{x^2 + y^2}} \right) \right) (x + iy)$$

é um parametro conforme para a segunda forma hiperbólica.

Usando o teorema 3.1, a função $f : \mathbb{C} \rightarrow \mathbb{C}$ dada por

$$f(z) = \frac{\phi_{yy} - \phi_{xx} + 2i\phi_{xy}}{2 + \phi_{xx} + \phi_{yy}}$$

é uma função holomorfa.

Observando que

$$\begin{aligned}
 \phi_{yy} - \phi_{xx} + 2i\phi_{xy} &= h_{22} - h_{11} + 2ih_{12} \\
 &= \frac{\operatorname{sen}^2(\theta)}{\cos(\theta)} [\operatorname{sen}^2(t) - \cos^2(t) - 2i\operatorname{sen}(t)\cos(t)] \\
 &= -\frac{\operatorname{sen}^2(\theta)}{\cos(\theta)} [-\operatorname{sen}^2(t) + \cos^2(t) + 2i\operatorname{sen}(t)\cos(t)] \\
 &= -\frac{\operatorname{sen}^2(\theta)}{\cos(\theta)} \exp(2it)
 \end{aligned}$$

e

$$\begin{aligned}
 2 + \phi_{xx} + \phi_{yy} &= 2 + h_{11} + h_{22} \\
 &= 2 + 2\cos(\theta) + \frac{\operatorname{sen}^2(\theta)}{\cos(\theta)} [\operatorname{sen}^2(t) + \cos^2(t)] \\
 &= 2(1 + \cos(\theta)) + \frac{\operatorname{sen}^2(\theta)}{\cos(\theta)} = \frac{2[\cos(\theta) + \cos^2(\theta)] + \operatorname{sen}^2(\theta)}{\cos(\theta)} \\
 &= \frac{[1 + \cos(\theta)]^2}{\cos(\theta)},
 \end{aligned}$$

obtemos

$$f(z) = -\frac{-\operatorname{sen}^2(\theta)}{[1 + \cos(\theta)]^2} \exp(2it).$$

Como

$$z = [1 + \cos(\theta)] \zeta, \quad \zeta = x + iy$$

e

$$\operatorname{sen}^2(\theta) = \frac{1}{x^2 + y^2} = \frac{1}{|\zeta|^2}$$

logo,

$$|z|^2 = [1 + \cos(\theta)]^2 |\zeta|^2$$

substituindo em f , temos

$$f(z) = -\frac{1}{|\zeta|^2} \frac{|\zeta|^2}{|z|^2} [\exp(it)]^2 = -\frac{1}{|z|^2} [\exp(it)]^2.$$

Observando a equação (3.33), obtemos

$$\exp(it) = \cos(t) + i\operatorname{sen}(t) = -x\operatorname{sen}(\theta) + iy\operatorname{sen}(\theta) = -\operatorname{sen}(\theta)(x - iy) = -\operatorname{sen}(\theta)\bar{\zeta},$$

usando as equações (3.34) e a definição de ζ , temos

$$[\exp(it)]^2 = \operatorname{sen}^2(\theta)\bar{\zeta}^2 = \frac{1}{|\zeta|^2}\bar{\zeta}^2.$$

Substituindo a equação acima em f , obtemos

$$f(z) = -\frac{1}{|z|^2} \frac{\bar{\zeta}^2}{|\zeta|^2}.$$

Como

$$\frac{\bar{z}^2}{|z|^2} = \frac{[1 + \cos(\theta)]^2 \bar{\zeta}^2}{[1 + \cos(\theta)]^2 |\zeta|^2} = \frac{\bar{\zeta}^2}{|\zeta|^2}$$

a função f se reduz à

$$f(z) = -\frac{1}{|z|^2} \frac{\bar{z}^2}{|z|^2} = -\frac{1}{|z|^2} \frac{\bar{z}^2}{|z|^2} \frac{z^2}{z^2} = -\frac{1}{z^2}$$

e os dados de Weierstrass, para a imersão Ψ são $(-\frac{1}{z^2}, \frac{1}{2}dz)$, com o domínio dado por $|f(z)| < 1$.

Considere a equação

$$X_{zz} + \frac{1}{4z^2}X = 0. \quad (3.35)$$

Fazendo $X = z^n$, $n \in \mathbb{R}$, obtemos a equação característica

$$n(n-1) + \frac{1}{4} = 0,$$

cuja solução é $n = \frac{1}{2}$.

Assim, $X_1 = z^{1/2}$ é uma solução para a equação (3.35), usando variação de parâmetros, obtemos $X_2 = z^{1/2} \ln z$ uma solução L.I. com X_1 .

Tome $C = \frac{1}{\sqrt{2}}z^{1/2}$ e $D = \frac{1}{\sqrt{2}}z^{1/2} \ln z$, então

$$CD_z - DC_z = \frac{1}{\sqrt{2}}z^{1/2} \frac{1}{\sqrt{2}} \left(\frac{1}{2}z^{-1/2} \ln z + \frac{1}{z}z^{1/2} \right) - \frac{1}{\sqrt{2}}z^{1/2} \ln(z) \frac{1}{\sqrt{2}} \frac{1}{2}z^{-1/2} = \frac{1}{2}.$$

Pela proposição 3.1,

$$g = \frac{1}{\sqrt{2}} \begin{pmatrix} z^{1/2} & z^{-1/2} \\ z^{1/2} \ln(z) & z^{-1/2}(\ln(z) + 2) \end{pmatrix}$$

é uma imersão plana associada aos dados de Weierstrass $(-\frac{1}{z^2}, \frac{1}{2}dz)$ e a correspondente superfície plana é, a menos de isometria,

$$\begin{aligned}\Psi &= gg^* = \frac{1}{\sqrt{2}} \begin{pmatrix} z^{1/2} & z^{-1/2} \\ z^{1/2} \ln(z) & z^{-1/2}(\ln(z) + 2) \end{pmatrix} \frac{1}{\sqrt{2}} \begin{pmatrix} \overline{z^{1/2}} & \overline{z^{1/2} \ln(z)} \\ \overline{z^{-1/2}} & \overline{z^{-1/2}(\ln(z) + 2)} \end{pmatrix} \\ &= \frac{1}{2} \begin{pmatrix} |z| + |z|^{-1} & |z| \overline{\ln(z)} + |z|^{-1} (\overline{\ln(z)} + 2) \\ |z| \ln(z) + |z|^{-1} (\ln(z) + 2) & |z| |\ln(z)|^2 + |z|^{-1} |\ln(z) + 2|^2 \end{pmatrix}.\end{aligned}$$

Passando Ψ para o modelo do semi-espço superior, temos

$$\Psi = \left(\frac{|z| \overline{\ln(z)} + |z|^{-1} (\overline{\ln(z)} + 2)}{|z| + |z|^{-1}}, \frac{2}{|z| + |z|^{-1}} \right) = \left(\overline{\ln(z)} + \frac{2|z|^{-1}}{|z| + |z|^{-1}}, \frac{2}{|z| + |z|^{-1}} \right)$$

onde a primeira coordenada é a plana e a segunda é a altura.

Como $\ln(z) = \ln|z| + \arg(z)$ e usando coordenadas polares, $z = r \exp(i\theta)$, obtemos

$$\Psi = \left(\ln(r) + \frac{2}{r^2 + 1}, -\arg(z), \frac{2r}{r^2 + 1} \right).$$

A superfície acima tem singularidades, a reta $(1, -\arg(z), 1)$. Estas singularidades são obtidas quando $|f(z)| = 1$, ou seja, o círculo unitário. O $\arg(z)$ tem infinitamente muitos valores o qual diferem de $(-\pi, \pi)$ por um múltiplo de 2π . Uma visualização para a superfície é dada na figura abaixo:

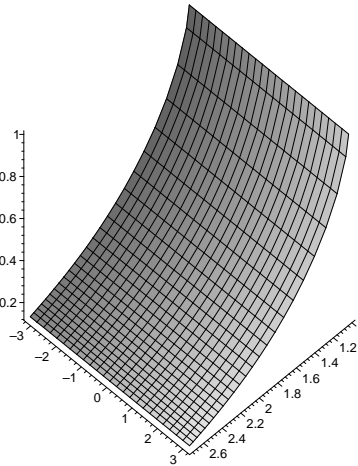


Figura 3.9: $\arg(z)$ variando de $-\pi$ a π

Usando a representação conforme, teorema 3.1, daremos uma nova prova do teorema de classificação das superfícies planas completas no \mathbb{H}^3 , a primeira foi obtida por Volkov-Vladimirova e Sasaki, ver [12].

Teorema 3.3. *Sejam M uma superfície simplesmente conexa e $\Psi : M \rightarrow \mathbb{H}^3$ uma imersão plana e completa então $\Psi(M)$ ou é uma horoesfera ou um conjunto de pontos à uma distância fixa de uma geodésica.*

Demonstração. Pelo teorema de uniformização de superfícies simplesmente conexas, ver [2], e usando a estrutura determinada pela segunda forma fundamental, M é conforme ou ao disco unitário ou ao plano complexo.

Se (f, ω) são os dados de Weierstrass associado a imersão, então do teorema 3.1 parte i.d), temos

$$ds^2 = f\omega^2 + \bar{f}\bar{\omega}^2 + (1 + |f|^2)|\omega|^2 \leq |f||\omega|^2 + |\bar{f}||\bar{\omega}|^2 + (1 + |f|^2)|\omega|^2$$

e ainda de i.a), obtemos

$$ds^2 \leq 4|\omega|^2 \quad (3.36)$$

e como $|\omega| \neq 0$, M não é conforme ao disco unitário, caso contrário existiria um caminho divergente γ em M tal que

$$\int_{\gamma} 2|\omega| < \infty,$$

ver Lema 8.5 p. 67 em [12], e devido a equação (3.36) teríamos

$$\int_{\gamma} ds < \infty.$$

Contradizendo que γ é um caminho divergente. Assim M deve ser conforme ao plano complexo.

Como f é limitada e M conforme ao plano complexo, usando o teorema de Liouville, f é constante. E ainda da equação (3.36) obtemos

$$\frac{ds^2}{|\omega|^2} = \frac{f\omega^2 + \bar{f}\bar{\omega}^2(1 + |f|^2)|\omega|^2}{|\omega|^2} \leq 4$$

assim, podemos escrever a representação de Weierstrass da forma $(c, d\xi)$ onde c é uma constante e $\xi \in \mathbb{C}$. Usando o exemplo 3.1 itens **i)** e **ii)**, podemos concluir que se $c = 0$ então M é uma horoesfera e se $c \neq 0$ M é um conjunto de pontos à uma distância fixa de uma geodésica. ■

Referências Bibliográficas

- [1] Ahlfors, Lars Valerian. Complex analysis: An introduction to the theory of analytic functions of one complex variable. 3. ed. New York: Mcgraw-Hill, 1981.
- [2] Bers, Lipman. Riemann surfaces: Lectures. New York: New York Univ Press, 1957.
- [3] Bryant, Robert L. Surfaces of mean curvature one in hyperbolic space. Astérisque 154-155 p. 321-347. Soc. Math. de France, 1987.
- [4] Carmo, Manfredo Perdigão do. Differential geometry of curves and surfaces. New Jersey: Printice-Hall Inc., 1976.
- [5] Carmo, Manfredo Perdigão do. Geometria riemanniana. 2. ed. Rio de Janeiro: Impa, 1988.
- [6] Faber, Richard L. Foundations of euclidean and non-euclidean geometry. New York: M Dekker, 1983.
- [7] Gálvez J.A., Martínez A., Milán F., Flat surfaces in the hyperbolic 3-space. Math. Ann. 316 p. 419-435. No. 3, 2000.
- [8] Jost, Jürgen. Compact riemann surfaces. Berlin: Springer, 1996.
- [9] Kokubu M., Rossman W., Saji K., Umehara M., Yamada K. Singularities of flat fronts in hyperbolic 3-space. preprint. 2004.
- [10] Kokubu M., Umehara M., Yamada K., Flat fronts in hiperbolic 3-space. Pacf. Journ. of Math. 216 p. 149-175 No. 1, 2004.
- [11] Lima, Elon Lages. Grupo fundamental e espaços de recobrimento. 2.ed. Rio de Janeiro: Impa 1998.
- [12] Osserman, Robert. Survey of minimal surfaces (a). New York: Dover Publ, 1986.

- [13] Roitman, Pedro. Flat surfaces in hyperbolic 3-space as normal surfaces to a congruence of geodesics. preprint. 2003.
- [14] Sasaki S., On complete flat surfaces in hyperbolic 3-space. Kodai-Math.-Sem.-Rep. 25 p. 449-457, 1973.
- [15] Spivak, Michael. Comprehensive introduction to differential geometry. Vol. 4. Boston: Publish or Perish Inc., 1975.
- [16] Srinivara Rao, K.N. The Rotation and Lorentz groups and their representations for physicists. John Wiley & Sons, 1988.
- [17] Umerara, M., Yamada, K. Complete surfaces of constant mean curvature-1 in the hyperbolic 3-space. Ann. Math. 137 p. 611-638, 1993.
- [18] Volkov J. A., Vladimirova S. M., Isometric immersions of the Euclidean plane in *Lobačevskiĭspace*. Mat. Zametki, 10 p. 327-332, 1971(in Russian) ou Math. Notes 10, p.655-661, 1971(in English).

Livros Grátis

(<http://www.livrosgratis.com.br>)

Milhares de Livros para Download:

[Baixar livros de Administração](#)

[Baixar livros de Agronomia](#)

[Baixar livros de Arquitetura](#)

[Baixar livros de Artes](#)

[Baixar livros de Astronomia](#)

[Baixar livros de Biologia Geral](#)

[Baixar livros de Ciência da Computação](#)

[Baixar livros de Ciência da Informação](#)

[Baixar livros de Ciência Política](#)

[Baixar livros de Ciências da Saúde](#)

[Baixar livros de Comunicação](#)

[Baixar livros do Conselho Nacional de Educação - CNE](#)

[Baixar livros de Defesa civil](#)

[Baixar livros de Direito](#)

[Baixar livros de Direitos humanos](#)

[Baixar livros de Economia](#)

[Baixar livros de Economia Doméstica](#)

[Baixar livros de Educação](#)

[Baixar livros de Educação - Trânsito](#)

[Baixar livros de Educação Física](#)

[Baixar livros de Engenharia Aeroespacial](#)

[Baixar livros de Farmácia](#)

[Baixar livros de Filosofia](#)

[Baixar livros de Física](#)

[Baixar livros de Geociências](#)

[Baixar livros de Geografia](#)

[Baixar livros de História](#)

[Baixar livros de Línguas](#)

[Baixar livros de Literatura](#)
[Baixar livros de Literatura de Cordel](#)
[Baixar livros de Literatura Infantil](#)
[Baixar livros de Matemática](#)
[Baixar livros de Medicina](#)
[Baixar livros de Medicina Veterinária](#)
[Baixar livros de Meio Ambiente](#)
[Baixar livros de Meteorologia](#)
[Baixar Monografias e TCC](#)
[Baixar livros Multidisciplinar](#)
[Baixar livros de Música](#)
[Baixar livros de Psicologia](#)
[Baixar livros de Química](#)
[Baixar livros de Saúde Coletiva](#)
[Baixar livros de Serviço Social](#)
[Baixar livros de Sociologia](#)
[Baixar livros de Teologia](#)
[Baixar livros de Trabalho](#)
[Baixar livros de Turismo](#)